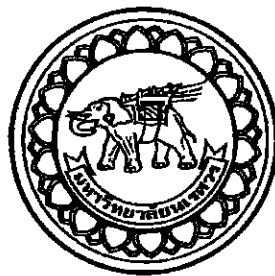


อภินันทนาการ



สำนักหอสมุด



ระบบป้องกันการโจรกรรมรถจักรยานยนต์
MOTORCYCLE ANTI-ROBBERY SYSTEM

นางสาวจงกอก แก้วมาดา รหัส 56362614
นางสาวเจนจิรา พุ่มพวง รหัส 56362638

สำนักหอสมุด มหาวิทยาลัยแม่ฟ้า
วันลงนามบันทึก... 24 ก.ค. 2561
ลงชื่อที่ด้านใน..... 1722008X ✓
ลงชื่อเจรจาหน้าต่อ... 45
๑๑๔๕
๕๕๙

ปริญญานิพนธ์นี้เป็นส่วนหนึ่งของการศึกษาหลักสูตรปริญญาวิศวกรรมศาสตรบัณฑิต
สาขาวิชาวิศวกรรมไฟฟ้า ภาควิชาวิศวกรรมไฟฟ้าและคอมพิวเตอร์
คณะวิศวกรรมศาสตร์ มหาวิทยาลัยแม่ฟ้า
ปีการศึกษา 2559



ใบรับรองปริญญาบัณฑิต

ชื่อหัวข้อโครงการ	ระบบป้องกันการโจรกรรมรถจักรยานยนต์
ผู้ดำเนินโครงการ	นางสาวจงกล แก้วมาลา รหัส 56362614
	นางสาวเจนจิรา พุ่มพวง รหัส 56362638
ที่ปรึกษาโครงการ	ผู้ช่วยศาสตราจารย์ ดร. ศุภวรรณ พลพิทักษ์ชัย
สาขาวิชา	วิศวกรรมไฟฟ้า
ภาควิชา	วิศวกรรมไฟฟ้าและคอมพิวเตอร์
ปีการศึกษา	2559

คณะกรรมการสาขาวิชา มหาวิทยาลัยนเรศวร อนุมัติให้ปริญญานิพนธ์ฉบับนี้เป็นส่วนหนึ่ง
ของการศึกษาตามหลักสูตรวิศวกรรมศาสตรบัณฑิต สาขาวิชาวิศวกรรมไฟฟ้า

ที่ปรึกษาโครงการ

(ผู้ช่วยศาสตราจารย์ ดร. ศุภวรรณ พลพิทักษ์ชัย)

กรรมการ

(ผู้ช่วยศาสตราจารย์ ดร. มุกิตा สงษ์จันทร์)

กรรมการ

(ผู้ช่วยศาสตราจารย์ ดร. นิพัทธ์ จันทร์มนิหาร)

ชื่อหัวข้อโครงการ	ระบบป้องกันการโจรกรรมรถจักรยานยนต์	
ผู้ดำเนินโครงการ	นางสาวงกล แก้วมาลา	รหัส 56362614
	นางสาวเจนจิรา พุ่มพวง	รหัส 56362638
ที่ปรึกษาโครงการ	ผู้ช่วยศาสตราจารย์ ดร. ศุภารณ พลพิทักษ์ชัย	
สาขาวิชา	วิศวกรรมไฟฟ้า	
ภาควิชา	วิศวกรรมไฟฟ้าและคอมพิวเตอร์	
ปีการศึกษา	2559	

บทคัดย่อ

ปริญญาในพนธนบันนี้นำเสนอระบบป้องกันการโจรกรรมรถจักรยานยนต์ โดยจะสร้างกล่องขนาดกว้าง 11 เซนติเมตร ยาว 19 เซนติเมตร และสูง 8 เซนติเมตร แล้วนำไปติดตั้งไว้ได้เบาง่าย รถจักรยานยนต์ ซึ่งอุปกรณ์ที่ติดตั้งจะมีการตรวจจับการเคลื่อนไหวของรถจักรยานยนต์ผ่านวงจรรับสัญญาณ GPS/GPRS ที่ติดตั้งอยู่กับรถจักรยานยนต์จะมีเสียงดังขึ้น พร้อมกับมีการแจ้งเตือนผ่านวงจรสื่อสารไมโคร GPRS SIM900 ซึ่งมีการแจ้งเตือนโดยการส่งข้อความว่า "Motorcycle is stolen!!!!" พร้อมกับแสดงพิกัดละติจูดและลองจิจูดตำแหน่งของรถจักรยานยนต์อยู่ ณ ขณะนั้นเข้าไปยังโทรศัพท์มือถือของเจ้าของรถจักรยานยนต์ ซึ่งจากการทดลองพบว่า หากรถจักรยานยนต์มีการเคลื่อนไหวอย่างต่อเนื่องในเวลา 15 วินาที จะมีการแจ้งเตือนด้วยเสียงแตร พร้อมส่งข้อความแจ้งเตือนระบุพิกัดละติจูดและลองจิจูดแสดงตำแหน่งของรถจักรยานยนต์ หลังจากที่มีการแจ้งเตือนในครั้งแรก หากรถจักรยานยนต์ยังมีการเคลื่อนไหวอยู่อีกจะมีการแจ้งเตือนจากเสียงแตรและมีการส่งข้อความพร้อมระบุตำแหน่งรถจักรยานยนต์ในทุกๆ 2 นาที

Project title	Motorcycle Anti-Robbery System	
Name	Ms. Jongkon Kaewmala	ID. 56362614
	Ms. Janejira Poompaung	ID. 56362638
Project advisor	Asst. Prof. Supawan Ponpitakchai, Ph.D.	
Major	Electrical Engineering	
Department	Electrical and Computer Engineering	
Academic year	2016	

Abstract

This thesis presents Motorcycle Anti-Robbery System . The system is contained a box which has 11 cm width 19 cm length and 8 cm height that can be fitted under the motorcycle seat. Our system can detect the movement of a motorcycle through the GY-521 motion detection sensor. Microcontroller is used to evaluate the movement. If the movement is presented continuously and long enough, the system will enable a horns which is very loud. Moreover, the notification via the GSM / GPRS SIM900 communication circuit will be sent to a motorcycle owner, which is a message “Motorcycle is stolen!!!!” and coordinates (latitude and longitude) of the motorcycle. The experiments showed that if the motorcycle is continuously moving for 15 seconds, there will be a horn warning and ready to send a warning message indicating the latitude and longitude coordinates showing the position of the motorcycle. If the motorcycle is still moving after the first notification, there will be a horn alert and a message will be sent with the motorcycle location every two minutes.

กิตติกรรมประกาศ

ผู้ดำเนินโครงการขอขอบคุณ ผู้ช่วยศาสตราจารย์ ดร. ศุภวรรณ พลพิทักษ์ชัย อาจารย์ที่ปรึกษาโครงการ ซึ่งเอาใจใส่ในรายละเอียดทุกขั้นตอนของการดำเนินโครงการ โดยให้คำปรึกษาและคำแนะนำในการแก้ไขปัญหาต่างๆ อี่างต่อเนื่องจนกระทั่งโครงการสำเร็จลุล่วง รวมถึงแนะนำหลักการเขียนปริญญานิพนธ์และตรวจทานแก้ไขอย่างละเอียดจนได้ปริญญานิพนธ์เป็นรูปเล่มสมบูรณ์

ขอขอบคุณกรรมการสอบโครงการ ผู้ช่วยศาสตราจารย์ ดร. มุชิตา สงวนันทร์และผู้ช่วยศาสตราจารย์ ดร. นิพัทธ์ จันทร์มินทร์ ซึ่งกรุณามอบให้คำแนะนำที่เป็นประโยชน์ในการดำเนินโครงการ

ขอขอบคุณภาควิชาวิศวกรรมไฟฟ้าที่อนุเคราะห์ให้ยืมสถานที่ในการทำโครงการนี้ จนกระทั่งการทดสอบในโรงงานสำเร็จ

นอกจากนี้ยังขอขอบคุณรัฐบาลไทยที่จัดตั้งกองทุนเงินให้กู้ยืมเพื่อการศึกษา (กยศ.) ซึ่งสนับสนุนค้านทุนทรัพย์ให้แก่นางสาวเจนจิรา พุ่มพวง ในระหว่างที่ศึกษาระดับชั้นมัธยมปีที่ 1 ถึงปีที่ 4

ในท้ายที่สุดนี้ เหนือสิ่งอื่นใด ผู้ดำเนินโครงการขอรบกวนขอประคุณบิชาและมารดา ซึ่งท่านได้ให้การสนับสนุนในทุกด้านเกี่ยวกับการศึกษาของผู้ดำเนินโครงการ รวมทั้งมอบความรักความเมตตา และคงเป็นกำลังใจให้จนประสบความสำเร็จในวันนี้

นางสาวจงกล แก้วมาลา

นางสาวเจนจิรา พุ่มพวง

สารบัญ

หน้า

ใบรับรองปริญานพิพธ์	ก
บทคัดย่อภาษาไทย	ข
บทคัดย่อภาษาอังกฤษ	ค
กิตติกรรมประกาศ.....	ง
สารบัญ	จ
สารบัญตาราง	ฉ
สารบัญรูป	ฉ

บทที่ 1 บทนำ	1
--------------------	---

1.1 ที่มาและความสำคัญของ โครงการ	1
1.2 วัตถุประสงค์ของ โครงการ	1
1.3 ขอบเขตของ โครงการ	2
1.4 ขั้นตอนและแผนการดำเนินงาน	2
1.5 ประโยชน์ที่คาดว่าจะได้รับจาก โครงการ	3
1.6 งบประมาณ	3

บทที่ 2 ทฤษฎีและหลักการที่เกี่ยวข้อง	4
--	---

2.1 แpregnaroaคูโน่ รุ่น Mega 2560 R3	4
2.2 ไมโครคอนโทรลเลอร์เอวีอาร์	5
2.2.1 คุณสมบัติที่สำคัญ	6
2.2.2 ขาพอร์ตอินพุตและเอาต์พุต	7
2.3 ตัวรับสัญญาณเสียง	8
2.4 มอเตอร์ GSM/GPRS SIM900	9
2.5 แpregnaroa มอเตอร์จีพีเอส รุ่น GY-NEO6MV2	10
2.6 แpregnaroa รีเลย์	11
2.7 แpregnaroa คูโน่ รุ่น UNO R3	12

สารบัญ (ต่อ)

	หน้า
2.8.1 ตัวแปร	14
2.8.2 คอนไฟเลอร์	15
2.9 เอทีคอมนานด์	16
บทที่ 3 การออกแบบระบบป้องกันการ โจรกรรมรถจักรยานยนต์.....	18
3.1 การออกแบบขั้นตอนการทำงานของระบบป้องกันการ โจรกรรมรถจักรยานยนต์.....	18
3.2 ส่วนประกอบและหลักการทำงานของระบบป้องกันการ โจรกรรมรถจักรยานยนต์ ...	20
3.3 การซื้อต่อของระบบการป้องกันการ โจรกรรมรถจักรยานยนต์	22
3.3.1 วงจรระบบบันธุ์การเคลื่อนไหวของรถ	22
3.3.2 วงจรสื่อสาร โดยการส่งข้อความ	23
3.3.3 วงจรบันธุ์พิกัดของรถจักรยานยนต์	25
3.3.4 แผงวงจรรีเลย์	25
3.3.5 แมร	26
3.3.6 แผงวงจรอาคูโน่ รุ่น UNO R3	26
3.3.7 แผงวงจรอาคูโน่ รุ่น Mega 2560	27
บทที่ 4 ผลการทดสอบการทำงานของการป้องกันการ โจรกรรมรถจักรยานยนต์.....	31
4.1 การทดสอบการทำงานของตัวบันธุ์การเคลื่อนไหว	31
4.1.1 ขณะรถจักรยานยนต์อยู่ในบ่อญี่ปุ่น	31
4.1.2 ขณะรถจักรยานยนต์เคลื่อนที่ไม่ต่อเนื่อง	33
4.1.3 ขณะรถจักรยานยนต์เคลื่อนที่ต่อเนื่อง	33
4.2 การทำงานของระบบป้องกันการ โจรกรรมรถจักรยานยนต์	35
บทที่ 5 สรุปผลและข้อเสนอแนะ	38
5.1 สรุปผลการดำเนินโครงการ	38
5.2 ปัญหาและแนวทางแก้ไข	38
5.3 แนวทางการพัฒนาต่อไป	39

สารบัญ (ต่อ)

	หน้า
เอกสารข้างต้น.....	40
ภาคผนวก ก รหัสตัวฉบับของโปรแกรมรถจักรยานยนต์.....	41
ภาคผนวก ข รายละเอียดข้อมูลของ อาคูโน่ รุ่น Mega 2560	48
ภาคผนวก ค รายละเอียดข้อมูลของตัวรับสัญญาณเคลื่อนไหว GY-521	52
ภาคผนวก ง รายละเอียดข้อมูลของ โมดูล GSM/GPRS SIM900.....	55
ภาคผนวก จ รายละเอียดข้อมูลของ โมดูล GPS Module GY-NEO6MV2.....	59
ภาคผนวก ฉ รายละเอียดข้อมูลของ อาคูโน่ รุ่น UNO R3	66
ภาคผนวก ช รายละเอียดข้อมูลของ ขาพอร์ตไมโครคอนโทรลเลอร์ ATMega2560.....	71
ประวัติผู้ดำเนินโครงการ.....	77

สารบัญตาราง

ตารางที่	หน้า
2.1 รูปแบบการใช้งานเอกสารอนามนด์	17



สารบัญ

หัวที่	หน้า
2.1 ลักษณะของวงจรอาคูโน่ รุ่น Mega 2560 R3.....	5
2.2 รายละเอียดและคุณสมบัติภายในในโครคอน โทรลเลอร์ ATMega2560	6
2.3 ลักษณะของชิปในโครคอน โทรลเลอร์เอวีอาร์หนาเยด ATMega2560.....	7
2.4 โครงสร้างตัวรับสัญญาณเคลื่อนไหว รุ่น GY-521	8
2.5 โมดูล GSM/GPRS SIM900.....	9
2.6 แพงวงจร模อduลจีพีเอส รุ่น GY-NEO6MV2	10
2.7 สัญลักษณ์ของส่วนประกอบภายในรีเลย์.....	11
2.8 แพงวงจรอาคูโน่ รุ่น UNO R3	12
2.9 โครงสร้างในโครคอน โทรลเลอร์ รุ่น ATMega328P-PU	14
3.1 ขั้นตอนการทำงานของระบบป้องกันการโจรกรรมรถจักรยานยนต์.....	18
3.2 ส่วนประกอบของระบบป้องกันการโจรกรรมรถจักรยานยนต์	20
3.3 ขั้นตอนการทำงานของระบบป้องกันการโจรกรรมรถจักรยานยนต์.....	21
3.4 แผนการเชื่อมต่อใช้งานของตัวรับสัญญาณเคลื่อนไหวของรถ	23
3.5 แผนการเชื่อมต่อใช้งานของแพงวงจร模อduล GSM/GPRS SIM900	24
3.6 แผนการเชื่อมต่อใช้งานของวงจรรับสัญญาณของรถจักรยานยนต์	25
3.7 แผนการเชื่อมต่อใช้งานของแพงวงจรรีเลย์	25
3.8 แผนการเชื่อมต่อใช้งานของแทร 3.9 แผนการเชื่อมต่อใช้งานของแพงวงจรอาคูโน่ รุ่น UNO R3	26 27
3.10 แผนการเชื่อมต่อใช้งานของแพงวงจรอาคูโน่ รุ่น Mega 2560	28
3.11 แผนการเชื่อมต่อของวงจรป้องกันการโจรกรรมรถจักรยานยนต์	29
3.12 การติดตั้งของอุปกรณ์ของระบบป้องกันการโจรกรรมรถจักรยานยนต์	30
4.1 การทำงานของตัวรับสัญญาณเคลื่อนไหวทั้งแกน x, y และ z	31
4.2 การทำงานของตัวรับสัญญาณเคลื่อนไหวเมื่อร่วมเวกเตอร์เป็นแกนเดียว	32
4.3 รถจักรยานยนต์จะมุ่งที่จุดที่ต้องยุบ	32
4.4 การเคลื่อนไหวของรถจักรยานยนต์ไม่ต่อเนื่อง	33
4.5 การจูงรถจักรยานยนต์ในทางเรียบและทางขุ่นระ	33

สารบัญรูป (ต่อ)

รูปที่	หน้า
4.6 การขับขี่รถจักรยานยนต์ทางเรียบและทางบุրุษะ	34
4.7 การเคลื่อนไหวของรถจักรยานยนต์ต่อเนื่อง	34
4.8 การส่งข้อความแจ้งเตือนว่ารถจักรยานยนต์ถูกใจกรรม	36
4.9 การคืนหาตำแหน่งของรถจักรยานยนต์ด้วยพิกัดละติจูดและลองจิจูด	36
4.10 ตำแหน่งของรถจักรยานยนต์บนแผนที่ภูมิศาสตร์	37



บทที่ 1

บทนำ

1.1 ที่มาและความสำคัญของโครงการ

ในปัจจุบันมีอัตราการใช้งานรถจักรยานยนต์ที่มากขึ้น เนื่องจากราคาไม่แพง สามารถซื้อใช้ได้ทุกครัวเรือน ความง่ายในการใช้งานมีทั้งเกียร์ธรรมดา และอัตโนมัติ และสะดวกสบายในการใช้งานในเมืองใหญ่ในเมือง การหาที่จอดรถ ความต้องการในการใช้รถจักรยานยนต์มากขึ้นเท่าไหร่ ความต้องการในการจราจรที่มีมากขึ้นด้วย ยิ่งคนป่วยสาระพูดว่ามีการจราจรรถจักรยานยนต์ ตามสถานที่ต่างๆ หรือแม้แต่หน้าบ้านตัวเอง ซึ่งไม่ว่าจะล้อรถด้วยกุญแจ หรือแม้แต่ล่ามโซ่ แต่มีจ้าวชีฟก็ยัง จราจรรถไปได้ สร้างความเดือดร้อนให้แก่เจ้าของรถเป็นอย่างมาก

การพัฒนาห่วงงานราชการเข่นเจ้าหน้าที่สำรวจในการติดตามรถที่หาย ไม่ค่อยได้ผล เท่าไหร่ ก็เนื่องจากเป็นคดีที่เกิดขึ้นบ่อยและเกิดขึ้นในจำนวนมาก ทำให้จำนวนเจ้าหน้าที่ในการติดตามรถให้กับประชาชนไม่เพียงพอ แม้บางครั้งมีภาพกล้องวงจรปิดแต่ทางเจ้าหน้าที่สำรวจก็ยังตามจับไม่ค่อยได้ เพราะความที่มีจ้าวชีฟชำนาญในการขับขี่ และสามารถ遁หนีไปได้ ซึ่งในท้ายที่สุดเจ้าของรถก็จะเสียรถไปอย่างถาวร

ดังนั้น โครงการนี้ได้เลือกเห็นปัญหาดังกล่าวจึงได้สร้างระบบป้องกันการจราจรรถจักรยานยนต์ โดยใช้ตัวรับสัญญาณเคลื่อนไหวในการตรวจจับการขับของรถจักรยานยนต์ หากมีการขับรถอย่างต่อเนื่องถึงเวลาที่กำหนด ระบบจะส่งสัญญาณแจ้งเตือนไปที่โทรศัพท์มือถือ แจ้งให้เจ้าของรถทราบว่ารถกำลังจะถูกจราจรรถ นอกจากนี้ยังมีการติดตั้งระบบกำหนดตำแหน่งแบบโลก (Global positioning system, GPS) หรือระบบจีพีเอส เพื่อติดตามรถจักรยานยนต์เมื่อถูกขโมยไปแล้ว ทำให้เจ้าของรถสามารถติดตามตำแหน่งของรถ ทำให้มีการติดตามได้ง่ายขึ้น

1.2 วัตถุประสงค์ของโครงการ

สร้างระบบป้องกันการจราจรรถจักรยานยนต์เพื่อป้องกันการจราจรรถจักรยานยนต์ซึ่งมีตัวรับสัญญาณเคลื่อนไหวในการตรวจจับการเคลื่อนไหวของรถจักรยานยนต์ โดยใช้แพลตฟอร์มในโครงการ โทรคอนโทรลเลอร์ในการควบคุมและส่งสัญญาณการแจ้งเตือนไปยังโทรศัพท์เพื่อส่งข้อความให้เจ้าของรถจักรยานยนต์ทราบพร้อมส่งสัญญาณแจ้งเตือนไปยังแทรรอดจักรยานยนต์ให้แจ้งเตือนและมีการติดตั้งระบบจีพีเอส ในการติดตามรถจักรยานยนต์

1.3 ขอบเขตของโครงการ

1) สร้างอุปกรณ์ตรวจจับการเคลื่อนไหวที่คาดว่าอาจจะเกิดการ โจกรัมรถจักรยานยนต์ โดยใช้ใน โทรศัพท์มือถือร่วมกับระบบ GPS

2) สามารถตรวจจับการໂຄງການຮັບຈຳກ່ຽວຂ້ອງຍືນດໍາໄດ້ໂດຍໃຊ້ການຍັບຂອງຮັບຈຳກ່ຽວຂ້ອງຍືນດໍາໄດ້
ໂດຍໃຊ້ຕ້ວັນຮູ້ກ່ຽວຂ້ອງເຄລື່ອນໄຫວໃນການຮັບຈຳ

3) สามารถรับรู้การ โครงการรถจักรยานยนต์ได้จากสัญญาณการแจ้งเตือนจากแทรเวลและข้อความที่ส่งเข้าโทรศัพท์ของเจ้าของรถจักรยานยนต์

4) สามารถตรวจสอบสถานที่อยู่ของรถจักรยานยนต์เวลาถูกการ โจกรัฐนได้จากสัญญาณระบบบีบีอีส ที่ติดคึ้งที่ตัวรถจักรยานยนต์

1.4 ขั้นตอนและแผนการดำเนินงาน

1.5 ประโยชน์ที่คาดว่าจะได้รับจากโครงการ

ระบบป้องกันการโจรกรรมรถจักรยานยนต์ที่ได้ทำขึ้นในโครงการนี้ จะช่วยป้องกันการสูญหายของรถจักรยานยนต์ และป้องกันมิจฉาชีพไม่ให้โจรกรรมรถจักรยานยนต์ไปได้ง่าย ซึ่งทำให้ลดปัญหาและความเดือดร้อนให้กับเจ้าของรถลง ได้และช่วยเพิ่มความปลอดภัยให้กับรถจักรยานยนต์ไม่ให้ถูกโจรกรรม

1.6 งบประมาณ

1) ไมโครคอนโทรลเลอร์อาดูโน่รุ่น Mega 2560 R3	600 บาท
2) ตัวรับสัญญาณเคลื่อนไหว	250 บาท
3) โมดูล SIM 900	1,600 บาท
4) แพรรถจักรยานยนต์	120 บาท
5) แผงวงจรรีเลย์	60 บาท
6) モดูลจีพีเอส รุ่น GY-NEO6MV2	570 บาท
7) ค่าอุปกรณ์ทั่วไปสำหรับติดตั้ง	200 บาท
8) ค่าถ่ายเอกสารและเขียนโปรแกรมปริญญา尼พนธ์รวมเป็นเงินทั้งสิ้น (สี่พันสี่ร้อยบาทถ้วน)	1,000 บาท
หมายเหตุ: ตัวเลขลี่ยกรายการ	<u>4,400 บาท</u>

บทที่ 2

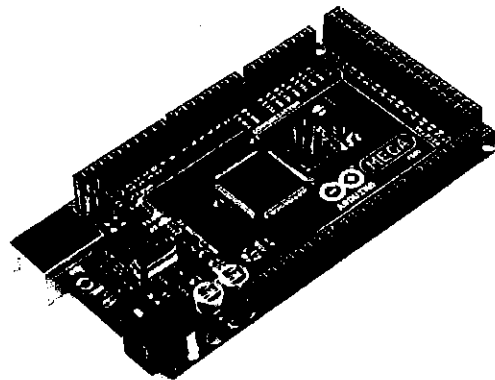
ทฤษฎีและหลักการที่เกี่ยวข้อง

โครงการนี้ หมายถึง การกระทำที่นำเอาทรัพย์สินของผู้อื่นโดยเจตนา เพื่อยืดทรัพย์สินนั้นมาเป็นของตน ซึ่งเจ้าของทรัพย์สินไม่ได้อันญาตหรืออิニຍอม คำนี้สามารถเรียกแทนอาชญากรรมบางประเภทที่เกี่ยวข้องกับทรัพย์สินอาทิ การลักทรัพย์ (โจรกรรม) การลักทรัพย์ในเกหสถาน (ย่องเบา/ยกเด้า) การลักทรัพย์ในร้านค้า การยักยอก การซิงทรัพย์ (ปล้น) การฉกชิงทรัพย์ (ปล้นสะคม) และการน้อโกง ในบางเขตอำนาจศาล "โครงการ" (Theft) ซึ่งมีความหมายเหมือนกับ "การลักทรัพย์" (Larceny) โดยในการจัดทำโครงการ "ระบบการป้องกันการโจรกรรมรถจักรยานยนต์" ได้ใช้เทคโนโลยีในโทรศัพท์เคลื่อนที่ในการประมวลผลและสั่งงาน ซึ่งใช้ภาษาซี (C) และใช้คำสั่งเซ็ตคอมมานด์ในการควบคุม ซึ่งมีหลักการที่เกี่ยวข้องดังนี้

2.1 แพงวงจรอ่าคูโน่ รุ่น Mega 2560

แพงวงจรอ่าคูโน่ เป็นแพงวงจรอุปกรณ์โทรศัพท์เคลื่อนที่ที่มีการพัฒนาแบบ Open Source คือ มีการเปิดเผยข้อมูลทั้งด้าน hardware และซอฟต์แวร์ ตัวแพงวงจรอ่าคูโน่ถูกออกแบบมาให้ใช้งานได้ง่าย ดังนี้ จึงเหมาะสมสำหรับผู้เริ่มต้นศึกษา ทั้งนี้ผู้ใช้งานยังสามารถตัดแปลงเพิ่มเติม พัฒนาต่อยอดทั้งตัวแพงวงจรอ หรือโปรแกรมต่อได้อีกด้วย

ความสำคัญของแพงวงจรอ่าคูโน่ในการต่ออุปกรณ์เสริมต่างๆ คือผู้ใช้งานสามารถต่อวงจร อิเล็กทรอนิกส์จากภายนอกแล้วเชื่อมต่อเข้ามาที่ขา I/O ของแพงวงจรอ หรือเพื่อความสะดวกสามารถเลือกต่อ กับแพงวงจรอาร์ด (Arduino Shield) ประเภทต่างๆ เช่น Arduino XBee Shield, Arduino Music Shield, Arduino Relay Shield, Arduino Wireless Shield, Arduino GPRS Shield เป็นต้น มาก เชื่อมต่อกับแพงวงจรอ่าคูโน่ แล้วเขียนโปรแกรมพัฒนาต่อได้เลย สำหรับโครงการนี้ใช้แพงวงจรอ่าคูโน่ รุ่น Mega 2560 R3 แสดงดังรูปที่ 2.1



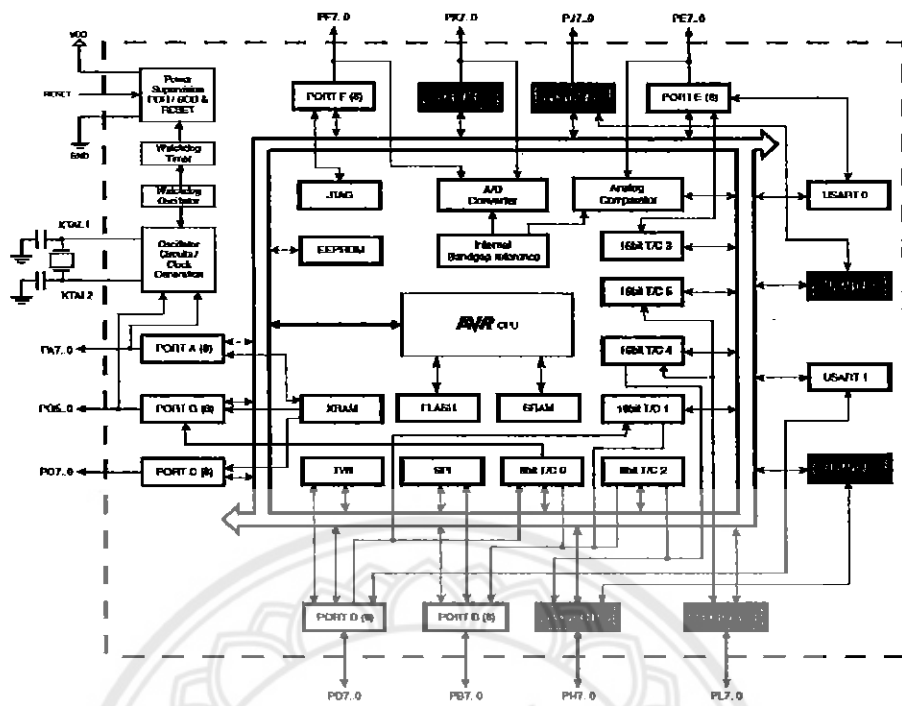
รูปที่ 2.1 ลักษณะของวงจรarduinoรุ่น Mega 2560 [1]

ข้อมูลจำเพาะ

ชิปไอซีใน icrocontroller	ATMega2560
ใช้แรงดันไฟฟ้า	5 โวลต์
รองรับการจ่ายแรงดันไฟฟ้า (ที่แนะนำ)	7 – 12 โวลต์
รองรับการจ่ายแรงดันไฟฟ้า (ที่จำกัด)	6 – 20 โวลต์
พอร์ต Digital I/O	54 พอร์ต
กระแสไฟฟาร่วมที่จ่ายได้ในทุกพอร์ต	40 มิลลิแอมป์
กระแสไปจ่ายได้ในพอร์ต 3.3 V	50 มิลลิแอมป์
พื้นที่โปรแกรมภายใน	256 กิโลไบต์
พื้นที่ RAM	8 กิโลไบต์
พื้นที่หน่วยความจำถาวร (EEPROM)	4 กิโลไบต์
ความถี่คริสตัล	16 เมกะ赫ertz

2.2 ไมโครคอนโทรลเลอร์เอวีอาร์

ไมโครคอนโทรลเลอร์เอวีอาร์ เป็นไอซีในไมโครคอนโทรลเลอร์ของบริษัท ATMEL AVR จัดเป็นไมโครคอนโทรลเลอร์ตระกูลใหม่จาก ATMEL มีสถาปัตยกรรมภายในแบบอาร์ไออีอีซี (Reduced Instruction Set Computer, RISC) คือใช้สัญญาณนาฬิกาเพียง 1 ถูกในการปฏิบัติงานใน 1 คำสั่ง เป็นในไมโครคอนโทรลเลอร์ที่มีประสิทธิภาพและมีความสามารถสูง แบ่งออกเป็นหลายอนุกรม สำหรับในไมโครคอนโทรลเลอร์เอวีอาร์ที่ใช้นี้จะเป็นหมายเลข ATmega2560 โดยที่รายละเอียดและคุณสมบัติภายในไมโครคอนโทรลเลอร์ ATmega2560 แสดงดังรูปที่ 2.2



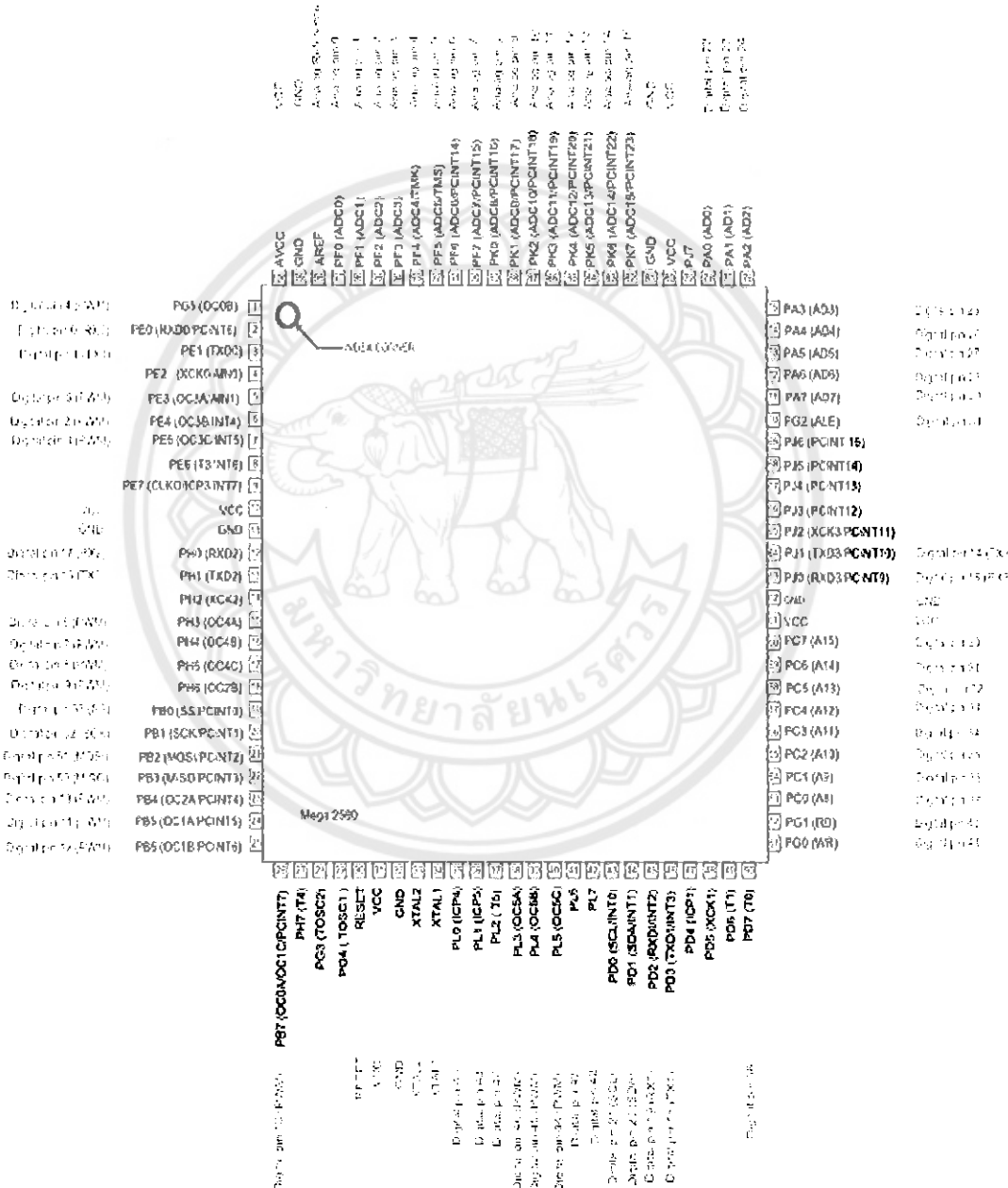
รูปที่ 2.2 รายละเอียดและคุณสมบัติภายในในโกรคอนไทรอลเลอร์ ATMega2560 [2]

2.2.1 คุณสมบัติที่สำคัญของอิเวอร์

- สถาปัตยกรรมภาษาใหม่เป็นแบบ Advanced RISC
- มีคำสั่งควบคุมการทำงานมากกว่า 100 คำสั่ง โดยมีความเร็วในการประมวลผล 1 คำสั่ง ต่อ 1 สัญญาณนาฬิกา (1 ล้านคำสั่งต่อวินาที ต่อ 1 เมกะไบต์)
- มีริชสเตอร์ใช้งานทั้งไป 8 บิต จำนวน 32 ตัว
- ความเร็วในการทำงาน 1 คำสั่งต่อวินาที ต่อ 1 เมกะไบต์ และมากถึง 16 คำสั่งต่อวินาที เมื่อใช้ความถี่ที่ 16 เมกะเฮิรตซ์ (ความสามารถในการใช้งานความถี่สัญญาณนาฬิกาขึ้นอยู่กับหมายเลขอิเวอร์ที่เลือกใช้งาน)
- หน่วยความจำ ROM แบบ Flash (มีให้มาพร้อมกันหน่วยความจำ) ขนาด 128 กิโลไบต์ (เขียนและลบได้ 10,000 ครั้ง)
- หน่วยความจำข้อมูลแบบ EEPROM (มีให้มาพร้อมกันหน่วยความจำ) ขนาด 512 กิโลไบต์ (เขียนและลบได้ 100,000 ครั้ง)

2.2.2 ขาพอร์ตอินพุตและเอาท์พุต (I/O Ports)

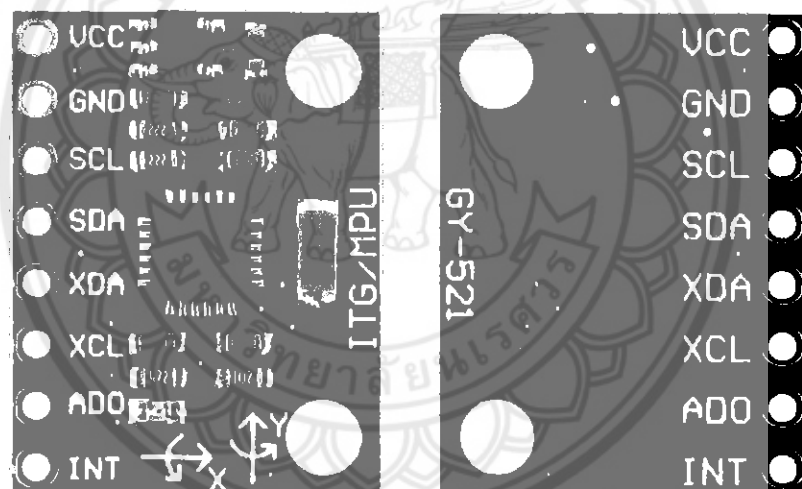
ขาพอร์ตอินพุตเอาท์พุตของในicrocontroller ATmega2560 มีจำนวน 100 ขา โดยแบ่งเป็นขาพอร์ตที่ใช้งานทั่วไปจำนวน 86 ขา เป็นขาอินพุตและเอาท์พุตแบบดิจิทัล จำนวน 54 ช่อง (5V TTL LOGIC) และขาพอร์ตของแอนะล็อกจำนวน 16 ช่อง (เป็น A TO D ขนาด 10 บิต 16 ช่อง) 4 ช่อง เป็น UART (เป็น Hardware serial port) แบบ 5 โวลด์ TTL LOGIC แสดงดังรูปที่ 2.3



รูปที่ 2.3 ลักษณะของชิปในicrocontroller เอวีอาร์ทามายเลข ATmega2560 [2]

2.3 ตัวรับรู้การเคลื่อนไหว

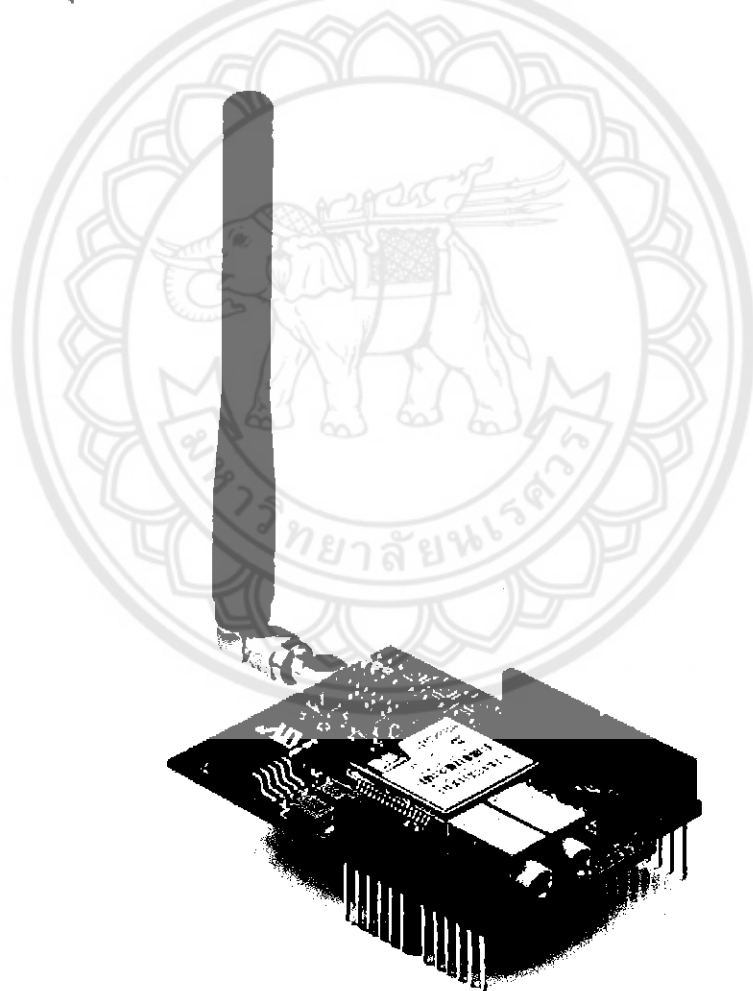
ตัวรับรู้คือ อุปกรณ์ตรวจจับสัญญาณหรือปริมาณทางพิสิตร์ต่างๆ เช่น อุณหภูมิ เสียงและ การสั่นผัส เป็นต้น ปัจจุบันมีการนำระบบมาใช้บนโทรศัพท์มือถือ ในหลายรูปแบบ เช่น ระบบ ตรวจจับความเคลื่อนไหว (G-sensor) ระบบหมุนภาพอัตโนมัติ (Accelerometer sensor) ตัวรับรู้ ปรับมุมของหน้าจอ (Orientation sensor) ตัวรับรู้ตรวจวัดระดับเสียง (Sound sensor) ตรวจวัดความ เข้มสนามแม่เหล็ก (Magnetic sensor) และตรวจจับแสงสว่างสำหรับการปรับแสงบนหน้าจอ อัตโนมัติ (Light sensor) และระบบเปิดหรือปิดหน้าจออัตโนมัติ (Proximity sensor) เป็นต้น ซึ่งเรา นักจะพบกับสมบัติที่กล่าวมาข้างต้นได้กับโทรศัพท์มือถือแบบสมาร์ทโฟน (Smartphone) ทั้งใน ระบบปฏิบัติแบบไอโอเอส (iOS) และแบบแอนดรอยด์ (Android) ตัวรับรู้ที่เลือกใช้คือ ตัวรับรู้การ เคลื่อนไหวรุ่น GY-521 ดังรูปที่ 2.4 ซึ่งใช้ไฟเลี้ยง 3 - 5 โวลต์และเป็นมอคูลตัวรับรู้ที่มีไว้สำหรับ ตรวจจับถูกน้ำและการเคลื่อนไหวใน 3 แกน คือแกน x แกน y และแกน z



รูปที่ 2.4 โครงสร้างตัวรับรู้การเคลื่อนไหวรุ่น GY-521 [3]

2.4 โมดูล GSM/GPRS SIM900

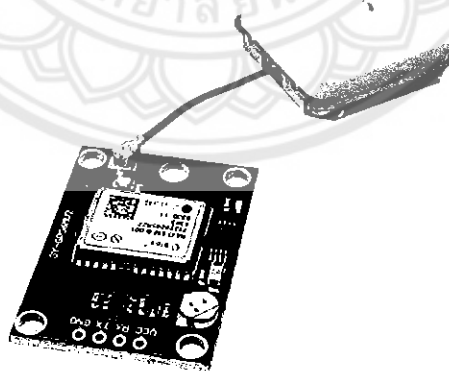
โมดูล GSM/GPRS SIM900 สามารถใช้งานร่วมกับ Arduino รุ่น UNO และรุ่น Mega 2560 ซึ่ง SIM900 เป็นโมดูลสื่อสารระบบ GSM/GPRS ขนาดเล็ก และรองรับระบบสื่อสาร GSM ความถี่ 850/900/1800/1900 เมกะ赫تز โดยจะมีการสั่งงานผ่านทางพอร์ตสื่อสารอนุกรม RS232 ด้วยชุดคำสั่งเอทีคอมمانด์ สามารถนำไปประยุกต์ใช้งานได้มากหลายรูปแบบ โมดูลตัวนี้สามารถใช้สัญญาณ GSM ได้แบบเดียวกับการใช้โทรศัพท์ในการรับข้อมูลและส่งข้อมูลจากที่ต่างๆ ได้แม้จะไม่มีสัญญาณอินเทอร์เน็ตความสามารถในการสื่อสารผ่านเครือข่ายมือถือ GSM เช่น ทำให้สามารถรับและส่งข้อความได้ หรือทำให้สามารถรับสายเรียกเข้าและโทรออกได้ โดยทำการควบคุมโมดูลตัวนี้โดยใช้ระบบชุดคำสั่งเอทีคอมمانด์ ที่ใช้ได้แก่ GSM 07.07, 07.05 และดังรูปที่ 2.5



รูปที่ 2.5 โมดูล GSM/GPRS SIM900 [4]

2.5 แพงวงจรมอคุลจีพีเอส รุ่น GY-NEO6MV2

ระบบนำร่อง เป็นระบบระบุตำแหน่งบนพื้นโลก โดยใช้เวลาเป็นตัวกำหนดหลักการที่สำคัญ คือ ดาวเทียมจะปล่อยค่าเวลาออกมาเป็นช่วงๆ อุปกรณ์จะรับสัญญาณเข้ามาแล้วคำนวณระยะห่างระหว่างอุปกรณ์กับดาวเทียม โดยเปรียบเทียบเวลาปัจจุบันกับเวลาที่รับมาไว้แลกต่างกัน เท่าไร จากนั้นจึงคำนวณเป็นระยะทาง โดยการเปรียบเทียบกับค่าเวลาในการเดินทางของแสง (สัญญาณจะเดินทางได้เร็วเท่าแสง) เมื่อเวลาเที่ยม 4 ดวงอยู่ในตำแหน่งเดิมเสมอ ทำให้สามารถตีวิ่ง เพื่อหาตำแหน่งจากระยะทาง ได้ และจึงนำจุดที่ซ้อนกันมาระบุเป็นตำแหน่งของเครื่องรับ ระบบนำร่องที่คนส่วนใหญ่รู้จักกัน คือ ระบบจีพีเอสเกิดขึ้นตั้งแต่ประมาณปี ก.ศ. 1978 เริ่มแรกใช้ในการทหาร แต่ต่อมาได้เกิดเหตุการณ์เครื่องบินพลัดหลง ทำให้เริ่มมีการประยุกต์ใช้ระบบจีพีเอส ทั่วไปในปี ก.ศ. 1983 ระบบจีพีเอสเดิมที่มีการใช้งานกันบนเครื่องบิน เพื่อป้องกันไม่ให้เครื่องบินเกิดเหตุการณ์ออกนอกเส้นทางอีก แต่เมื่อเทคโนโลยีเริ่มมีการพัฒนามากขึ้นเรื่อยๆ ตัวรับสัญญาณระบบจีพีเอสมีขนาดเล็กลงเรื่อยๆ จึงมีการพัฒนาเป็นอุปกรณ์นำทางในรถยนต์ปัจจุบันโดยมีวิธีการใช้งานที่ง่ายเพียงแค่กดซอฟแวร์เลือกที่สถานที่ต้องการ ระบบจีพีเอสเดิม รุ่น GY-NEO6MV2 เป็นมอคุลล่าสุดที่ทำหน้าที่รับสัญญาณระบบจีพีเอส ตำแหน่งละติจูดและลองจิจูดจากดาวเทียมได้เป็นอย่างดี โดยติดต่อสั่งข้อมูลกับแพงวงจรอาดูโน่ผ่านทางช่อง Serial RX/TX ดังรูปที่ 2.6



รูปที่ 2.6 แพงวงจรมอคุลจีพีเอส รุ่น GY-NEO6MV2 [5]

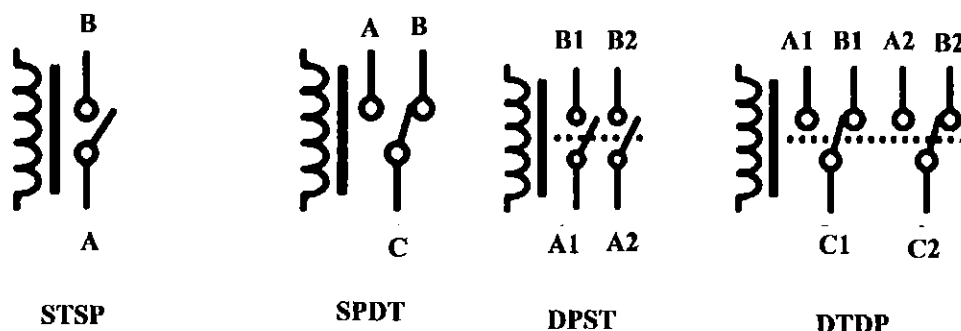
2.6 แผงวงจรรีเลย์

รีเลย์ เป็นอุปกรณ์ที่ทำหน้าที่ตัดต่อวงจรแบบเดียวกับสวิตช์ โดยความคุณการทำงานด้วยไฟฟ้า รีเลย์มีหลายประเภทตั้งแต่รีเลย์ขนาดเล็กที่ใช้ในงานอิเล็กทรอนิกส์ทั่วไปจนถึงรีเลย์ขนาดใหญ่ที่ใช้ในงานไฟฟ้าแรงสูงโดยมีรูปร่างหน้าตาแตกต่างกันออกไปแต่มีหลักการทำงานที่คล้ายคลึงกัน

ภายในรีเลย์ประกอบไปด้วยขดลวดและหน้าสัมผัส

- หน้าสัมผัสปกติปิด (Normally Close) เป็นหน้าสัมผัสที่ในสภาวะปกติหน้าสัมผัสนี้จะต่อเข้ากับขา COM (Common) และจะลอยหรือไม่สัมผัสกันเมื่อมีกระแสไฟฟ้าไหลผ่านขดลวด
- หน้าสัมผัสเปิด (Normally Open) เป็นหน้าสัมผัสที่ในสภาวะปกติจะลอยอยู่และไม่ติดต่อ กับขา COM (Common) แต่จะเข้ามต่อ กันเมื่อมีกระแสไฟฟ้าไหลผ่านขดลวด
- ขา COM (Common) เป็นขาที่ถูกใช้งานร่วมกันระหว่างหน้าสัมผัสปกติปิดและหน้าสัมผัสปกติเปิด ขึ้นอยู่กับว่าขณะนี้มีกระแสไฟฟ้าไหลผ่านขดลวดหรือไม่ หน้าสัมผัสในรีเลย์ 1 ตัวอาจมีมากกว่า 1 ชุดก็ได้

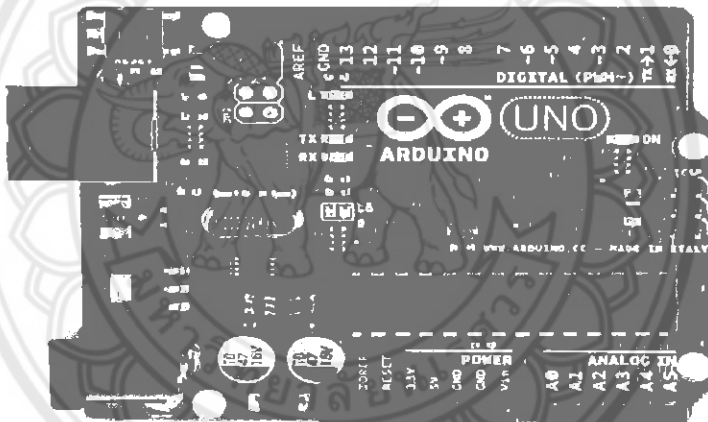
สวิตช์จะถูกแยกประเภทตามจำนวนขั้วแม่เหล็กและจำนวน Throw ซึ่งจำนวนขั้วแม่เหล็กได้แก่ SP (Single Pole) DP (Double Pole) และ 3P (Triple Pole) จะบอกถึงจำนวนวงจรที่ทำการเปิดและปิด หรือจำนวนของขา COM นั่นเอง และจำนวน Throw (ST, DT) จะบอกถึงจำนวนของตัวเลือกของขั้วแม่เหล็ก ตัวอย่างเช่น SPST- Single Pole Single Throw สวิตช์จะสามารถเลือกได้เพียงอย่างเดียว โดยจะเป็นหน้าสัมผัสแบบปกติเปิด (Normally Open, NO) หรือหน้าสัมผัสแบบปกติปิด (Normally Close, NC) แต่ถ้าเป็นแบบ SPDT (Single Pole Double Throw) สวิตช์จะมีหนึ่งขั้วเป็นปกติเปิด (NO) และอีกหนึ่งขั้วเป็นปกติปิดเสมอ (NC) ดังรูปที่ 2.7



รูปที่ 2.7 สัญลักษณ์ของส่วนประกอบภายในรีเลย์ [7]

2.7 ແຜງວາງຈຣອາດູໂນ໌ ຮູ່ນ UNO R3

ไมโครคอนโทรลเลอร์ที่ใช้ในโครงงานนี้เป็นแพงวงจรอาดูโน่รุ่น UNO R3 จัดอยู่ในตระกูลเซเวอร์ ขนาด 28 ขา ซึ่งใช้ไมโครคอนโทรลเลอร์หมายเลข ATMega328 ดังแสดงในรูปที่ 12 โดยไมโครคอนโทรลเลอร์ เป็นแพลตฟอร์ม (Platform) ของอินพุตและเอาต์พุต ขั้นพื้นฐานที่พอเพียงกับการใช้งานและการเรียนรู้ โดยตัวแพงวงจรนี้ชุดคำสั่งที่ใช้ควบคุมพอร์ตอินพุตและเอาต์พุตรวมถึงพอร์ตคิจทัล พอร์ตแอนะล็อกพีดับเบิลยูเอ็มและพอร์ตอนุกรมซึ่งแพงวงจรอาดูโน่ทำให้คอมพิวเตอร์สามารถรับสัญญาณจากภายนอกและส่งสัญญาณไปควบคุมอุปกรณ์ภายนอกได้อย่างมีประสิทธิภาพมากกว่าการใช้เครื่องคอมพิวเตอร์ ตัวแพงวงจรออกแบบจากไมโครคอมพิวเตอร์เดียวและมีโปรแกรมพัฒนาสำหรับให้แพงวงจรอาดูโน่ สามารถรับสัญญาณจากสวิตช์หรือตัวรับสัญญาณอุปกรณ์อื่น ๆ ดังรูปที่ 2.8

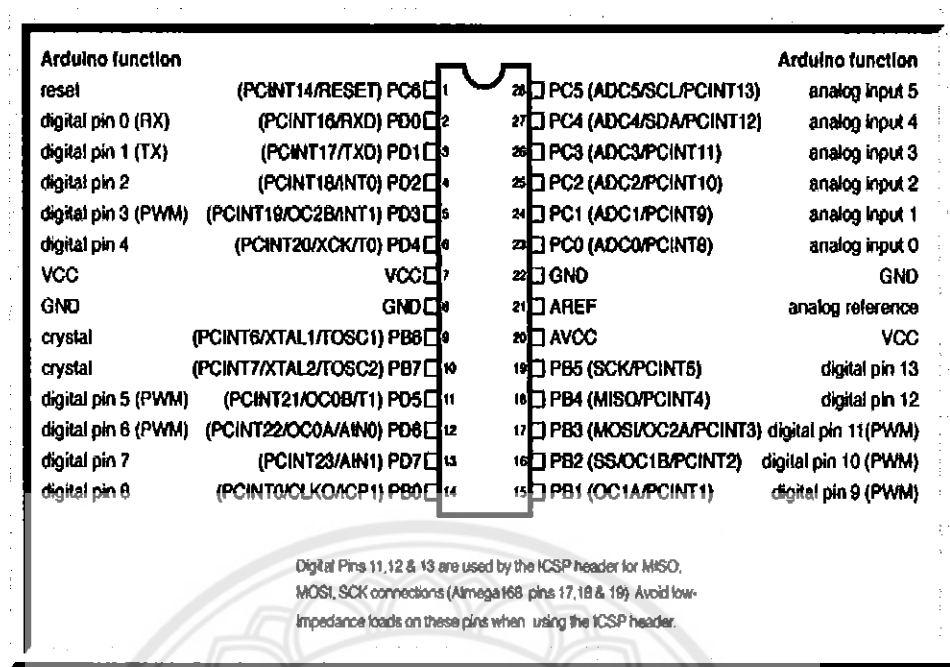


รูปที่ 2.8 แผงวงจรอาคูโน่ รุ่น UNO R3 [8]

แผนกวารณาคุณโน้ต มีจุดเด่นในเรื่องของความง่ายต่อการเรียนรู้และใช้งานเนื่องจากได้มีการออกแบบคำสั่งต่างๆ ขึ้นมาสนับสนุนการใช้งานด้วยรูปแบบที่ง่ายไม่ซับซ้อนและมีข้อดีกว่าแผนกวาร์เตอร์จูปตัวอื่นคือใช้งานง่ายนิ่งโปรแกรมพัฒนาที่ไม่ซับซ้อนนิ่งโปรแกรมพัฒนาอาคูโน่ ใช้งานง่ายสำหรับมือใหม่และมีความสามารถครอบคลุมตามความต้องการของนักพัฒนามืออาชีพซึ่งแผนกวารณาคุณโน้ตเป็นในโครงการโตรลเลอร์ที่ใช้ตัวประมวลผลตระกูลเอวิอาร์ขนาดเล็กเหมาะสมสำหรับนำไปใช้ในการศึกษาเรียนรู้ระบบในโครงการโตรลเลอร์และสามารถนำไปประยุกต์ใช้งานเกี่ยวกับการควบคุมอุปกรณ์อินพุตและเอาท์พุตได้มากนanya ภาษาในการเขียนโปรแกรมลงบนอาคูโน่ ใช้ภาษา C++ ซึ่งเป็นรูปแบบของโปรแกรมภาษาซีประยุกต์แบบหนึ่งมีโครงสร้างของตัวภาษาโดยรวมใกล้เคียงกันกับภาษาซีนาครูน เปียงแต่ได้มีการปรับปรุงรูปแบบในการเขียนโปรแกรมบางส่วนที่ผิดเพี้ยนไปจากนาครูนเล็กน้อยเพื่อทำให้ลดความยุ่งยากในการเขียน

โปรแกรมและให้ผู้เขียนโปรแกรมสามารถเขียนโปรแกรมได้ง่ายและสะดวกมากขึ้นกว่าการเขียนภาษาซีตามแบบมาตรฐาน โดยตรง ตัว例ของรากฐานที่ใช้ในโครงงานนี้จะกล่าวถึงสถาปัตยกรรมของอิเล็กทรอนิกส์ขนาด 8 บิต คิงส์ปีที่ 2.9 โดยเป็นตัวประมวลผลแบบอาร์โไอเอสซี และมีหน่วยความจำแบบ Harvard ซึ่งแยกหน่วยความจำโปรแกรมและหน่วยความจำข้อมูลออกจากกัน โดยใช้หน่วยความจำแบบแฟลช (Flash) เป็นหน่วยความจำโปรแกรมและใช้หน่วยความจำแบบ SRAM สำหรับเป็นหน่วยความจำข้อมูล นอกจากนี้ยังมีหน่วยความจำแบบอีพีروم (EEPROM) ซึ่งสามารถเก็บข้อมูลได้โดยไม่จำเป็นต้องมีไฟเลี้ยงซึ่งมีคุณสมบัติเด่นดังนี้

- 1) หน่วยความจำโปรแกรมแบบ FLASH ขนาด 32 กิโลไบต์
- 2) หน่วยความจำข้อมูลแบบ SRAM ขนาด 2 กิโลไบต์
- 3) หน่วยความจำข้อมูลแบบ EEPROM ขนาด 1 กิโลไบต์
- 4) สานับสนุนการเชื่อมต่อแบบบัส I2C
- 5) พอร์ตอินพุตและเอาต์พุตจำนวน 23 บิต
- 6) วงจรแปลงอะล็อกเป็นดิจิทัลขนาด 10 บิตในตัวจำนวน 8 ช่อง
- 7) ทำงานได้ตั้งแต่เย็นแรงคัน 1.8 - 5.5 โวลต์
- 8) ความถี่ใช้งานสูงสุด 20 เมกะเฮิรตซ์
- 9) วงจรสื่อสารอนุกรม
- 10) ตัวจับเวลาและตัวนับขนาด 8 บิต จำนวน 2 ตัว และ U3586 ขนาด 16 บิต จำนวน 1 ตัว
- 11) สานับสนุนของสัญญาณสำหรับสร้างสัญญาณพื้นที่แบบเบลยูอิ่ม (PWM) จำนวน 6 ช่อง



รูปที่ 2.9 โครงสร้างในicrocontroller รุ่น ATMega328P-PU

ที่มา: <http://www.taradplaza.com/product/5385788>

2.8 ภาษาซี

ภาษาซีได้รับการพัฒนาจากภาษาบีซีพีเอล (BCPL) และภาษาบี (B) ซึ่งต่างก็เป็นภาษาโปรแกรมที่รู้จักข้อมูลเพียงรูปแบบเดียว คือ เป็นข้อมูลเวิร์ด (Word) ยังไม่สามารถจัดการกับข้อมูลตัวอักษรได้ ซึ่งภาษาซีเป็นโปรแกรมระดับสูงที่ใช้สำหรับเขียนโปรแกรมประยุกต์ต่างๆ เช่นเดียวกันกับภาษาปาส卡ล ภาษาเบสิก และภาษาฟอร์แทรน เป็นต้น นอกจากนี้ภาษาซียังใช้สำหรับเขียนโปรแกรมระบบ และโปรแกรมสำหรับควบคุมคอมพิวเตอร์ รวมถึงภาษาซีที่ใช้สำหรับเขียนโปรแกรมหรือโปรแกรมเมอร์ต่างก็มีความต้องการภาษาโปรแกรมคอมพิวเตอร์ที่โครงสร้างสามารถจัดการกับข้อมูล (Data) และตัวแปร (Variable) ในรูปแบบต่างๆ ได้เพิ่มมากขึ้น ทั้งข้อมูลที่เป็นแสดงเป็นเลขจำนวนเต็ม (Integer) ตัวเลขทศนิยม (Floating-point) หรือตัวอักษร (Character) ซึ่งมีการเพิ่มเติมความสามารถใหม่ๆ ลงในภาษาบีและกำหนดชื่อใหม่เป็นภาษาซี [8]

2.8.1 ตัวแปร (Variables)

ตัวแปร คือ ชื่อที่ผู้เขียนโปรแกรมตั้งขึ้นเพื่อใช้เป็นข้อมูลหรือใช้เก็บข้อมูล ดังนั้นเราต้องกำหนดตัวแปรให้สอดคล้องกับชนิดข้อมูลเสมอ เพื่อให้ระบบเครื่องเนื้อที่ในหน่วยความจำให้สอดคล้องกับตัวแปรชนิดนั้น ๆ ซึ่งเนื้อหาที่กล่าวถึงเกี่ยวกับตัวแปรประกอบด้วย หลักเกณฑ์การตั้งชื่อตัวแปร การประกาศตัวแปร และการกำหนดค่าเริ่มต้นให้กับตัวแปร

ภาษาซีได้รับการออกแบบมาให้ทำงานกับคอมพิวเตอร์ และเขียนโปรแกรมด้วยคำสั่งที่สามารถทำความเข้าใจได้ไม่ยาก จึงจัดโปรแกรมภาษาซีว่าเป็นภาษาคอมพิวเตอร์ระดับกลาง เมื่อนำมาทำงานกับในโคร์ป์เรชันเซอร์ที่ทำงานด้วยภาษาเครื่อง จึงจำเป็นอย่างยิ่งที่จะต้องมีตัวแปลงภาษาหรือคอมไพล์เตอร์ (Compiler) เพื่อแปลภาษาซีนั้นเป็นภาษาเครื่อง

2.8.2 คอมไпал์เตอร์

การเขียนโปรแกรมด้วยภาษาซี เพื่อนำไปใช้ควบคุมการทำงานในโคร์ค่อนโตรลเลอร์นั้น ในทางปฏิบัติจริงๆ ไม่ใช่นื้อโค้ดของโปรแกรมภาษาซีที่ถูกนำลงไปบรรจุในหน่วยความจำ โปรแกรมของในโคร์ค่อนโตรลเลอร์ ตัวรหัสข้อมูลที่ใช้งานจริงนั้นได้มาจาก การแปลงภาษาซีเป็นรหัสภาษาเครื่อง (Machine code) ด้วยซอฟต์แวร์ที่เรียกว่า คอมไпал์เตอร์

การพัฒนาระบบงานของในโคร์ค่อนโตรลเลอร์ด้วยโปรแกรมภาษาซี มีขั้นตอนดังนี้

- เขียนโปรแกรมภาษาซี ด้วยเทกซ์เอดิเตอร์ (Text Editor) หรือพื้นที่สำหรับเขียนโปรแกรมในกรณีที่ซอฟต์แวร์นั้นจัดมาเป็นชุดในแบบไอเดีย (IDE)
- คอมไпал์เตอร์ คือ การแปลงรหัสต้นฉบับภาษาซีให้เป็นภาษาแอสเซมบลี (Assembly) ของในโคร์ค่อนโตรลเลอร์ตัวนั้นๆ
- แอสเซมเบลย์ (Assembler) จากภาษาแอสเซมบลีเป็นภาษาเครื่องในรูปของเลขฐานสิบหก
- ดาวน์โหลดรหัสต้นฉบับ (Source code) ที่ได้จากการแอสเซมเบลอร์ลงสู่หน่วยความจำ โปรแกรมของในโคร์ค่อนโตรลเลอร์
- ทดสอบและตรวจสอบการทำงาน หากไม่สมบูรณ์ให้กลับไปแก้ไขตั้งแต่ขั้นตอนที่ 1 อย่างไรก็ตาม ในขั้นตอนที่ 2 และ 3 ผู้ใช้งานจะไม่เห็นถึงกระบวนการทำงาน เนื่องจากซอฟต์แวร์แปลงภาษาหรือคอมไпал์เตอร์ได้รวมการทำงานใน 2 ขั้นตอนนี้ไว้ด้วยกัน

2.9 เอทีคอมมานด์

เอทีคอมมานด์ (AT Command) เป็นชุดคำสั่งมาตรฐานที่สามารถใช้ติดต่อสื่อสารกับโทรศัพท์มือถือ โดยส่วนมากนักใช้ในระบบการสื่อสารต่างๆ เช่น โนเด็มหรืออุปกรณ์ DTE (Data Terminal Equipment) ในชุดคำสั่งพื้นฐานนั้นบริษัท Hayes ได้เป็นผู้ออกแบบคิดค้นเพื่อใช้โนเด็มของตน และต่อนามาริย์ทั่วโลกมือถือที่ห้องต่างๆ ได้พัฒนาใช้กับผลิตภัณฑ์ของตนเป็นเหตุให้คำสั่งพิเศษบางคำสั่งไม่เหมือนกันในผลิตภัณฑ์ต่างยี่ห้อกัน และความสามารถของโทรศัพท์บางรุ่นจะไม่รองรับคำสั่งดังกล่าวเนื่องจากไม่มีวงจรส่วนของโนเด็มบรรจุอยู่ภายใน

มอดูล GSM/GPRS รุ่น SIM900 ถูกออกแบบให้ทำหน้าที่เหมือนอุปกรณ์แปลงสัญญาณข้อมูลคอมพิวเตอร์ให้เป็นสัญญาณแอนะล็อกแล้วส่งออกไปทางสายโทรศัพท์และรับสัญญาณจากสายสั่งมาเปลี่ยนเป็นสัญญาณดิจิทัลให้เครื่องคอมพิวเตอร์ โดยจะใช้การติดต่อสั่งงาน และสื่อสารกันมอดูลผ่านทางพอร์ตสื่อสาร RS232 รองรับอัตรา率ข้อมูลและสั่งข้อมูล (Baudrate) เริ่มตั้งแต่ 1200-115200 บิตต่อวินาที โดยใช้ชุดคำสั่งแบบเอทีคอมมานด์ ซึ่งจะมีรูปแบบการใช้งานเหมือนกับโนเด็ม มาตรฐานทั่วๆ ไป เพียงแต่จะมีการเพิ่มเติม Option และคำสั่งพิเศษอื่นๆ เพิ่มเติมขึ้นมาอีกเพื่อให้เหมาะสมและสะดวกล็อกกับ ความสามารถในการทำงานของมอดูล ได้อย่างครบถ้วน สำหรับรายละเอียดการใช้คำสั่งเอทีคอมมานด์ ที่จะใช้สำหรับติดต่อสั่งงานของมอดูล SIM900 ไม่ว่าจะเป็นรูปแบบคำสั่ง และหน้าที่การทำงานของแต่ละคำสั่ง ซึ่งในที่นี้จะขอแนะนำถึงวิธีการและรูปแบบการใช้งานคำสั่งแบบข้อๆ แบบพอสั้นๆ เพื่อเป็นแนวทางให้ผู้เรียนศึกษาได้ใช้เป็นแนวทางและประกอบความเข้าใจในการศึกษาการทำ้งานของคำสั่งต่างๆ ต่อไป โดยรูปแบบของคำสั่งต่างๆ ที่เป็นเอทีคอมมานด์ นี้ จะเริ่มต้นคำสั่งด้วยรหัส ASCII ของตัวอักษร 2 ตัว คือ “A” และ “T” ซึ่งจะใช้ตัวอักษรแบบพิมพ์เล็กหรือพิมพ์ใหญ่ก็ได้มีความหมายเหมือนกัน จากนั้นก็จะตามด้วยรหัสคำสั่ง และทางเลือกต่างๆ ของคำสั่ง(ถ้ามี) โดยทุกๆ คำสั่งจะต้องจบด้วยรหัสเริ่มต้น เช่น คำสั่ง รีเซ็ต จะใช้รูปแบบคำสั่งเป็น “ATZ” หรือ “atz” ก็สามารถใช้งานได้ถูกต้องเหมือนกัน โดยรูปแบบคำสั่งทั้งหมดจะแบ่งออกเป็น 4 แบบด้วยกัน ดังแสดงในตารางที่ 2.1

ตารางที่ 2.1 รูปแบบการใช้งานເອທິກອນນານຕໍ່ [9]

การใช้งาน	รูปแบบคำสั่ง	รายละเอียด
ทดสอบคำสั่ง	AT+<x>=?	รูปแบบการใช้คำสั่งแบบนี้ จะใช้สำหรับสั่งอ่านค่ารูปแบบและพารามิเตอร์ต่างๆของคำสั่ง โดยถ้าคำสั่งนั้นมีอยู่จริง มอคูลจะตอบรับด้วยการพิมพ์ค่าของพารามิเตอร์ต่างๆของคำสั่งที่มีอยู่ ทั้งหมดให้ทราบ
อ่านค่าพารามิเตอร์	AT+<x>?	รูปแบบการใช้คำสั่งแบบนี้ จะใช้สำหรับสั่งอ่านค่าพารามิเตอร์ที่กำหนดไว้แล้วของคำสั่งนั้นๆ โดยมอคูลจะตอบรับด้วยการพิมพ์ค่าพารามิเตอร์ปัจจุบันที่กำหนดไว้แล้วให้ทราบ
กำหนดค่าการทำงาน	AT+<x>=<...>	รูปแบบการใช้คำสั่งแบบนี้ จะใช้สำหรับสั่งเปลี่ยนหรือกำหนดค่าพารามิเตอร์ให้กับคำสั่ง เช่น การกำหนดค่าอัตรารับและส่งข้อมูล
สั่งให้ทำงาน	AT+<x>	รูปแบบการใช้คำสั่งแบบนี้ จะใช้สำหรับสั่งงานให้มอคูลปฏิบัติ ตามคำสั่งที่ต้องการ เช่น การสั่งรีเซ็ต (ATZ)

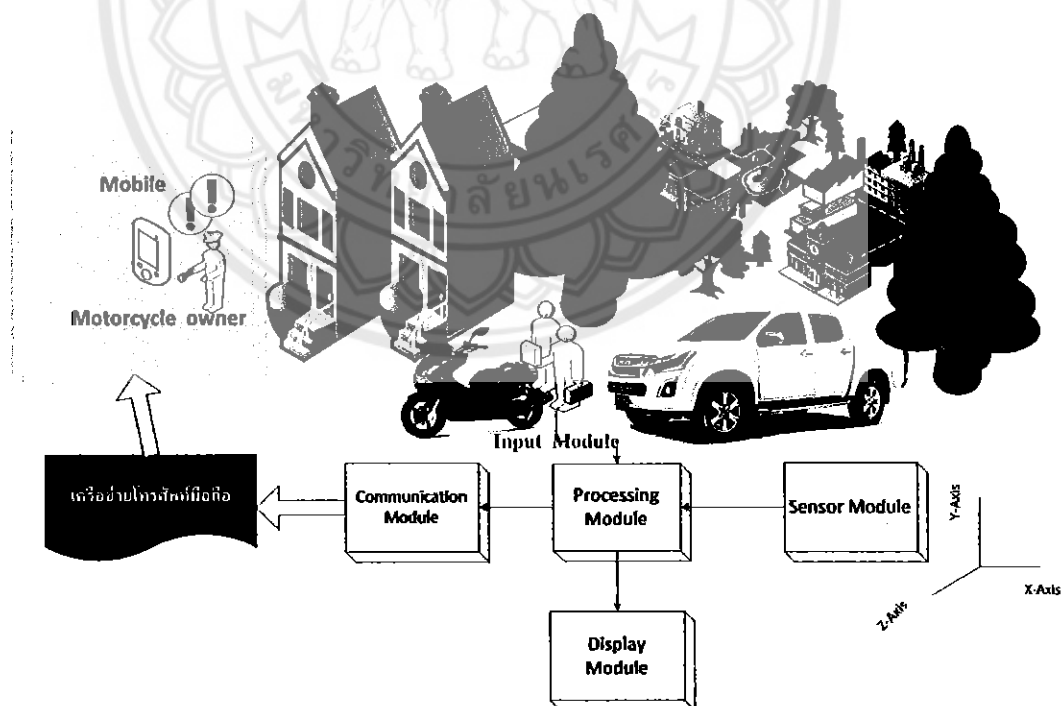
บทที่ 3

การออกแบบระบบป้องกันการจราจรรถจักรยานยนต์

หลังจากศึกษาเกี่ยวกับหลักการต่างๆ และรายละเอียดเกี่ยวกับอุปกรณ์หลักของแพลงวิชั่นที่ต้องติดตั้งในบ้านนี้จะเป็นการออกแบบโครงสร้างการทำงานการเชื่อมต่ออุปกรณ์ต่างๆ พร้อมทั้งทดสอบตัวรับสัญญาณที่มีไว้สำหรับตรวจจับลักษณะการเคลื่อนไหว โดยเป็นการตรวจจับแบบ 3 แกน เพื่อให้ในโครค่อน โทรลเลอร์สามารถประมวลผลเป็นระยะการเอียงในการหมุนตามแกน x แกน y และแกน z ได้อย่างแม่นยำ

3.1 การออกแบบขั้นตอนการทำงานของระบบป้องกันการจราจรรถจักรยานยนต์

การออกแบบขั้นตอนการทำงานของระบบป้องกันการจราจรรถจักรยานยนต์ จะสามารถแบ่งออกเป็นส่วนหลักๆ ได้ 4 ส่วน ได้แก่ ส่วนอุปกรณ์รับสัญญาณ (Sensor module) ส่วนการประมวลผล (Processing module) ส่วนการสื่อสาร (Communication module) และส่วนการแสดงผล (Display module)



รูปที่ 3.1 ขั้นตอนการทำงานของระบบป้องกันการจราจรรถจักรยานยนต์

จากขุปที่ 3.1 รูปแสดงขั้นตอนการทำงานของระบบป้องกันการโจรกรรมรถจักรยานยนต์สามารถแบ่งเป็น 4 ส่วนหลักๆ ดังนี้

ส่วนอุปกรณ์รับรู้ (Sensor module)

เป็นมอเตอร์ที่ใช้ตรวจจับการบุกรุก โดยใช้มอเตอร์ตรวจจับความเคลื่อนไหวที่ติดอยู่กับรถจักรยานยนต์ เพื่อตรวจจับการเคลื่อนไหวได้จะส่งสัญญาณต่อไปยังส่วนการประมวลผล

ส่วนการประมวลผล (Processing module)

เป็นมอเตอร์ที่ควบคุมการทำงานการทำงานทั้งหมด โดยมีหน้าที่ดังนี้

- รับสัญญาณจากส่วนประมวลผลอุปกรณ์รับรู้
- รับค่าหมายเลขโทรศัพท์ที่บันทึกไว้ในมอเตอร์ระบุผู้เช่า (Subscriber identity module, SIM) หรือซิม เพื่อใช้ในการส่งข้อความ
- เมื่อได้รับสัญญาณจากส่วนอุปกรณ์รับรู้ และระบบเตือนภัยเปิดอยู่ ส่วนประมวลผลจะสั่งให้มอเตอร์ GSM/GPRS SIM900 จะส่งข้อความออกตามหมายเลขโทรศัพท์ที่ได้บันทึกไว้ในซิม

ส่วนการสื่อสาร (Communication module)

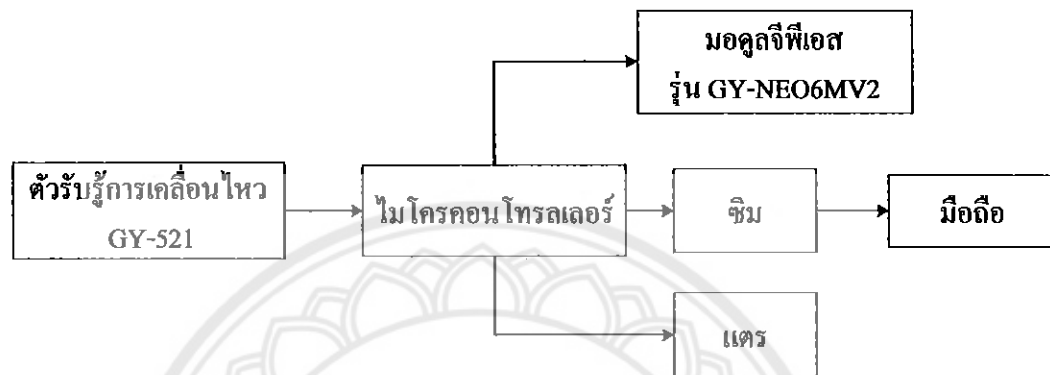
เป็นมอเตอร์ที่รับค่าที่ได้จากส่วนการประมวลผล และทำหน้าที่เชื่อมต่อกับมอเตอร์ GSM/GPRS SIM900 โดยจะใช้เชื่อมต่อกับไมโครคอนโทรลเลอร์ ATMega2560

ส่วนการแสดงผล (Display module)

เป็นมอเตอร์ที่ใช้แสดงผลการทำงาน โดยใช้มอเตอร์แสดงการทำงานในสถานะต่างๆ และใช้ในการแสดงผลเสียงสัญญาณเตือนจากแคร์

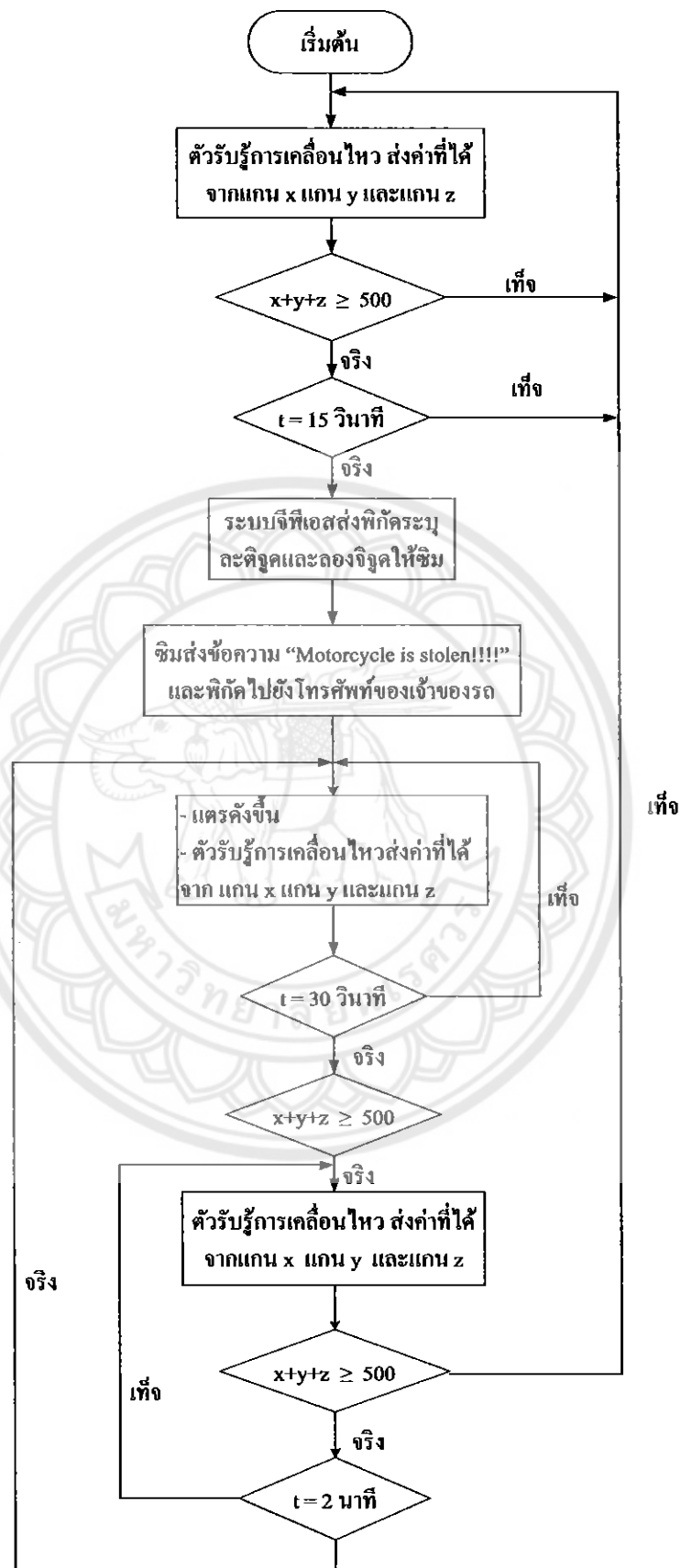
3.2 ส่วนประกอบและหลักการทำงานของระบบป้องกันการโจมตีรถจักรยานยนต์

ในการตรวจจับการเคลื่อนไหวของรถจักรยานยนต์ภายในระบบป้องกันการโจมตีรถจักรยานยนต์ มีการใช้แผ่นวงจร GY-521 ซึ่งเป็นรับสัญญาณที่ใช้ในการตรวจวัดการเคลื่อนไหว โดยใช้ในโกรคอนโทรลเลอร์ควบคุมการทำงานให้เป็นไปตามที่ออกแบบไว้ดังแสดงในรูปที่ 3.2



รูปที่ 3.2 ส่วนประกอบของระบบป้องกันการโจมตีรถจักรยานยนต์

จากรูปที่ 3.2 แสดงส่วนประกอบของระบบป้องกันการโจมตีรถจักรยานยนต์ โดยตัวรถจักรยานยนต์มีการขับยกมากกว่าหรือเท่ากับค่าที่ตั้งไว้และมีความต่อเนื่องในระยะเวลาที่กำหนด ตัวรับสัญญาณเคลื่อนไหว รุ่น GY-521 จะส่งค่าไปยังไมโครคอนโทรลเลอร์ให้มีการประมวลผลและสั่งงานไปให้แดร์เกิดการแจ้งเตือน รวมทั้งสั่งงานให้มอเตอร์รุ่น GY-NEO6MV2 ส่งค่าพิกัดไปยังเซ็นเซอร์เพื่อตรวจสอบความแจ้งเตือนพร้อมกับระบุตำแหน่งละติจูดและลองจิจูดของรถจักรยานยนต์ไปยังมือถือของเจ้าของรถจักรยานยนต์ทราบ



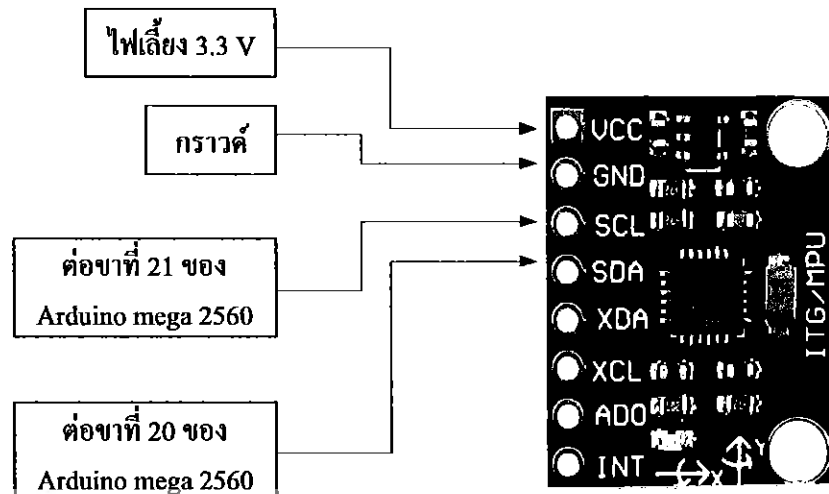
รูปที่ 3.3 ขั้นตอนการทำงานของระบบป้องกันการ จ�จกรรมรถจักรยานยนต์

จากรูปที่ 3.3 ระบบจะเริ่มต้นการทำงานเมื่อรอดจักรยานยนต์มีการขับ ตัวรับสัญญาณเคลื่อนไหวจะส่งค่าที่ได้จากแกน x แกน y และแกน z ไปยังไมโครคอนโทรลเลอร์ให้มีการตรวจสอบเงื่อนไขว่ามากกว่าหรือเท่ากับ 500 หรือไม่ ถ้าไม่ใช่ให้มีการตรวจสอบเงื่อนไขอีกรึ่งแต่ถ้าใช่จะมีการตรวจสอบเงื่อนไขว่ามีความเคลื่อนไหวต่อเนื่องในระยะเวลา 15 วินาทีหรือไม่ ถ้าตรงตามเงื่อนไข ระบบจะพิสูจน์ด้วยภาษาพิกัดระบุคำหนังของรถจักรยานยนต์ไปยังชิม โดยชิมจะส่งข้อความว่า“Motorcycle is stolen!!!!” ไปที่มือถือของเจ้าของรถจักรยานยนต์พร้อมกับไฟแจ้งเตือนด้วยเสียงแตร โดยเสียงแตรจะดังต่อเนื่อง 30 วินาที ซึ่งในขณะนี้ตัวรับสัญญาณเคลื่อนไหวจะยังคงทำงานต่ออยู่ หากยังมีการขับ ตัวรับสัญญาณเคลื่อนไหวจะส่งค่าเพื่อตรวจสอบจับของรถจักรยานยนต์ต่ออยู่ หากมีการขับอย่างต่อเนื่องอีกในระยะเวลา 2 นาทีหรือไม่ ถ้าไม่ตรงตามเงื่อนไขก็จะมีการรับค่าจากตัวรับสัญญาณเคลื่อนไหวอีกรึ่ง เมื่อรอดจักรยานยนต์มีการขับในชั้นตอนเริ่มต้น แต่ถ้าตรงตามเงื่อนไขก็จะตรวจสอบอีกว่ามีความต่อเนื่องในระยะเวลา 2 นาทีหรือไม่ ถ้าไม่ตรงตามเงื่อนไขก็จะมีการรับค่าจากตัวรับสัญญาณเคลื่อนไหวอีกรึ่ง แต่ถ้าตรงตามเงื่อนไข ระบบจะพิสูจน์ด้วยเสียงแตร ซึ่งในขณะนี้ตัวรับสัญญาณเคลื่อนไหวจะยังส่งค่าเพื่อตรวจสอบจับการขับของรถจักรยานยนต์ต่ออยู่ หากมีการขับอย่างต่อเนื่องอีกในระยะเวลา 2 นาที ก็จะมีการแจ้งเตือนจากเสียงแตรพร้อมกับแสดงข้อความระบุพิกัดคลาทิชูดและลองจิวคในทุกๆ 2 นาที

3.3. การเชื่อมต่อวงจรของระบบการป้องกันการโจกรกรรมรถจักรยานยนต์

3.3.1 วงจรระบบรับสัญญาณเคลื่อนไหวของรถ

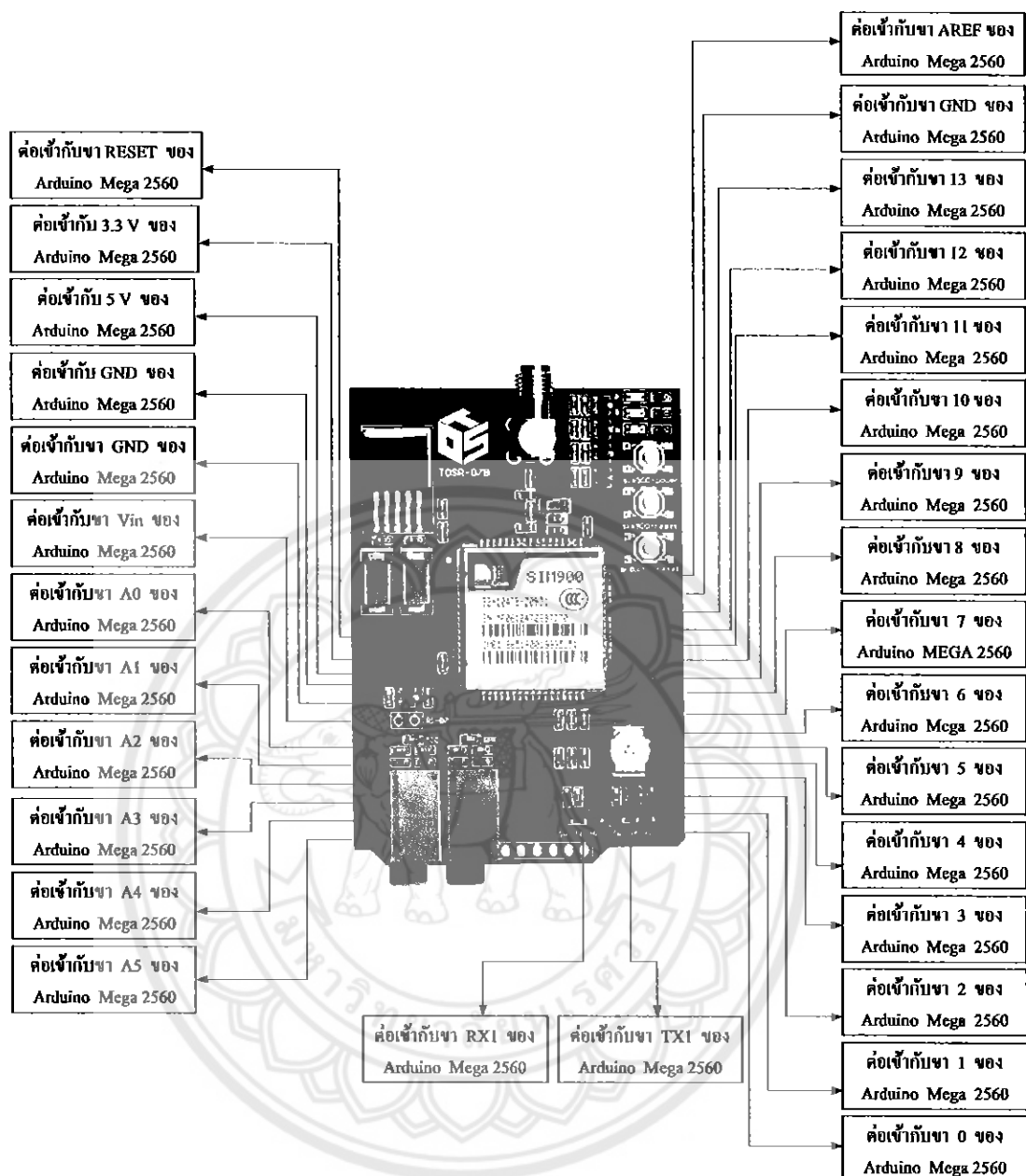
วงจรระบบรับสัญญาณเคลื่อนไหวของรถจากตัวรับสัญญาณ GY-521 โดยจะแสดงค่าในแกน x แกน y และแกน z ซึ่งจะมีค่าสามค่า เป็นค่าที่จะเปลี่ยนแปลงก็ต่อเมื่อมีการหมุนตัวรับสัญญาณแกนต่างๆ ทุกๆ ครั้งที่มีการหมุนหรืออิ่ม ส่งผลให้ชุดต่างๆ วนตัวรับสัญญาณเคลื่อนไหว GY-521 มีความเร่งเชิงเส้นไม่เท่ากันชั้นอยู่กับองค์ความเมือง ซึ่งความเร่งเชิงเส้นเป็นค่าที่เอาไว้ปรับเทียบกับค่าแรงโน้มถ่วงของโลก เมื่อหดหุดหมุน โดยค่าจะมีการเปลี่ยนแปลงตลอดเวลา ทำงานโดยการวัดความเร็วเชิงมุมรอบทั้งสามแกน [3] และจะส่งค่าไปยังแพงวงจรอาดูโน่รุ่น Mega 2560 ที่ขา Rx และจะเก็บค่าไว้ประมวลผล ประมวลผลโดยตัวแพงวงจรอาดูโน่รุ่น Mega 2560 ซึ่งจะนำค่าที่ได้ไปใช้สำหรับส่งสัญญาณตัวรับสัญญาณไปให้ในไมโครคอนโทรลเลอร์ประมวลผลและส่งการทำงานตามที่ได้ออกแบบไว้ดังรูปที่ 3.4



รูปที่ 3.4 แผนการเชื่อมต่อใช้งานตัวรับสัญญาการเคลื่อนไหวของรถ

3.3.2 วงจรสื่อสารโดยการส่งข้อความ

การประยุกต์ใช้งานของมอเตอร์ GSM/GPRS SIM900 โดยมีการคิดตั้งระบบป้องกันการโจรกรรมรถจักรยานยนต์ร่วมกับตัวรับสัญญาการเคลื่อนไหว GY-521 ซึ่งสามารถใช้งานร่วมกัน อาดูโน่รุ่น Mega 2560 และเมื่อตรวจมีการขับรถจักรยานยนต์ตามระยะเวลาที่ตั้งไว้ก็จะมีการส่งสัญญาณแจ้งเตือนไปบอกให้เจ้าของรถจักรยานยนต์ทราบ โดยจะมีการแจ้งเตือนข้อความผ่านทางมอเตอร์ GSM/GPRS SIM900 ซึ่งเป็นมอเตอร์สื่อสารระบบ GSM/GPRS ที่มีขนาดเล็กและสามารถรองรับระบบสื่อสาร GSM โดยสั่งงานผ่านทางพอร์ตสื่อสารอนุกรม RS232 ด้วยชุดคำสั่งเอทธิคอมมานด์ มอเตอร์ด้านนี้สามารถใช้สัญญาณ GSM แบบเดียวกับการใช้โทรศัพท์ในการรับข้อมูลและส่งข้อมูลจากที่ต่างๆ ได้แม้จะไม่มีสัญญาณอินเทอร์เน็ต [4] โดยแผนการเชื่อมต่อใช้งานของ เมง旺 ของมอเตอร์ GSM/GPRS SIM900 จะแสดงดังรูปที่ 3.5



รูปที่ 3.5 แผนการเชื่อมต่อใช้งานของแพงวงจรรบสัญญาณ GSM/GPRS SIM900

การสื่อสารของโครงการนี้จะใช้การสื่อสารผ่านพอร์ตอนุกรม เป็นการกำหนดขา TX และขา RX โดยขา TX ของแพงวงจรรบสัญญาณ GSM/GPRS SIM900 จะมีการเชื่อมต่อเข้ากับขา RX1 ของแพงวงจรอาคูโน่ รุ่น Mega 2560 และขา RX ของแพงวงจรรบสัญญาณ GSM/GPRS SIM900 จะเชื่อมต่อเข้ากับขา TX1 ของแพงวงจรอาคูโน่ รุ่น Mega 2560 ซึ่งเป็นการเชื่อมต่อในการสื่อสารระหว่างแพงวงจร หลังจากเสียบชิมโทรศัพท์เข้าไปแพงวงจรรบสัญญาณ GSM/GPRS SIM900 ติดเสา อาการและติดตั้งบนแพงวงจรอาคูโน่ รุ่น Mega 2560 และจ่ายแรงดันไฟฟ้าโดยใช้แบตเตอรี่สำรอง ซึ่งจะแสดงไฟ PWR เป็นไฟสีแดง STA และไฟสีเหลืองติด หลังจากนั้นไฟ NET และไฟเป็นไฟสีน้ำเงินก็จะเริ่มกระพริบ ซึ่งหมายถึงแพงวงจรพยายามติดต่อกับระบบเครือข่าย

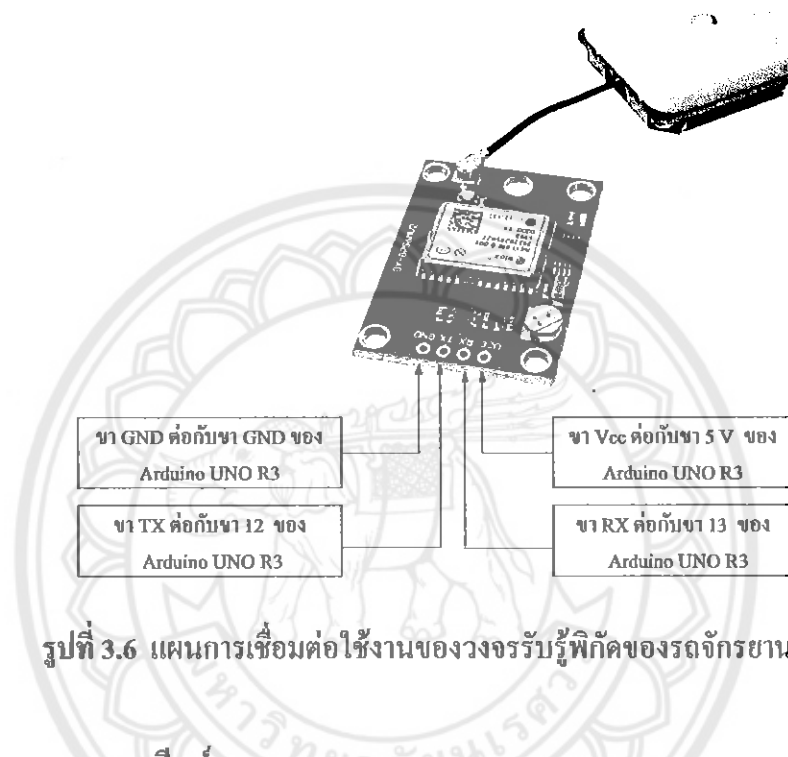
1922008X



สำนักหอสมุด

3.3.3 วงจรรับสัญญาณของรถจักรยานยนต์

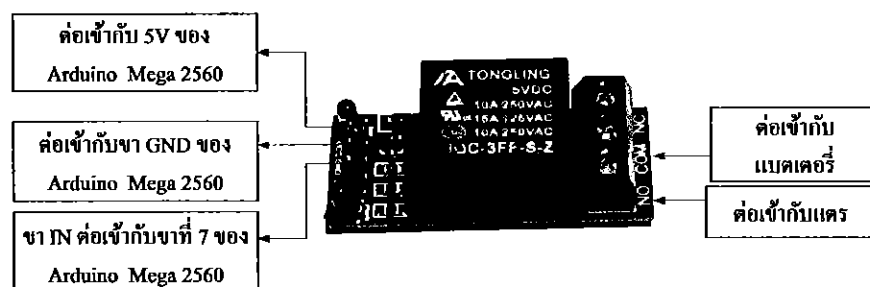
วงจรรับสัญญาณของรถจักรยานยนต์เป็นมอเตอร์ที่ทำหน้าที่รับสัญญาณระบบบีบีเพลส ระบุตำแหน่งลงตัวและลงจิจูดจากดาวเทียมได้เป็นอย่างดี [5] โดยติดต่อให้มีการส่งข้อมูลที่ปี 2561 ผ่านทาง Serial RX/TX



รูปที่ 3.6 แผนการเชื่อมต่อใช้งานของวงจรรับสัญญาณของรถจักรยานยนต์

3.3.4 แผนวงจรรีเลย์

รีเลย์ 1 ช่อง ใช้ไฟ 5 โวลต์ [6] โดยขา Vcc ของรีเลย์เชื่อมต่อเข้ากับ 5 โวลต์ ของแผนวงจรอาดูโน่รุ่น Mega 2560 จากราดีซองแพงวงจรรีเลย์ต่อเข้ากับขากราวด์ของแพงวงจรอาดูโน่รุ่น Mega 2560 ขา IN เชื่อมต่อเข้ากับขาที่ 7 ของแพงวงจรอาดูโน่รุ่น Mega 2560 นอกจากนี้ยังต่อปกติเปิดเชื่อมต่อของแพงวงจรรีเลย์เชื่อมต่อ กับ แตร และขาจุติร่วมไฟ เชื่อมต่อเข้ากับแบตเตอรี่ หากแพงวงจรรีเลย์ตัดต่อหน้าสัมผัสไฟจะเปลี่ยนจากสีแดงเป็นสีเขียวส่งผลให้เกิดการแจ้งเตือนผ่านแตร



รูปที่ 3.7 แผนการเชื่อมต่อใช้งานของแพงวงจรรีเลย์

3.3.5 ແຕຣ

ແຕຣນາດ 12 ໂວລຕໍ່ ແລະ ນີ້ຮັດບັນເສີຍ 100 ເຄືບເບລ ເມື່ອນໄຟຟ້າໄລພ່ານແລ້ວຈະທຳໄຫ້ເກີດເສີຍດັ່ງທັນທີ ຜົ່ງແຕຣນີ້ຈະທຳໜ້າທີ່ແຈ້ງເຕືອນເມື່ອເກີດສານະພິບປົກຕິ ເຊັ່ນ ການບັນຮອນນານຕ່ອນເນື່ອໃນຂ່າວງເວລາທີ່ຕັ້ງໄວ້ ທີ່ກີ່ການຄາດກາຮັບຜົວອາງເກີດກາຮໂຈກກຣມຮັບຈັກຮຽນຍົນຕໍ່

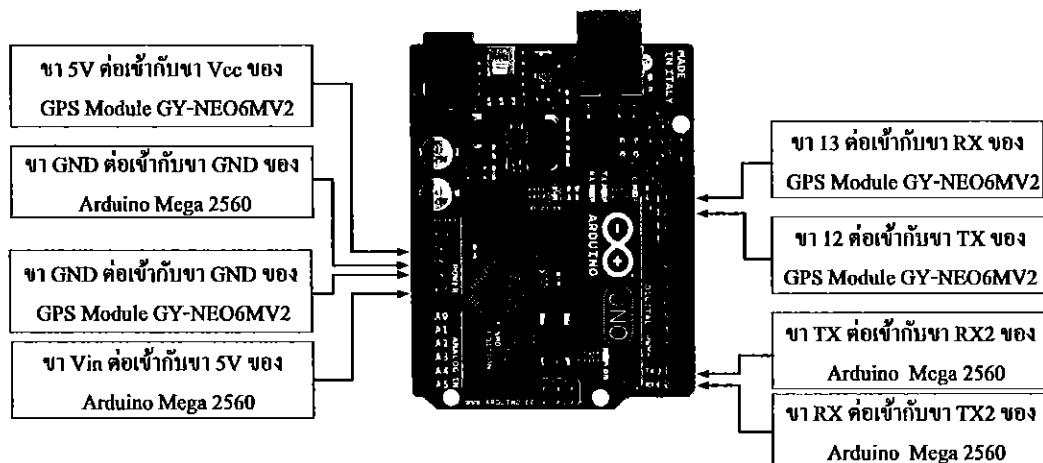


ຮູບທີ່ 3.8 ແຜນການເຂື້ອນຕ່ອງໃຊ້ງານຂອງແຕຣ

ທີ່ນາ: <https://th.bosch-automotive.com/th/parts/>.

3.3.6 ແຜງວຈຮອາດູໂນ UNO R3

ໃນໂກຣຄອນໂທຣລເດອຣ໌ອາດູໂນ UNO R3 ຜົ່ງນີ້ບໍ່ສັບມູນແອນະລືກ 5 ຂາ ແລະ ຂາດີຈິຫັດ 13 ຂາ ເປັນຄຸນຍົກລາງທີ່ກອຍຮັບຂໍ້ມູນ ປະນວລພດຂໍ້ມູນ ແລະ ສັ່ງການອັກປຽນທ່າງໆ ໄທ້ທຳງານຕາມທີ່ໄດ້ອອກແບບໄວ້ ຈຶ່ງຕ້ອງນີ້ການເຂື້ອນຕ່ອກບັນອັກປຽນທຸກຕ້ວາໃນຮະບນ [7] ສາມາດແສດກການເຂື້ອນຕ່ອງຂອງໃນໂກຣຄອນໂທຣລເດອຣ໌ໄດ້ດັ່ງຮູບທີ່ 3.9 ຜົ່ງອາດູໂນ UNO R3 ຈະທຳການປະນວລພດຈາກກາຮັບກ່າວກາຮ ເກື່ອນໄຫວຂອງຕົວຮັບຮູ້ກາຮເກື່ອນໄຫວເມື່ອຕົວຮັບຮູ້ນີ້ກາຮຂັບອຍ່າງຕ່ອນເນື່ອງ ຜົ່ງຄາດກາຮັບຜົວອາງເກີດກາຮໂຈກກຣມຮັບຈັກຮຽນຍົນຕໍ່ ຮັບຈັກຮຽນຍົນຕໍ່ອາງຄູກກາຮໂຈກກຣມ ຜົ່ງຈະນີ້ການເຈັ້ງເຕືອນເຂົ້າໂທຣສັພທີ່ພວ່ອນກັບງາງຈົບຮັບຮູ້ພິກັດຂອງຮັບຈັກຮຽນຍົນຕໍ່ແສດງພິກັດວ່າ ພະນັກຮັບຈັກຮຽນຍົນຕໍ່ອູ່ຕໍ່ມໍແໜ່ງໄດ້

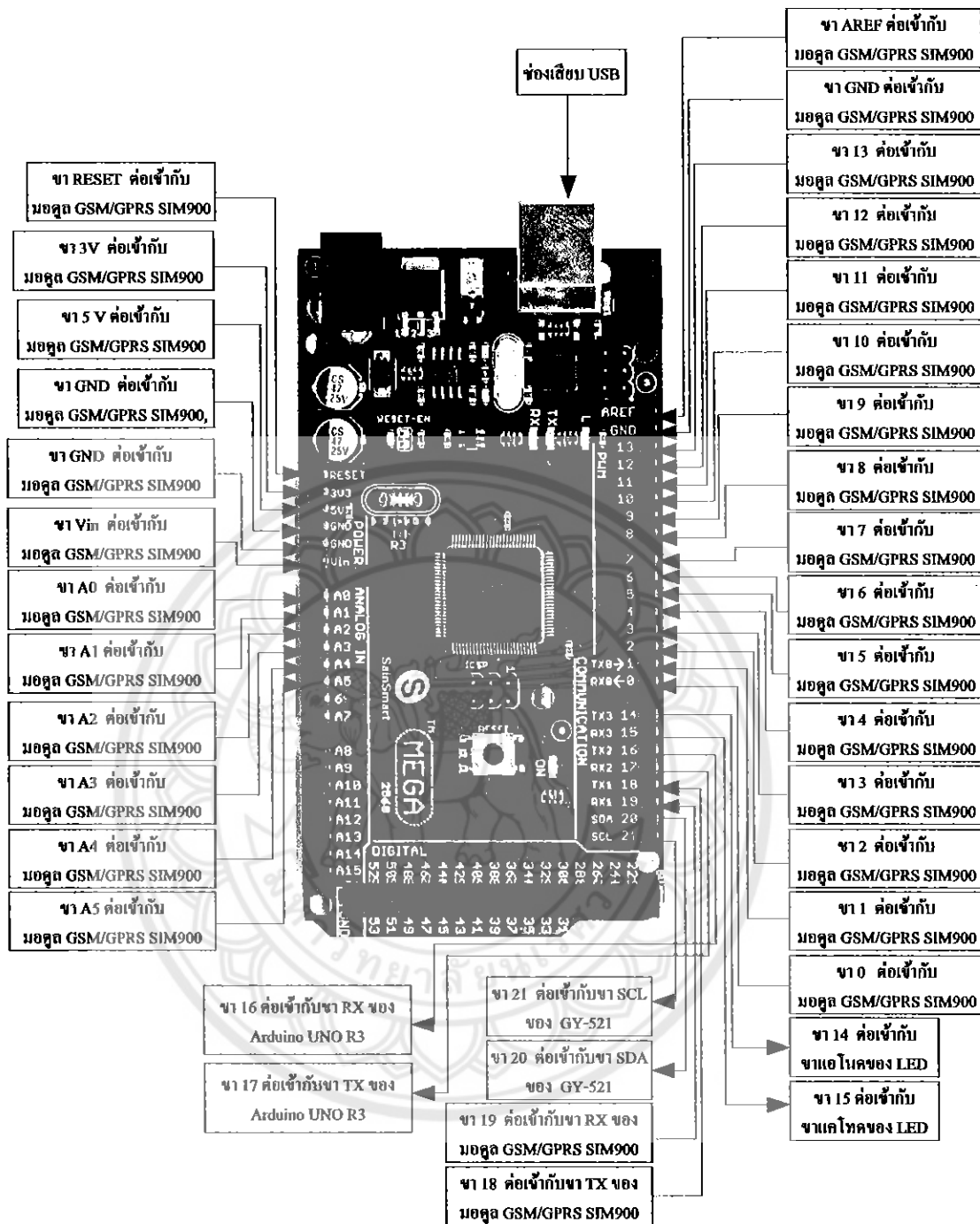


รูปที่ 3.9 แผนการเชื่อมต่อใช้งานของแพงวงจรอาคูโน่ UNO R3

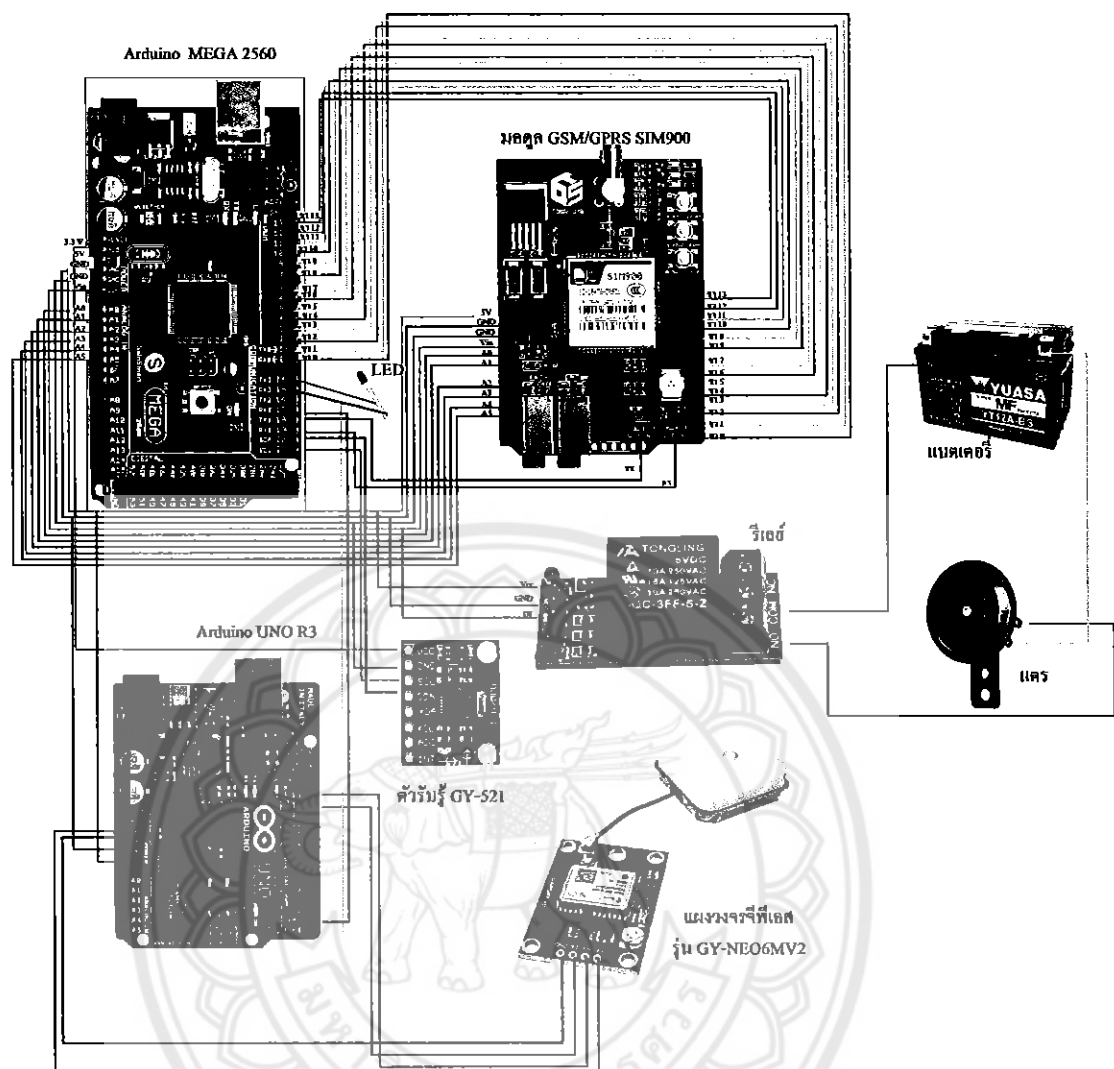
3.3.7 แพงวงจรอาคูโน่ รุ่น Mega 2560

ไมโครคอนโทรลเลอร์อาคูโน่ รุ่น Mega 2560 ซึ่งมีขาสัญญาณอะล็อก 16 ขา และขาดิจิทัล 54 ขา เป็นศูนย์กลางที่ค่อยรับข้อมูล ประมวลผล และสั่งการอุปกรณ์ต่าง ๆ ให้ทำงาน จึงต้องมีการเชื่อมต่อกับอุปกรณ์ทุกด้านในระบบ [1] ซึ่งอาคูโน่ รุ่น Mega 2560 จะทำการประมวลผลจาก การรับค่าการเปลี่ยนแปลงของตัวรับสัญญาณ เกลื่อน ไหวและช่วงเวลาที่มีการขับของตัวรับสัญญาณ เกลื่อน ไหวอย่างต่อเนื่องในช่วงเวลา 15 วินาที จากนั้นจะออกคำสั่งในส่วนต่างๆ ให้ทำงานขั้นตอน ที่ได้ออกแบบไว้ ดังรูปที่ 3.10 แสดงแผนการเชื่อมต่อใช้งานของแพงวงจรอาคูโน่ รุ่น Mega 2560

การควบคุมการทำงานของโครงการนี้ คือ การป้องกันการ โจกรกรรมรถจักรยานยนต์ มี การเชื่อมต่อประกอบด้วยอุปกรณ์หลัก ได้แก่ วงจรระบบบันรับสัญญาณ เกลื่อน ไหวของรถ วงจรสื่อสาร โดยการส่งข้อความ แพงวงจรรีเลย์ แต่ละแพงวงจรอาคูโน่ รุ่น Mega 2560 โดยการทำงานของ ระบบจะใช้ในไมโครคอนโทรลเลอร์ในการรับค่าเพื่อประมวลผลและสั่งงานให้อุปกรณ์ทำงาน โดยมี ไฟจาก ไฟออดิโอ แสดงสถานะการเริ่มรับค่าการเกลื่อน ไหว ซึ่งรับค่าการเกลื่อน ไหวจาก วงจรรับสัญญาณ เกลื่อน ไหว เพื่อเป็นการกำหนดการเกลื่อน ไหว หากมีการเกลื่อน ไหวในเวลาที่ ต่อเนื่องของวงจรรับสัญญาณ เกลื่อน ไหว โดยจะมีแพงวงจรรีเลย์ในการหน่วงเวลาของการเกลื่อน ไหว หากมีการเกลื่อน ไหวในค่าที่ ได้กำหนดไว้ จะมีแตรที่ติดตั้งอยู่กับรถจักรยานยนต์นี้เสียงดังขึ้น พร้อมกับมีข้อความแจ้งเตือนเข้าโทรศัพท์มือถือของเจ้าของรถจักรยานยนต์ผ่านวงจรสื่อสาร โดย การส่งข้อความพร้อมกับวงจรรับสัญญาณ พิกัดของรถจักรยานยนต์แสดงพิกัดว่า ณ ขณะนี้ รถจักรยานยนต์อยู่ตำแหน่งใด และถ้ารถจักรยานยนต์มีการเกลื่อนที่ต่อเนื่องอีก 2 วินาที ก็จะมีการ แจ้งเตือนด้วยเสียงแตรและมีการแจ้งเตือนโดยการส่งข้อความ พร้อมกับพิกัดและติดตามจิจูดอีก ครั้ง สามารถแสดงวงจรทั้งหมด ได้ดังรูปที่ 3.11 และการเชื่อมต่อของอุปกรณ์ใช้งานจริง ดังรูปที่

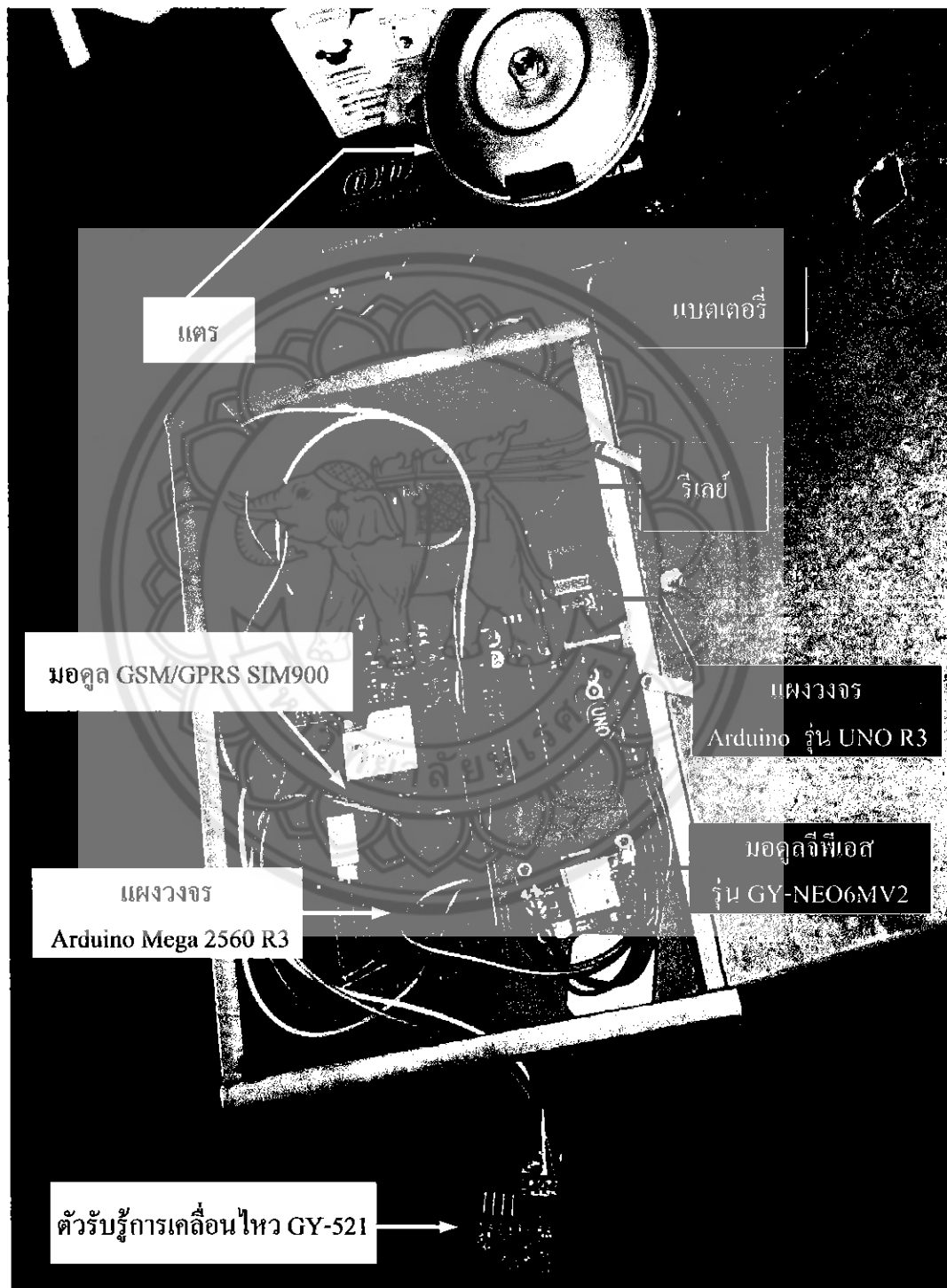


รูปที่ 3.10 แผนการเชื่อมต่อใช้งานของแพงวงจรอาดูโน่ รุ่น Mega 2560



รูปที่ 3.11 แผนการเชื่อมต่อของวงจรป้องกันการโจรกรรมรถจักรยานยนต์

การติดตั้งอุปกรณ์ในการใช้งานจริงของระบบป้องกันการโจรกรรมรถจักรยานยนต์ โดยจะนำอุปกรณ์ที่ซื้อมาต่อ กันให้ถูกต้องขนาดความกว้าง 11 เซนติเมตร ยาว 19 เซนติเมตร และสูง 8 เซนติเมตร และนำกล่องไปไว้ได้เบาะรถจักรยานยนต์ดังรูปที่ 3.13



รูปที่ 3.12 การติดตั้งของอุปกรณ์ของระบบป้องกันการโจรกรรมรถจักรยานยนต์

บทที่ 4

ผลการทดสอบการทำงานของระบบการป้องกันการโจรกรรมรถจักรยานยนต์

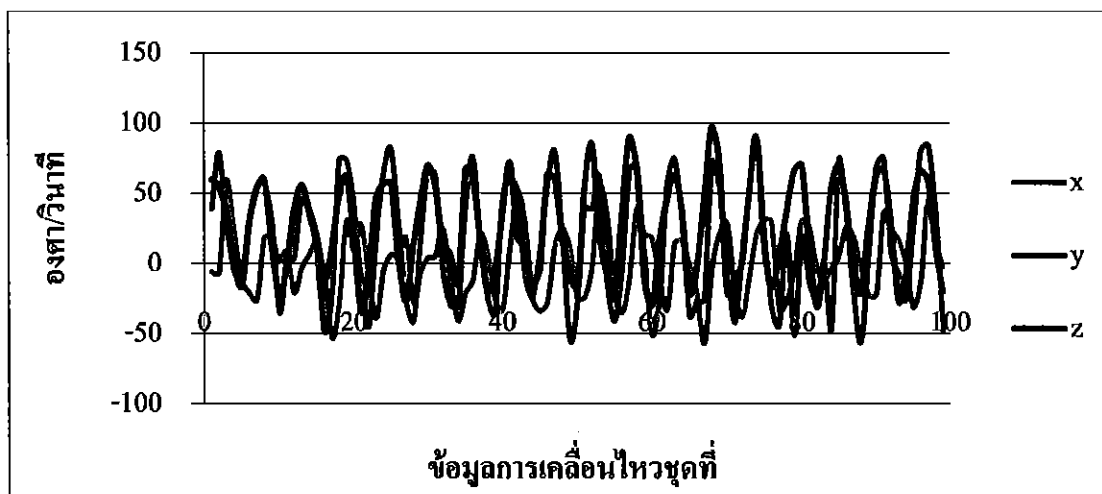
หลังจากประกอบส่วนประกอบต่างๆในการป้องกันการโจรกรรมรถจักรยานยนต์แล้ว จึงได้ทำการทดสอบซึ่งประกอบไปด้วย ความแม่นยำในการตรวจจับการเคลื่อนไหวของรถจักรยานยนต์ การทำงานในกรณีที่คาดการณ์ว่าจะไม่มีการโจรกรรมรถจักรยานยนต์ การติดตามรถจักรยานยนต์ในกรณีที่ถูกการโจรกรรม และการสั่งให้หยุดการทำงานในกรณีที่เสียงแตรแจ้งเตือนดังขึ้น

4.1 การทดสอบการทำงานของตัวรับรู้การเคลื่อนไหว

จากการทดสอบการทำงานของระบบป้องกันการโจรกรรมรถจักรยานยนต์ โดยใช้ตัวรับรู้การเคลื่อนไหว GY-521 ซึ่งตัวรับรู้นี้สามารถส่งค่าที่ได้จากแกน x แกน y และแกน z ไปยังไมโครคอนโทรลเลอร์เพื่อให้มีการประมวลผลและสั่งงานให้อุปกรณ์ต่างๆทำงานตามที่ได้ออกแบบไว้ จึงได้ทดสอบการทำงานของตัวรับรู้การเคลื่อนไหวในกรณีต่างๆ เช่น ขณะรถจักรยานยนต์หยุดนิ่ง ขณะรถจักรยานยนต์เคลื่อนที่แต่ไม่ต่อเนื่อง และขณะรถจักรยานยนต์เคลื่อนที่ต่อเนื่อง

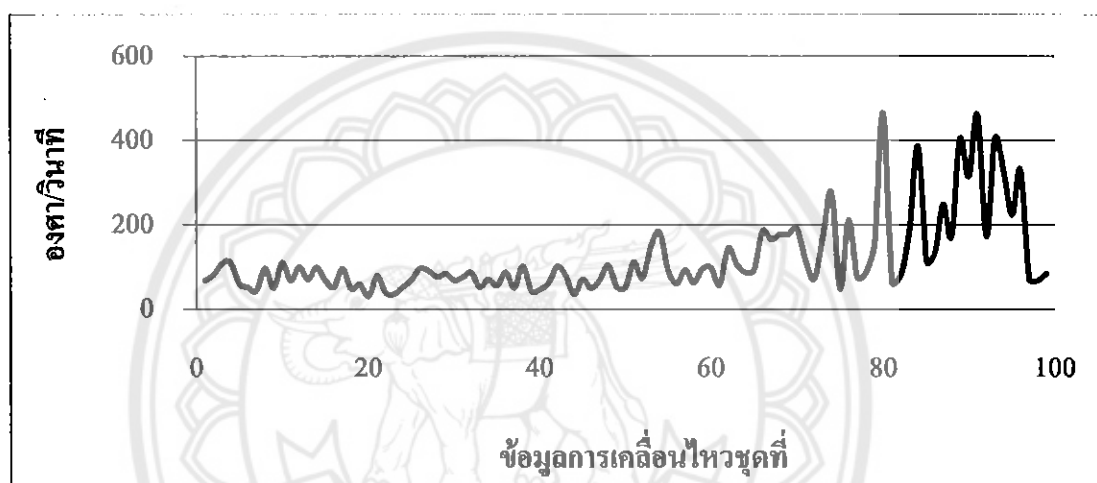
4.1.1 ขณะรถจักรยานยนต์หยุดนิ่ง

เมื่อจากตัวรับรู้การเคลื่อนไหว GY-521 ไม่ว่ารถจักรยานยนต์จะอยู่ในสถานะหยุดนิ่ง หรือมีการเคลื่อนไหว ตัวรับรู้การเคลื่อนไหวจะไม่มีค่าเป็นศูนย์และมีค่าไม่แน่นอน ดังรูปที่ 4.1 จะเป็นการแสดงการทำงานของตัวรับรู้การเคลื่อนไหวทั้งสามแกน นั่นคือแกน x แกน y และแกน z



รูปที่ 4.1 การทำงานของตัวรับรู้การเคลื่อนไหวทั้งแกน x, y และ z

ซึ่งจากกราฟที่ได้จะเห็นว่ากราฟทั้งสามแกนมีการเคลื่อนไหวตลอดเวลา ทำให้ไม่สามารถเห็นการเคลื่อนไหวของกราฟแต่ละกราฟได้ชัดเจน จึงได้มีการรวมกราฟทั้งสามแกนเป็นเวกเตอร์จากดังรูปที่ 4.2 เป็นการรวมค่าของแกน x, แกน y และแกน z ของกราฟรูปที่ 4.1 เพื่อให้ง่ายต่อการตรวจจับการเคลื่อนไหว ซึ่งไม่ว่ารถจักรยานยนต์จะมีการเคลื่อนที่ไปในทิศทางใดก็ตาม ในแกน x, แกน y และแกน z ตัวรับรู้การเคลื่อนไหว GY-521 ก็จะสามารถตรวจจับการเคลื่อนไหวได้ ซึ่งจากการจะเห็นว่ากราฟอยู่ในช่วง 0-500 องศาต่อวินาที ซึ่งถ้าที่ได้ไม่เกิน 500 แสดงว่ารถจักรยานยนต์ไม่มีการขับหรือหยุดนิ่งดังรูปที่ 4.3



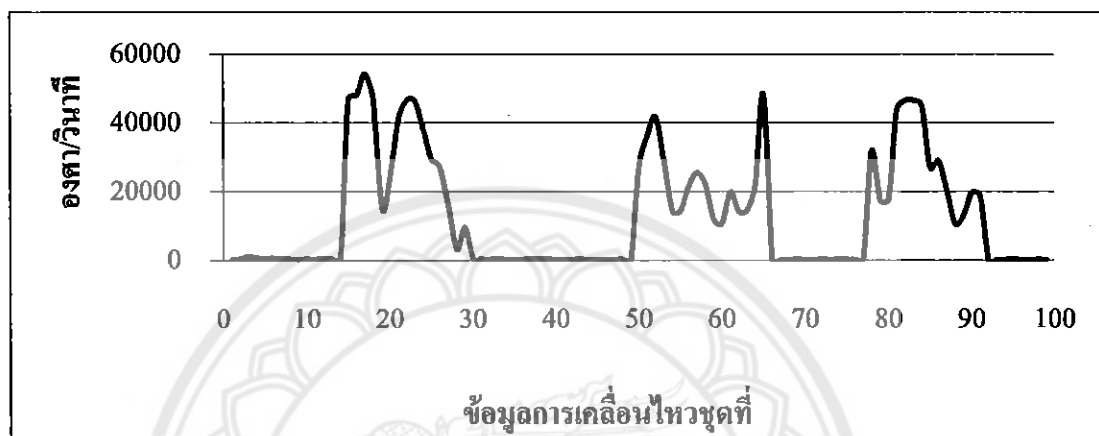
รูปที่ 4.2 การทำงานของตัวรับรู้การเคลื่อนไหวเมื่อร่วมเวกเตอร์เป็นแกนเดียว



รูปที่ 4.3 การจอดรถจักรยานยนต์ขณะที่จอดอยู่นิ่ง

4.1.2 ขณะรถจักรยานยนต์เคลื่อนที่ไม่ต่อเนื่อง

ในการทดสอบการทำงานของตัวรับสัญญาณเคลื่อนไหว GY-521 ในขณะรถจักรยานยนต์เคลื่อนที่แต่ไม่ต่อเนื่องหรือเป็นการขับเป็นจังหวะสั้นกับการหยุดนิ่ง จะได้ผลการทดสอบดังรูปที่ 4.4 ซึ่งเป็นกราฟที่อยู่ในช่วง 0-50000 องศาต่อวินาที โดยที่ไม่มีความสัมมานะสมอในการขึ้นลงของกราฟแสดงให้เห็นว่ารถจักรยานยนต์มีการขับแต่ไม่ต่อเนื่อง



รูปที่ 4.4 การเคลื่อนไหวของรถจักรยานยนต์ไม่ต่อเนื่อง

4.1.2 ขณะรถจักรยานยนต์เคลื่อนที่ต่อเนื่อง

ในการทดสอบขณะรถจักรยานยนต์เคลื่อนที่ต่อเนื่อง แบ่งออกเป็น 2 กรณีดังนี้

จากผลการทดสอบตัวรับสัญญาณเคลื่อนไหวในภาระจักรยานยนต์ทางเรียบและทางขุบระ ลักษณะของการจูงรถจักรยานยนต์ในทางเรียบจะแสดงดังรูปที่ 4.5(ก) ลักษณะของการจูงรถจักรยานยนต์ในพื้นถนนทางขุบระจะแสดงดังรูปที่ 4.5(ข)



(ก) การจูงรถจักรยานยนต์ทางเรียบ (ข) การจูงรถจักรยานยนต์ทางขุบระ

รูปที่ 4.5 การจูงรถจักรยานยนต์ในทางเรียบและทางขุบระ

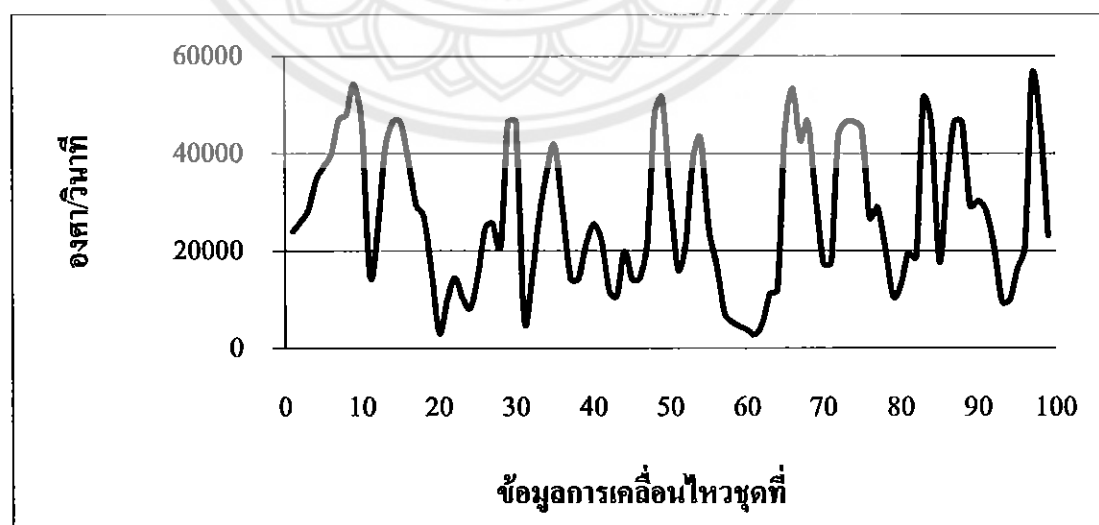
จากผลการทดสอบตัวรับรู้การเคลื่อนไหว ลักษณะการขับปีรรถจักรยานยนต์ในทางเรียบ จะแสดงดังรูปที่ 4.6(ก) ลักษณะการขับปีรรถจักรยานยนต์ในทางชุบจะแสดงดังรูปที่ 4.6(ข)



(ก) การขับปีรรถจักรยานยนต์ทางเรียบ (ข) การขับปีรรถจักรยานยนต์ทางชุบ

รูปที่ 4.6 การขับปีรรถจักรยานยนต์ทางเรียบและทางชุบ

ในการทดสอบการทำงานของตัวรับรู้การเคลื่อนไหว GY-521 ในขณะรถจักรยานยนต์เคลื่อนที่ต่อเนื่องในการพิสูจน์ลักษณะการขับปีรรถจักรยานยนต์ในทางเรียบดังรูป 4.7(ก) จะได้ผลการทดสอบดังรูปที่ 4.5 พบว่า กราฟจะอยู่ในช่วง 500 - 50000 องศาต่อวินาที โดยที่กราฟมีความต่อเนื่องตลอด แสดงให้เห็นว่ารถจักรยานยนต์มีการขับต่อเนื่อง



รูปที่ 4.7 รูปแสดงการเคลื่อนไหวของรถจักรยานยนต์ย่างต่อเนื่อง

จากผลการทดสอบการทำงานของตัวรับสัญญาณโทรศัพท์ต่างๆ เช่น ขยะรถจักรยานยนต์จอดอยู่นี่ ขยะรถจักรยานยนต์เคลื่อนที่แต่ไม่ต่อเนื่อง (ขับเป็นจังหวะ สลับกับการหยุดนิ่ง) และขยะรถจักรยานยนต์เคลื่อนที่ต่อเนื่อง พบว่าลักษณะของภาพที่ได้ในแต่ละกรณีความแตกต่างกัน นั่นคือ ขยะรถจักรยานยนต์จอดอยู่นี่ โดยตัวรับสัญญาณโทรศัพท์ได้ในแต่ละกรณีความแตกต่างกันนี้มีค่าต่ำมากจะมีค่าอยู่ในช่วงสิบถึงหลักร้อย ส่วนกรณีขยะรถจักรยานยนต์เคลื่อนที่แต่ไม่ต่อเนื่อง พบว่าลักษณะของภาพที่ได้มีค่าตั้งแต่สูงถึงหลักหมื่นที่ไม่ต่อเนื่องกัน และในกรณีขยะรถจักรยานยนต์เคลื่อนที่ต่อเนื่อง จะพบว่าภาพมีค่าสูงและจะอยู่ในช่วงหลักพันถึงหลักหมื่น ซึ่งมีค่าที่ได้จากการและมีเวลาต่อเนื่อง

4.2 การทำงานในการเฝ้าระวังจักรยานยนต์ด้วยโทรศัพท์มือถือ

เมื่อมีการเคลื่อนไหวของรถจักรยานยนต์ต่อเนื่องในระยะเวลา 15 วินาที ซึ่งอาจคาดการณ์ได้ว่ารถจักรยานยนต์อาจถูกการโจรกรรม ดังนั้นเมื่อรถจักรยานยนต์เกิดการเคลื่อนไหวต่อเนื่อง 15 วินาที แต่ที่ติดตั้งไว้กับรถจักรยานยนต์จะเกิดเสียงดังขึ้นและมอคูล GSM/GPRS SIM 900 จะส่งข้อความแจ้งเตือนดังรูปที่ 4.8

ข้อความ : “Motorcycle is stolen!!!!”

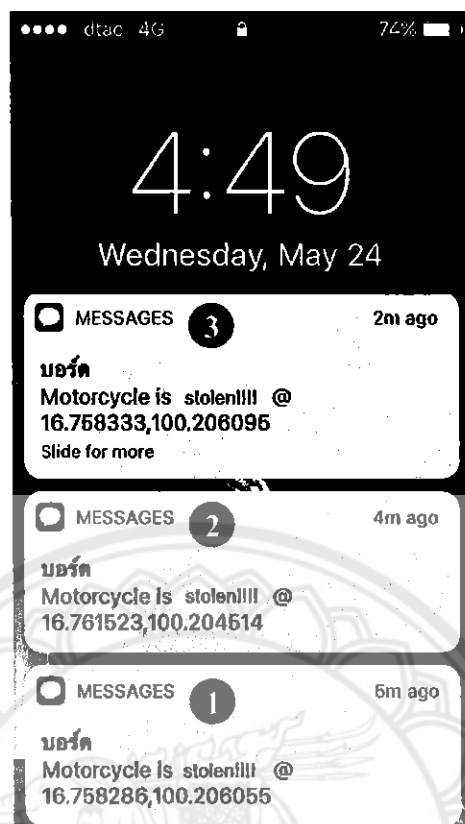
พิกัด : 16.758286,100.206055

หากมีการเคลื่อนไหวของรถจักรยานยนต์ต่อเนื่องหลังจากที่มีข้อความแจ้งเตือนในครั้งแรกไปแล้ว อีกประมาณ 2 นาที จะมีการแจ้งเตือนจากแทร็อกอิคริงและส่งข้อความแจ้งเตือน

ข้อความ : “Motorcycle is stolen!!!!”

พิกัด : 16.761523,100.204514

หลังจากที่มีการแจ้งเตือนในระยะเวลา 2 นาทีไปแล้ว สำหรรถจักรยานยนต์ยังมีการขับอยู่ จะมีข้อความส่งใหม่อีกครั้ง และจะแสดงพิกัดของตำแหน่งปัจจุบัน



รูปที่ 4.8 การส่งข้อความแจ้งเตือนว่ารถจักรยานยนต์ถูกใจกรรม

หลังจากที่มีการแจ้งเตือนโดยการส่งข้อความพร้อมกับระบุพิกัดและลองจิจูด แสดงดังรูปที่ 4.8 ซึ่งแสดงเป็นตัวเลขระบุตำแหน่งของรถจักรยานยนต์ ณ ขณะนั้น ซึ่งเจ้าของรถจักรยานยนต์สามารถนำค่าพิกัดไปตรวจสอบได้ว่ารถจักรยานยนต์อยู่ที่ตำแหน่ง โดยการเข้าไปที่ www.google.com ดังรูปที่ 4.9



รูปที่ 4.9 การค้นหาตำแหน่งของรถจักรยานยนต์ด้วยพิกัดและลองจิจูด

จากรูป 4.9 เมื่อนำเลขแสดงพิกัดและลองจิจูดไปค้นหาที่ www.google.com แล้ว เริ่บใช้ตั้งระบุตำแหน่งของรถจักรยานยนต์ ดังรูปที่ 4.10 สังเกตลูกศรที่ชี้จะเห็นสถานที่ของรถจักรยานยนต์อยู่ ทำให้เจ้าของรถจักรยานยนต์สามารถทราบว่า ขณะนั้นรถจักรยานยนต์อยู่ที่ใด และสามารถตามรถกลับมาได้ง่าย ในกรณีที่ไม่มีการเคลื่อนย้ายจักรยานยนต์ไปไว้ที่อื่น



รูปที่ 4.10 ดำเนินการเมืองของรถจักรยานยนต์บนแผนที่ภูมิภาค

บทที่ 5

สรุปผลและข้อเสนอแนะ

จากการดำเนินโครงการสามารถสรุปผล และชี้แจงปัญหาในการดำเนินงาน รวมทั้งเสนอแนะแนวทางการแก้ไขปัญหา และให้ข้อเสนอแนะในการนำโครงการไปพัฒนาต่อไปดังนี้

5.1 สรุปผลการดำเนินโครงการ

ในโครงการนี้จัดทำขึ้นเพื่อป้องกันการโจกรกรรมรถจักรยานยนต์ โดยมีการตรวจจับการเคลื่อนไหวของรถจักรยานยนต์ผ่านวงจรรับสัญญาการเคลื่อนไหว GY-521 หากรถจักรยานยนต์มีการขยับโดยมีค่าผิดรวมที่ได้จากแกน x, แกน y และแกน z มากกว่าหรือเท่ากับค่าที่ตั้งไว้และมีความต่อเนื่องในระยะเวลาที่กำหนด ระบบจะใช้ในโกรคอนโทรลเลอร์ในการรับค่าเพื่อประมวลผลและสั่งงานให้อุปกรณ์ทำงาน โดยมีไฟจากไฟออดิโอเพลิงแสง แสดงสถานการณ์เริ่มรับค่าการเคลื่อนไหว ซึ่งรับค่าการเคลื่อนไหวจากวงจรรับสัญญาการเคลื่อนไหว เพื่อเป็นการกำหนดการเคลื่อนไหว หากมีการเคลื่อนไหวในเวลาที่ต่อเนื่องของวงจรรับสัญญาการเคลื่อนไหว โดยจะมีแจ้งว่างดูแลอยู่ในการหน่วงเวลาของ การเคลื่อนไหวหากมีการเคลื่อนไหวในค่าที่ได้กำหนดไว้ จะมีแตรที่ติดตั้งอยู่กับรถจักรยานยนต์มีเสียงดังขึ้น พร้อมกับมีข้อความแจ้งเตือนพร้อมกับระบุพิกัดลงตู้จุดและละจุดแสดงตำแหน่งของรถจักรยานยนต์ว่าอยู่ตำแหน่งใด ขณะนี้ เข้าโทรศัพท์มือถือของเจ้าของรถจักรยานยนต์ผ่านวงรสื่อสาร โดยการส่งข้อความ

5.2 ปัญหาและแนวทางแก้ไข

1) หากแหล่งจ่ายไฟให้กับวงจรเดี้ยวแบตเตอรี่หมด ทำให้เจ้าของรถไม่สามารถทราบได้เลยว่าแบตเตอรี่หมดตอนไหน ส่งผลให้วงจรหยุดการทำงานซึ่งจะส่งผลเสียในการป้องกันการโจกรกรรมรถจักรยานยนต์ เพราะจะไม่มีการแจ้งเตือนใดๆเกิดขึ้นหากเกิดการโจกรกรรม อาจแก้ไขได้โดยเพิ่มสัญญาณแจ้งเตือนเมื่อแบตเตอรี่ใกล้หมด เพื่อสามารถนำแบตเตอรี่ไปชาร์จ

2) ตัวรับรู้การเคลื่อนไหว GY-521 เมื่อนำไปรวมไว้ในกล่องร่วมกับอุปกรณ์อื่นๆหากเกิดการเคลื่อนไหวจะทำให้ตัวรับรู้ GY-521 ไม่สามารถรับรู้การเคลื่อนไหวได้เลย เพราะกล่องที่อยู่ใต้เบาะรถจักรยานยนต์สามารถกันการกระแทกได้ ซึ่งส่งผลให้หากเกิดการ堕落รถตัวรับรู้การเคลื่อนไหวจะไม่สามารถเก็บค่าการเคลื่อนไหวและส่งผลเสียหากเกิดการ堕落รถขึ้นมา ในกรณีนี้แก่ไขได้โดยจะต้องรวมอุปกรณ์แล้วนำตัวรับรู้การเคลื่อนไหวมาไว้ข้างนอกกล่อง เมื่อเกิดการกระแทกตัวรับรู้การเคลื่อนไหวก็จะเริ่มเก็บค่าและทำงานตามที่ได้ออกแบบไว้

3) กล่องที่ใช้ในการรวมวงจรต่างๆ มีขนาดใหญ่ จึงไม่สามารถนำไปติดตั้งกับรถจักรยานยนต์ได้ทุกคัน ทำให้รถจักรยานยนต์ที่มีพื้นที่ใต้เบาะน้อยไม่สามารถติดตั้งได้ อาจแก้ไขโดยการประกอบกล่องรวมวงจรให้เล็กลงหรือออกแบบให้สามารถติดตั้งอยู่บนอุปกรณ์ได้โดยป้องกันการตัดสายไฟ

5.3 แนวทางการพัฒนาต่อไป

1) ออกแบบใหม่การป้องกันรถจักรยานยนต์เพิ่มขึ้น โดยเจ้าของรถจักรยานยนต์คนเดียวเท่านั้นที่สามารถใช้งานรถได้ โดยมีการสแกนลายนิ้วมือก่อนที่จะเริ่มใช้งานรถจักรยานยนต์ หากเจ้าของรถจักรยานยนต์อนุญาตให้ผู้อื่นขับรถต้องมีการยืนยันลายนิ้วมือของเจ้าของรถจักรยานยนต์ก่อน ผู้อื่นจึงสามารถใช้งานรถจักรยานยนต์ได้

2) ออกแบบโดยมีรีโมทที่สามารถปิด-เปิดการทำงานของอุปกรณ์ป้องกันการ堕落รถ ได้โดยที่ไม่จำเป็นต้องเปิดให้เบะไปเพื่อหยุดการทำงานของอุปกรณ์ที่ติดตั้งไว้

เอกสารอ้างอิง

- [1] Embedded System Design, “ศึกษาข้อมูลของแพงวงจร Arduino Mega2560”, สืบค้นเมื่อวันที่ 25 ตุลาคม 2559 จาก <http://mbeddedweekly.blogspot.com/2014/08/arduino-Mega2560.html>.
- [2] <http://www.adisak51.com/avr2>, สืบค้นเมื่อวันที่ 25 ตุลาคม 2559.
- [3] ThaiEasyElec, “GY-Sensor GY-521”, สืบค้นเมื่อวันที่ 25 ตุลาคม 2559
จาก http://www.thaieasyelec.com/downloads/ESEN247/GY521_USG.pdf.
- [4] ArduinoAll, “มอดูล SIM900 GSM/GPRS Arduino shield”, สืบค้นเมื่อวันที่ 5 ตุลาคม 2559
จาก https://app.enit.kku.ac.th/mis/administrator/doc_upload/.pdf.
- [5] <https://www.ioxhop.com/article/54>, สืบค้นเมื่อวันที่ 26 ตุลาคม 2559.
จาก <https://www.ioxhop.com/article/54>.
- [6] MLT, “มอดูลรีเลย์ 1 ช่อง”, สืบค้นเมื่อวันที่ 26 ตุลาคม 2559
จาก [http://www.mltelectronic.com/\(1-Channel-Relay-Module.\)](http://www.mltelectronic.com/(1-Channel-Relay-Module.))
- [7] ThaiEasyElec, “รีเลย์”, สืบค้นเมื่อ 26 ตุลาคม 2559
จาก <http://thaieeasyelec.com/article-wiki/review-product>.
- [8] arduinoall, “Arduino รุ่น UNO R3”, สืบค้นเมื่อวันที่ 27 ตุลาคม 2559
จาก <http://www.arduinoall.com>.
- [9] Lamplaimat, “ภาษาซี”, สืบค้นเมื่อวันที่ 28 ตุลาคม 2559
จาก <http://lamplaimat.ac.th/epp/?cat=4>.
- [10] ThaiEasyElec, “AT Command”, สืบค้นเมื่อ 28 ตุลาคม 2559
จาก <http://www.thaieeasyelec.com/downloads/ETEE049/20Kit.pdf>.
- [11] http://commanddronestore.com/learning/gy521_001.php, สืบค้นเมื่อ 3 มีนาคม 2560
- [12] Arduino UnoBoard, “Overview arduinouno R3”, สืบค้นเมื่อวันที่ 3 มีนาคม 2560
จาก <http://arduino.cc/en/Main/arduinoBoardUno>.



รหัสตัวนับของโปรแกรมระบบป้องกันการโจรมรรถจักรยานยนต์

```

#include "I2Cdev.h"
#include "MPU6050.h"
#include "math.h"
#include "SIM900.h"
#include <SoftwareSerial.h>
#include "sms.h"

SMSGSM sms;

//GSM Shield for Arduino
//www.open-electronics.org
//this code is based on the example of Arduino Labs.
//Simple sketch to send and receive SMS.

    int numdata;
    boolean started = false;
    char smsbuffer[160];
    char n[20];

// Arduino Wire library is required if I2CdevI2CDEV_ARDUINO_WIRE implementation
// is used in I2Cdev.h

#if I2CDEV_IMPLEMENTATION == I2CDEV_ARDUINO_WIRE
#include "Wire.h"
#endif

MPU6050 accelgyro;
int16_t ax, ay, az;
int16_t gx, gy, gz;
uint32_t sensorStartTime = 0;
uint32_t sensorNow = 0;
uint32_t lastAlert = 0;
bool blinkState = false;
bool alert = false;

void setup() {
    pinMode(14, OUTPUT);
    pinMode(15, OUTPUT);
    digitalWrite(14, LOW);
}

```

```

digitalWrite(15, LOW);

// join I2C bus (I2Cdev library doesn't do this automatically)

#if I2CDEV_IMPLEMENTATION == I2CDEV_ARDUINO_WIRE
    Wire.begin();
#elif I2CDEV_IMPLEMENTATION == I2CDEV_BUILTIN_FASTWIRE
    Fastwire::setup(400, true);
#endif

Serial2.begin(57600);

pinMode(7, OUTPUT);

digitalWrite(7, HIGH);

// initialize device

Serial.println("Initializing I2C devices...");

accelgyro.initialize();

// verify connection

Serial.println("Testing device connections...");

Serial.println(accelgyro.testConnection() ? "MPU6050 connection successful" :
"MPU6050 connection failed");

// use the code below to change accel/gyro offset values

accelgyro.setXGyroOffset(100);
accelgyro.setYGyroOffset(-30);
accelgyro.setZGyroOffset(-15);

//Serial connection.

Serial.begin(9600);

Serial.println("GSM Shield testing.");

//Start configuration of shield with baudrate.

//For http uses is raccomanded to use 4800 or slower.

if (gsm.begin(2400)) {

    Serial.println("\nstatus=READY");

    digitalWrite(14, HIGH);

    started = true;

} else Serial.println("\nstatus=IDLE");

}
}

```

```

int i;
float dif = 0;
int16_t tVec = 0;
float vec = 0;
bool overT = false, setAlert = false;
int32_t startOverTime = 0, lastOverTime = 0, startAlert = -5000;
bool sended = false;

String gpsTem = "";
String gpsVa = "UNKNOW!!!!!!!!!!!!!!";
void loop() {
    while (Serial2.available() > 0) {
        char re = Serial2.read();
        if (re == '_') {
            gpsTem = "";
        } else if (re == '$') {
            if (gpsTem == ".000000,000000") {
                //gpsVa = "UNKNOW!!!!!!!!!!!!!!";
            } else {
                gpsVa = gpsTem;
            }
            Serial.print(gpsVa);
        } else {
            gpsTem += re;
        }
    }
    sensorNow = millis();
    // read raw accel/gyro measurements from device
    accelgyro.getMotion6(&ax, &ay, &az, &gx, &gy, &gz);
    vec = sqrt(pow(gx, 2) + pow(gy, 2) + pow(gz, 2));
    dif += abs(tVec - vec);
    tVec = vec;
}

```

```

// Serial.println(vec);

if (sensorNow - sensorStartTime > 100) {
    sensorStartTime = sensorNow;
    if (dif > 4000) {
        overT = true;
    }
    dif = 0;
}
if (overT) {
    overT = false;
    Serial.print("Shake!\n");
    if ( sensorNow - lastOverTime <= 500 ) {
        lastOverTime = sensorNow;
    }
    else {
        startOverTime = sensorNow;
        lastOverTime = sensorNow;
    }
}
if ( lastOverTime - startOverTime >= 15000 && sensorNow - lastOverTime < 500 ) {
    startAlert = sensorNow;
}
if (sensorNow - startAlert < 15000) { //เปลี่ยนระยะเวลาเตือน
    Serial.print("Alert!!!");
    digitalWrite(7, LOW);
    char st[47];
    st[0] = 'M';
    st[1] = 'o';
    st[2] = 't';
    st[3] = 'o';
    st[4] = 'r';
}

```

```

st[5] = 'c';
st[6] = 'y';
st[7] = 'c';
st[8] = 'l';
st[9] = 'e';
st[10] = '';
st[11] = 'i';
st[12] = 's';
st[13] = '';
st[14] = 's';
st[15] = 't';
st[16] = 'o';
st[17] = 'l';
st[18] = 'e';
st[19] = 'n';
st[20] = '!';
st[21] = '!';
st[22] = '!';
st[23] = '!';
st[24] = '';
st[25] = '@';
st[26] = '';
st[27] = gpsVa[0];
st[28] = gpsVa[1];
st[29] = gpsVa[2];
st[30] = gpsVa[3];
st[31] = gpsVa[4];
st[32] = gpsVa[5];
st[33] = gpsVa[6];
st[34] = gpsVa[7];
st[35] = gpsVa[8];
st[36] = gpsVa[9];

```

```

st[37] = gpsVa[10];
st[38] = gpsVa[11];
st[39] = gpsVa[12];
st[40] = gpsVa[13];
st[41] = gpsVa[14];
st[42] = gpsVa[15];
st[43] = gpsVa[16];
st[44] = gpsVa[17];
st[45] = gpsVa[18];
st[46] = gpsVa[19];
    /+ gpsVa[1] + gpsVa[2] + gpsVa[3] + gpsVa[4] + gpsVa[5] + gpsVa[6] + gpsVa[7]
+ gpsVa[8] + gpsVa[9]

"Motorcycle is stolen last position @ " +
st[0] = 'M';
st[1] = gpsVa[1];
st[2] = gpsVa[2];
st[3] = gpsVa[3];
st[4] = gpsVa[4];
*/
if (!sented && ((sensorNow - lastAlert > 120000) || lastAlert == 0) ) {
    smented = true;
    lastAlert = sensorNow;
    if (sms.SendSMS("0845968655", st)) {
        Serial.println("\nSMS sent OK");
    }
}
else {
    digitalWrite(7, HIGH);
    smented = false;
}
}
)

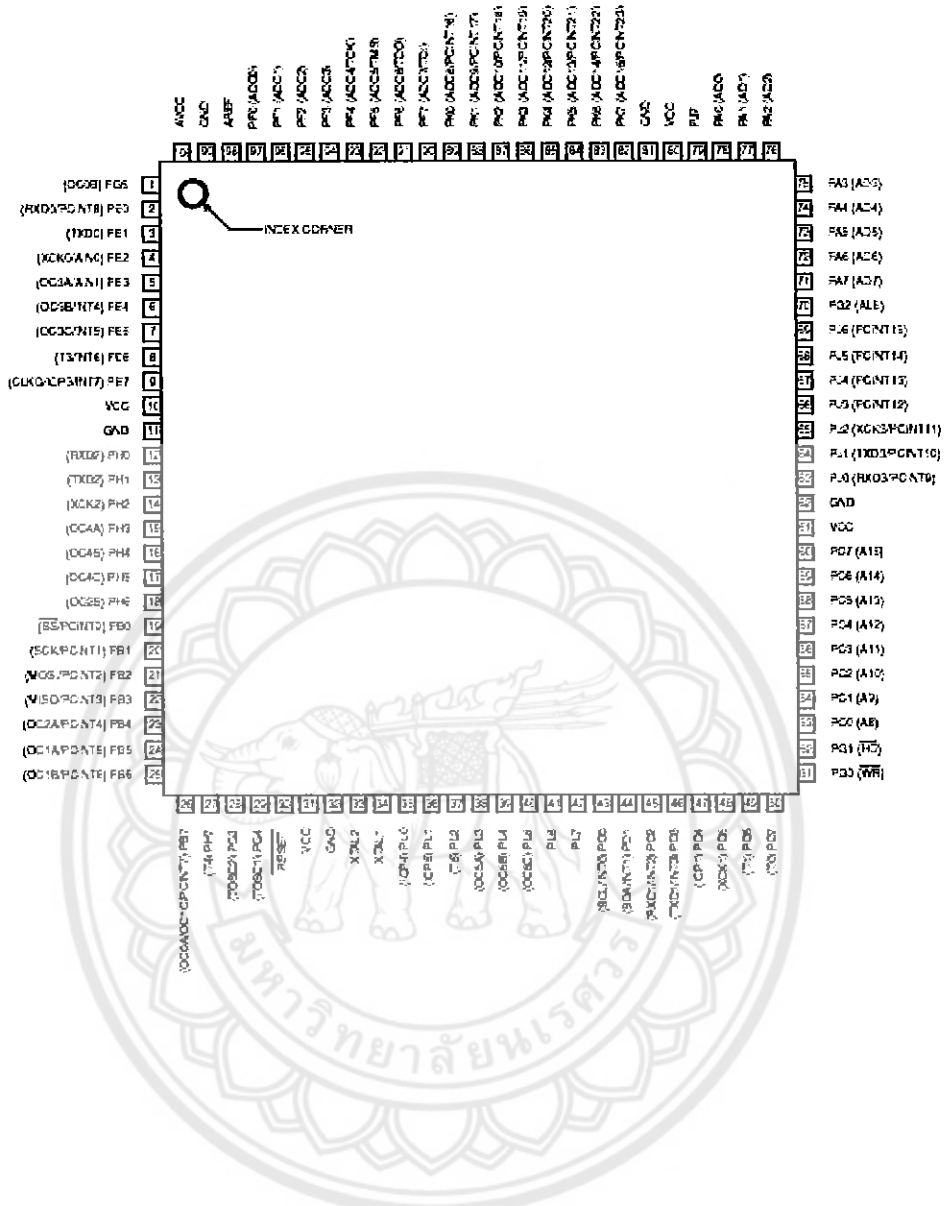
```



Features

- **High Performance, Low Power Atmel® AVR® 8-Bit Microcontroller**
- **Advanced RISC Architecture**
 - 135 Powerful Instructions – **Most Single Clock Cycle Execution**
 - 32 x 8 General Purpose Working Registers
 - Fully Static Operation
 - Up to 16 MIPS Throughput at 16 MHz
 - On-Chip 2-cycle Multiplier
- **High Endurance Non-volatile Memory Segments**
 - 64K/128K/256K Bytes of In-System Self-Programmable Flash
 - 4 Kbytes EEPROM
 - 8 Kbytes Internal SRAM
 - Write/Erase Cycles: 10,000 Flash/100,000 EEPROM
 - Data retention: 20 years at 85°C/ 100 years at 25°C
 - **Optional Boot Code Section with Independent Lock Bits**
 - In-System Programming by On-chip Boot Program
 - True Read-While-Write Operation
 - Programming Lock for Software Security
 - Endurance: Up to 64 Kbytes Optional External Memory Space
- **JTAG (IEEE std. 1149.1 compliant) Interface**
 - Boundary-scan Capabilities According to the JTAG Standard
 - Extensive On-chip Debug Support
 - Programming of Flash, EEPROM, Fuses, and Lock Bits through the JTAG Interface
- **Peripheral Features**
 - Two 8-bit Timer/Counters with Separate Prescaler and Compare Mode
 - Four 16-bit Timer/Counter with Separate Prescaler, Compare- and Capture Mode
 - Real Time Counter with Separate Oscillator
 - Four 8-bit PWM Channels
 - Six/Twelve PWM Channels with Programmable Resolution from 2 to 16 Bits
(ATmega1281/2561, ATmega640/1280/2560)
 - Output Compare Modulator
 - 8/16-channel, 10-bit ADC (ATmega1281/2561, ATmega640/1280/2560)
 - Two/Four Programmable Serial USART (ATmega1281/2561, ATmega640/1280/2560)
 - Master/Slave SPI Serial Interface
 - Byte Oriented 2-wire Serial Interface
 - Programmable Watchdog Timer with Separate On-chip Oscillator
 - On-chip Analog Comparator
 - Interrupt and Wake-up on Pin Change
- **Special Microcontroller Features**
 - Power-on Reset and Programmable Brown-out Detection
 - Internal Calibrated Oscillator
 - External and Internal Interrupt Sources
 - Six Sleep Modes: Idle, ADC Noise Reduction, Power-save, Power-down, Standby, and Extended Standby
- **IO and Packages**
 - 54/86 Programmable IO Lines (ATmega1281/2561, ATmega640/1280/2560)
 - 64-pad QFN/MLF, 64-lead TQFP (ATmega1281/2561)
 - 100-lead TQFP, 100-ball CBGA (ATmega640/1280/2560)
 - RoHS/Fully Green
- **Temperature Range:**
 - -40°C to 85°C Industrial
- **Ultra-Low Power Consumption**
 - **Active Mode:** 1 MHz, 1.8V: 600 µA
 - **Power-down Mode:** 0.1 µA at 1.8V
- **Speed Grade:**
 - ATmega640V/ATmega1280V/ATmega1281V:
 - 0 - 4 MHz @ 1.8V - 5.5V, 0 - 8 MHz @ 2.7V - 5.5V
 - ATmega2560V/ATmega2561V:
 - 0 - 2 MHz @ 1.8V - 5.5V, 0 - 8 MHz @ 2.7V - 5.5V
 - ATmega640V/ATmega1280V/ATmega1281:
 - 0 - 8 MHz @ 2.7V - 5.5V, 0 - 16 MHz @ 4.5V - 5.5V
 - ATmega2560V/ATmega2561:
 - 0 - 16 MHz @ 4.5V - 5.5V

Figure 1-1. TQFP-pinout ATmega640/1280/2560

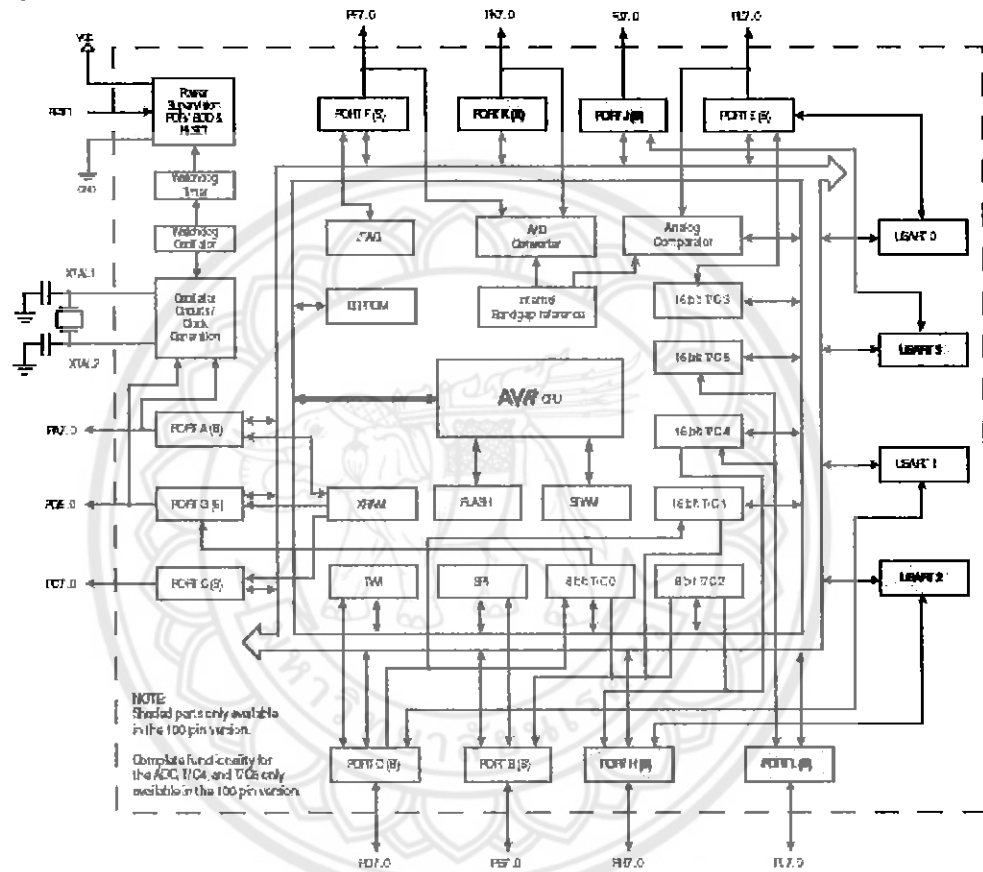


2. Overview

The ATmega640/1280/1281/2560/2561 is a low-power CMOS 8-bit microcontroller based on the AVR enhanced RISC architecture. By executing powerful instructions in a single clock cycle, the ATmega640/1280/1281/2560/2561 achieves throughputs approaching 1 MIPS per MHz allowing the system designer to optimize power consumption versus processing speed.

2.1 Block Diagram

Figure 2-1. Block Diagram





3 Product Overview

3.1 MPU-60X0 Overview

MotionInterface™ is becoming a “must-have” function being adopted by smartphone and tablet manufacturers due to the enormous value it adds to the end user experience. In smartphones, it finds use in applications such as gesture commands for applications and phone control, enhanced gaming, augmented reality, panoramic photo capture and viewing, and pedestrian and vehicle navigation. With its ability to precisely and accurately track user motions, MotionTracking technology can convert handsets and tablets into powerful 3D intelligent devices that can be used in applications ranging from health and fitness monitoring to location-based services. Key requirements for MotionInterface enabled devices are small package size, low power consumption, high accuracy and repeatability, high shock tolerance, and application specific performance programmability – all at a low consumer price point.

The MPU-60X0 is the world's first integrated 6-axis MotionTracking device that combines a 3-axis gyroscope, 3-axis accelerometer, and a Digital Motion Processor™ (DMP) all in a small 4x4x0.9mm package. With its dedicated I²C sensor bus, it directly accepts inputs from an external 3-axis compass to provide a complete 9-axis MotionFusion™ output. The MPU-60X0 MotionTracking device, with its 6-axis integration, on-board MotionFusion™, and run-time calibration firmware, enables manufacturers to eliminate the costly and complex selection, qualification, and system level integration of discrete devices, guaranteeing optimal motion performance for consumers. The MPU-60X0 is also designed to interface with multiple non-inertial digital sensors, such as pressure sensors, on its auxiliary I²C port. The MPU-60X0 is footprint compatible with the MPU-30X0 family.

The MPU-60X0 features three 16-bit analog-to-digital converters (ADCs) for digitizing the gyroscope outputs and three 16-bit ADCs for digitizing the accelerometer outputs. For precision tracking of both fast and slow motions, the parts feature a user-programmable gyroscope full-scale range of ±250, ±500, ±1000, and ±2000°/sec (dps) and a user-programmable accelerometer full-scale range of ±2g, ±4g, ±8g, and ±16g.

An on-chip 1024 Byte FIFO buffer helps lower system power consumption by allowing the system processor to read the sensor data in bursts and then enter a low-power mode as the MPU collects more data. With all the necessary on-chip processing and sensor components required to support many motion-based use cases, the MPU-60X0 uniquely enables low-power MotionInterface applications in portable applications with reduced processing requirements for the system processor. By providing an integrated MotionFusion output, the DMP in the MPU-60X0 offloads the intensive MotionProcessing computation requirements from the system processor, minimizing the need for frequent polling of the motion sensor output.

Communication with all registers of the device is performed using either I²C at 400kHz or SPI at 1MHz (MPU-6000 only). For applications requiring faster communications, the sensor and interrupt registers may be read using SPI at 20MHz (MPU-6000 only). Additional features include an embedded temperature sensor and an on-chip oscillator with ±1% variation over the operating temperature range.

By leveraging its patented and volume-proven Nasiri-Fabrication platform, which integrates MEMS wafers with companion CMOS electronics through wafer-level bonding, InvenSense has driven the MPU-60X0 package size down to a revolutionary footprint of 4x4x0.9mm (QFN), while providing the highest performance, lowest noise, and the lowest cost semiconductor packaging required for handheld consumer electronic devices. The part features a robust 10,000g shock tolerance, and has programmable low-pass filters for the gyroscopes, accelerometers, and the on-chip temperature sensor.

For power supply flexibility, the MPU-60X0 operates from VDD power supply voltage range of 2.375V-3.46V. Additionally, the MPU-6050 provides a VLOGIC reference pin (in addition to its analog supply pin: VDD), which sets the logic levels of its I²C interface. The VLOGIC voltage may be 1.8V±5% or VDD.

The MPU-6000 and MPU-6050 are identical, except that the MPU-6050 supports the I²C serial interface only, and has a separate VLOGIC reference pin. The MPU-6000 supports both I²C and SPI interfaces and has a single supply pin, VDD, which is both the device's logic reference supply and the analog supply for the part. The table below outlines these differences:

Primary Differences between MPU-6000 and MPU-6050

Part / Item	MPU-6000	MPU-6050
VDD	2.375V-3.46V	2.375V-3.46V
VLOGIC	n/a	1.71V to VDD
Serial Interfaces Supported	I ² C, SPI	I ² C
Pin 8	/CS	VLOGIC
Pin 9	AD0/SDO	AD0
Pin 23	SCL/SCLK	SCL
Pin 24	SDA/SDI	SDA

4 Applications

- **BlurFree™ technology** (for Video/Still Image Stabilization)
- **AISign™ technology** (for Security/Authentication)
- **TouchAnywhere™ technology** (for "no touch" UI Application Control/Navigation)
- **MotionCommand™ technology** (for Gesture Short-cuts)
- Motion-enabled game and application framework
- InstantGesture™ iG™ gesture recognition
- Location based services, points of interest, and dead reckoning
- Handset and portable gaming
- Motion-based game controllers
- 3D remote controls for Internet connected DTVs and set top boxes, 3D mice
- Wearable sensors for health, fitness and sports
- Toys

5 Features

5.1 Gyroscope Features

The triple-axis MEMS gyroscope in the MPU-60X0 includes a wide range of features:

- Digital-output X-, Y-, and Z-Axis angular rate sensors (gyroscopes) with a user-programmable full-scale range of ± 250 , ± 500 , ± 1000 , and $\pm 2000^{\circ}/sec$
- External sync signal connected to the FSYNC pin supports image, video and GPS synchronization
- Integrated 16-bit ADCs enable simultaneous sampling of gyros
- Enhanced bias and sensitivity temperature stability reduces the need for user calibration
- Improved low-frequency noise performance
- Digitally-programmable low-pass filter
- Gyroscope operating current: 3.6mA
- Standby current: 5µA
- Factory calibrated sensitivity scale factor
- User self-test

5.2 Accelerometer Features

The triple-axis MEMS accelerometer in MPU-60X0 includes a wide range of features:

- Digital-output triple-axis accelerometer with a programmable full scale range of $\pm 2g$, $\pm 4g$, $\pm 8g$ and $\pm 16g$
- Integrated 16-bit ADCs enable simultaneous sampling of accelerometers while requiring no external multiplexer
- Accelerometer normal operating current: 500µA
- Low power accelerometer mode current: 10µA at 1.25Hz, 20µA at 5Hz, 60µA at 20Hz, 110µA at 40Hz
- Orientation detection and signaling
- Tap detection
- User-programmable interrupts
- High-G interrupt
- User self-test

5.3 Additional Features

The MPU-60X0 includes the following additional features:

- 9-Axis MotionFusion by the on-chip Digital Motion Processor (DMP)
- Auxiliary master I²C bus for reading data from external sensors (e.g., magnetometer)
- 3.9mA operating current when all 6 motion sensing axes and the DMP are enabled
- VDD supply voltage range of 2.375V-3.46V
- Flexible VLOGIC reference voltage supports multiple I²C interface voltages (MPU-6050 only)
- Smallest and thinnest QFN package for portable devices: 4x4x0.9mm
- Minimal cross-axis sensitivity between the accelerometer and gyroscope axes
- 1024 byte FIFO buffer reduces power consumption by allowing host processor to read the data in bursts and then go into a low-power mode as the MPU collects more data
- Digital-output temperature sensor
- User-programmable digital filters for gyroscope, accelerometer, and temp sensor
- 10,000 g shock tolerant
- 400kHz Fast Mode I²C for communicating with all registers
- 1MHz SPI serial interface for communicating with all registers (MPU-6000 only)
- 20MHz SPI serial interface for reading sensor and interrupt registers (MPU-6000 only)

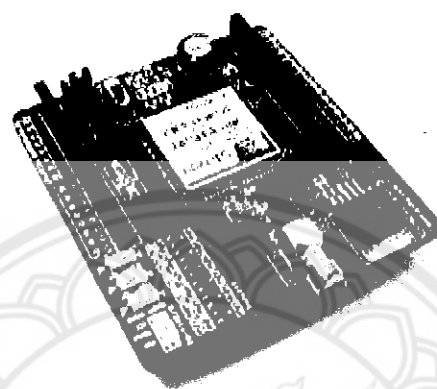


รายละเอียดข้อมูลของ มอคูล GSM/GPRS SIM900

GPRS Module

-SIM900 GSM/GPRS Module

Overview



GPRS module is a GSM/GPRS module based on the SIM900 Quad-band GSM/GPRS module. It is controlled via AT commands (GSM 07.07 ,07.05 and SIMCOM enhanced AT Commands), and fully compatible with Arduino / Iteaduino and Mega.

Features

- Quad-Band 850/900/1800/1900MHz
- GPRS multi-slot class 10/8
- GPRS mobile station class B
- Compliant to GSM phase 2/2+
- Class 4 (2W@850/900MHz)
- Class 1 (1W@1800/1900MHz)
- Control via commands (GSM 07.07, 07.05 and SIMCOM enhanced AT Commands)
- Short message service
- Free serial port selection
- 3.5 inch standard sonic sockets for MIC and phone
- Operation temperature: -40°C ~ +85°C

Specifications

PCB size	71.4mm X 66.0mm X 1.6mm		
Indicators	PWR, status LED, net LED		
Power supply	5V		
Communication Protocol	UART		
RoSH	Yes		

Electrical Characteristics

	Min.	Typ.	Max.	Unit
Power Voltage (Vsupply)	4.5	-	5.5	VDC
Input Voltage VH:	0.7VCC	-	5.5	V
Input Voltage VL:	-0.3	0	0.3VCC	V
Current Consumption (pulse)	-	-	2000	mA
Current Consumption (Continues)	-	-	500	mA
Baud rate	-	115200	-	bps

Hardware

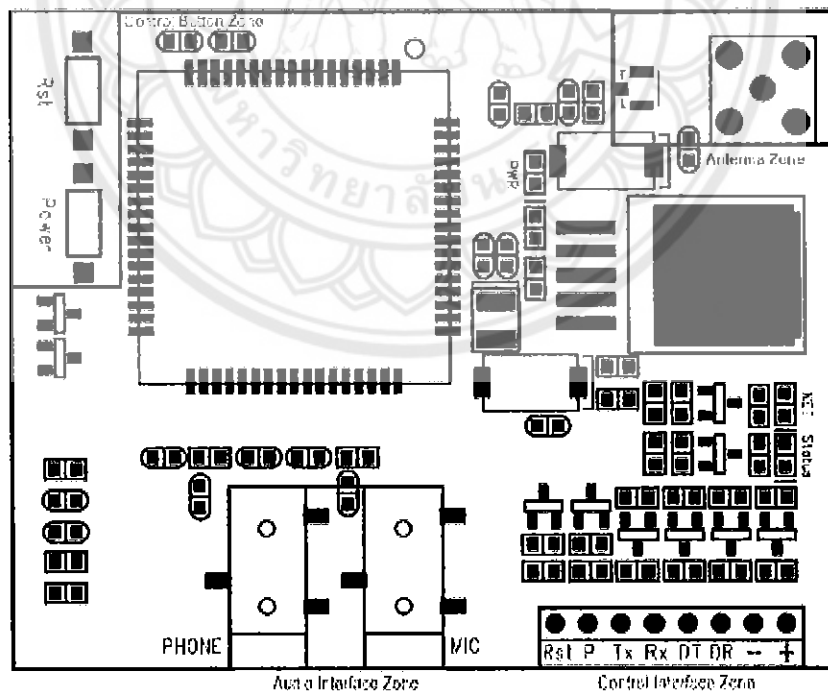


Figure 1 Top Map

Pin No.	Pin	Description
Rst	1	Reset the SIM900 module
P	2	Power switch pin of SIM900 module
Tx	3	UART data output
Rx	4	UART data in
DT	5	Debug UART data output
DR	6	Debug UART data input
-	7	GND
+	8	VCC

Installation

Power on GPRS module

User can power on the GPRS module by pulling down the PWR button or the P pin of control interface for at least 1 second and release. This pin is already pulled up to 3V in the module internal, so external pull up is not necessary. When power on procedure is completed, GPRS module will send following URC to indicate that the module is ready to operate at fixed baud rate.

Indicator LED and Buttons:

NETSTATUS: The status of the NETSTATUS LED is listed in following table:

NETSTATUS	Description
Off	SIM900 is not running
64ms On/800ms Off	SIM900 not registered the network
64ms On/3000ms Off	SIM900 registered to the network
64ms On/300ms Off	GPRS communication is established

STATUS: Power status of SIM900.

PWR: Power status of GPRS module.

PWR: After the GPRS module power on, you need to press the POWER button for a moment to power on the SIM900 module.

RESET: Reset the SIM900 module.



ภาคผนวก จ

รายละเอียดข้อมูลของมอเตอร์จีพีเอส รุ่น GY-NEO6MV2

1 Functional description

1.1 Overview

The NEO-6 module series is a family of stand-alone GPS receivers featuring the high performance u-blox 6 positioning engine. These flexible and cost effective receivers offer numerous connectivity options in a miniature 16 x 12.2 x 2.4 mm package. Their compact architecture and power and memory options make NEO-6 modules ideal for battery operated mobile devices with very strict cost and space constraints.

The 50-channel u-blox 6 positioning engine boasts a Time-To-First-Fix (TTFF) of under 1 second. The dedicated acquisition engine, with 2 million correlators, is capable of massive parallel time/frequency space searches, enabling it to find satellites instantly. Innovative design and technology suppresses jamming sources and mitigates multipath effects, giving NEO-6 GPS receivers excellent navigation performance even in the most challenging environments.

1.2 Product features

Model	Type	Timing	Supply	Interfaces				Features			Timepulse		External interrupt		
				IRIG Data	Dead reckoning	1.75 V - 2.6 V	2.7 V - 3.6 V	UART	USB	SPI	SDC IIC compatible	Programmable flash/RF module	TX/RX	RT-COM port	Acquisition validity and superfix
NEO-6G	GPS	PFP				●		●	●	●	●	●	●	●	●
NEO-6Q						●		●	●	●	●	●	●	●	●
NEO-6M						●		●	●	●	●	●	●	●	●
NEO-6P		●	●	●	●	●	●	●	●	●	●	●	●	●	●
NEO-6V						●		●	●	●	●	●	●	●	●
NEO-6T		●	●	●	●	●	●	●	●	●	●	●	●	●	●

● = Requires external components and integration on application processor

Table 1: Features of the NEO-6 Series

 All NEO-6 modules are based on GPS chips qualified according to AEC-Q100. See Chapter 5.1 for further information.

1.3 GPS performance

Parameter	Specification	NEO-6G/T	NEO-6MV	NEO-6P
Receiver type	50 Channels GPS L1 frequency, C/A Code SBAS: WAAS, EGNOS, MSAS			
Time-To-First-Fix ¹				
Cold Start ²	26 s	27 s	32 s	
Warm Start ³	26 s	27 s	32 s	
Hot Start ⁴	1 s	1 s	1 s	
Aided Start ⁵	1 s	<3 s	<3 s	
Sensitivity ⁶				
Tracking & Navigation	-162 dBm	-161 dBm	-160 dBm	
Reacquisition ⁷	-160 dBm	-160 dBm	-160 dBm	
Cold Start (without aiding)	-148 dBm	-147 dBm	-146 dBm	
Hot Start	-157 dBm	-156 dBm	-155 dBm	
Maximum Navigation update rate	160,600 Hz ⁸	NEO-6MV		
Horizontal position accuracy ⁹				
GPS	2.5 m			
SBAS	2.0 m			
SBAS + PPP ¹⁰	< 1 m (2D, R50) ¹¹			
SBAS + PPP ¹²	< 2 m (3D, R50) ¹³			
Configurable Timepulse frequency range	NEO-6G/MV	NEO-6T		
Accuracy for Timepulse signal				
RMS	30 ns			
99%	<60 ns			
Granularity	21 ns			
Compensated ¹⁴	15 ns			
Velocity accuracy ¹⁵	0.1m/s			
Heading accuracy ¹⁶	0.5 degrees			
Operational limits				
Dynamics	≤ 4 g			
Altitude ¹⁷	50,000 m			
Velocity ¹⁸	500 m/s			

Table 2: NEO-6 GPS performance

¹ All satellites at -130 dBm

² Without aiding

³ Dependent on aiding data connection speed and latency

⁴ Demonstrated with a good active antenna

⁵ For an outage duration ≤10s

⁶ CEP, 50%, 24 hours static, -130dBm, SEP: <3.5m

⁷ NEO-6P only

⁸ Demonstrated under following conditions: 24 hours, stationary, first 600 seconds of data discarded. HDOP < 1.5 during measurement period, strong signals. Continuous availability of valid SBAS correction data during full test period.

⁹ Quantization error information can be used with NEO-6T to compensate the granularity related error of the timepulse signal

¹⁰ Assuming Airborne <4g platform

1.4 Block diagram

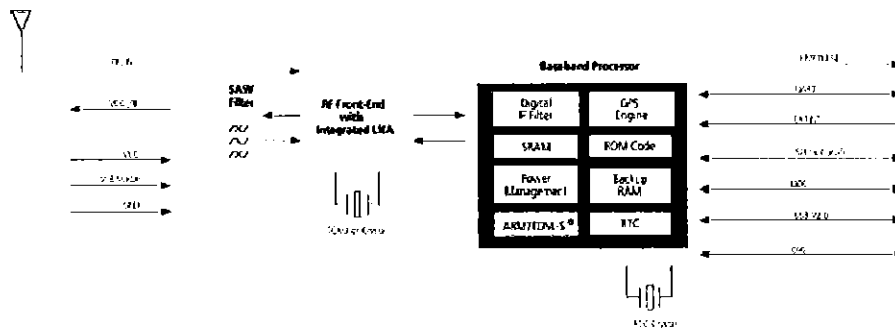


Figure 1: Block diagram (For available options refer to the product features table in section 1.2).

1.5 Assisted GPS (A-GPS)

Supply of aiding information like ephemeris, almanac, rough last position and time and satellite status and an optional time synchronization signal will reduce time to first fix significantly and improve the acquisition sensitivity. All NEO-6 modules support the u-blox AssistNow Online and AssistNow Offline A-GPS services¹¹ and are OMA SUPL compliant.

1.6 AssistNow Autonomous

AssistNow Autonomous provides functionality similar to Assisted-GPS without the need for a host or external network connection. Based on previously broadcast satellite ephemeris data downloaded to and stored by the GPS receiver, AssistNow Autonomous automatically generates accurate satellite orbital data ("AssistNow Autonomous data") that is usable for future GPS position fixes. AssistNow Autonomous data is reliable for up to 3 days after initial capture.

u-blox' AssistNow Autonomous benefits are:

- Faster position fix
- No connectivity required
- Complementary with AssistNow Online and Offline services
- No integration effort, calculations are done in the background

For more details see the u-blox 6 Receiver Description including Protocol Specification [2].

1.7 Precision Timing

1.7.1 Time mode

NEO-6T provides a special Time Mode to provide higher timing accuracy. The NEO-6T is designed for use with stationary antenna setups. The Time Mode features three different settings described in Table 3: Disabled, Survey-In and Fixed Mode. For optimal performance entering the position of the antenna (when known) is recommended as potential source of errors will be reduced.

Time Mode Settings	Description
Disabled	Standard PVT operation
Survey-In	The GPS receiver computes the average position over an extended time period until a predefined maximum standard deviation has been reached. Afterwards the receiver will be automatically set to Fixed Mode and the timing features will be activated.
Fixed Mode	In this mode, a fixed 3D position and known standard deviation is assumed and the timing features are activated. Fixed Mode can either be activated directly by feeding pre-defined position coordinates (ECEF - Earth Center Earth Fixed format) or by performing a Survey-In. In Fixed mode, the timing errors in the TIMEPULSE signal which otherwise result from positioning errors are eliminated. Single-satellite operation is supported. For details, please refer to the u-blox 6 Receiver Description including Protocol Specification [2].

Table 3: Time mode settings

1.7.2 Timepulse and frequency reference

NEO-6T comes with a timepulse output which can be configured from 0.25 Hz up to 10 MHz. The timepulse can either be used for time synchronization (i.e. 1 pulse per second) or as a reference frequency in the MHz range. A timepulse in the MHz range provides excellent long-term frequency accuracy and stability.

1.7.3 Time mark

NEO-6T can be used for precise time measurements with sub-microsecond resolution using the external interrupt (EXTINT0). Rising and falling edges of these signals are time-stamped to the GPS or UTC time and counted. The Time Mark functionality can be enabled with the UBX-CFG-TM2 message

For details, please refer to the u-blox 6 Receiver Description including Protocol Specification [2].

1.8 Raw data

Raw data output is supported at an update rate of 5 Hz on the NEO-6T and NEO-6P. The UBX-RXM-RAW message includes carrier phase with half-cycle ambiguity resolved, code phase and Doppler measurements, which can be used in external applications that offer precision positioning, real-time kinematics (RTK) and attitude sensing.

1.9 Automotive Dead Reckoning

Automotive Dead Reckoning (ADR) is u-blox' industry proven off-the-shelf Dead Reckoning solution for tier-one automotive customers. u-blox' ADR solution combines GPS and sensor digital data using a tightly coupled Kalman filter. This improves position accuracy during periods of no or degraded GPS signal.

The NEO-6V provides ADR functionality over its software sensor interface. A variety of sensors (such as wheel ticks and gyroscope) are supported, with the sensor data received via UBX messages from the application processor. This allows for easy integration and a simple hardware interface, lowering costs. By using digital sensor data available on the vehicle bus, hardware costs are minimized since no extra sensors are required for Dead Reckoning functionality. ADR is designed for simple integration and easy configuration of different sensor options (e.g. with or without gyroscope) and vehicle variants, and is completely self-calibrating.

1.10 Precise Point Positioning

u-blox' industry proven PPP algorithm provides extremely high levels of position accuracy in static and slow moving applications, and makes the NEO-6P an ideal solution for a variety of high precision applications such as surveying, mapping, marine, agriculture or leisure activities.

Ionospheric corrections such as those received from local SBAS¹² geostationary satellites (WAAS, EGNOS, MSAS) or from GPS enable the highest positioning accuracy with the PPP algorithm. The maximum improvement of positioning accuracy is reached with PPP+SBAS and can only be expected in an environment with unobstructed sky view during a period in the order of minutes.

1.11 Oscillators

NEO-6 GPS modules are available in Crystal and TCXO versions. The TCXO allows accelerated weak signal acquisition, enabling faster start and reacquisition times.

2 Pin Definition

2.1 Pin assignment

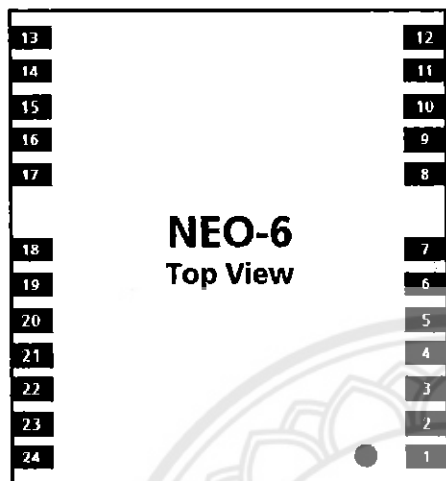


Figure 2 Pin Assignment

No	Module	Name	I/O	Description
1	All	Reserved	I	Reserved
2	All	SS_N	I	SPI Slave Select
3	All	TIMEPULSE	O	Timepulse (TPPS)
4	All	EXTINT0	I	External Interrupt Pin
5	All	USB_DM	I/O	USB Data
6	All	USB_DP	VO	USB Data
7	All	VDDUSB	I	USB Supply
8	All	Reserved		See Hardware Integration Manual Pin 8 and 9 must be connected together.
9	All	VCC_RF	O	Output Voltage RF section Pin 8 and 9 must be connected together.
10	All	GND	I	Ground
11	All	RF_IN	I	GPS signal input
12	All	GND	I	Ground
13	All	GND	I	Ground
14	All	MOSI/CFG_COM0	OI	SPI MOSI / Configuration Pin. Leave open if not used.
15	All	MOSI/CFG_COM1	I	SPI MISO / Configuration Pin. Leave open if not used.
16	All	CFG_GPS0SCK	I	Power Mode Configuration Pin / SPI Clock. Leave open if not used.
17	All	Reserved	I	Reserved
18	All	SDA2	VO	DDC Data
19	All	SCL2	VO	DDC Clock
20	All	TxD1	O	Serial Port 1
21	All	RxD1	I	Serial Port 1
22	All	V_BCKP	I	Backup voltage supply
23	All	VCC	I	Supply voltage
24	All	GND	I	Ground

Table 8: Pinout

Pins designated Reserved should not be used. For more information about Pinouts see the LEA-6/NEO-6/MAX-6 Hardware Integration Manual [1].

3 Electrical specifications

3.1 Absolute maximum ratings

Parameter	Symbol	Module	Min	Max	Units	Condition
Power supply voltage	VCC	NEO-6G NEO-6Q, 6M, 6P, 6V, 6T	-0.5	2.0	V	
Backup battery voltage	V_BCKP	All	-0.5	3.6	V	
USB supply voltage	VDDUSB	All	-0.5	3.6	V	
Input pin voltage	Vin	All	-0.5	3.6	V	
	Vin_usb	All	-0.5	VDDU SB	V	
DC current through any digital I/O pin (except supplies)	Ipin			10	mA	
VCC_RF output current	ICC_RF	All		100	mA	
Input power at RF_IN	Pfin	NEO-6Q, 6M, 6G, 6V, 6T NEO-6P	15	-5	dBm dBm	source impedance = 50Ω, continuous wave
Storage temperature	Tstg	All	-40	85	°C	

Table 9: Absolute maximum ratings

3.2 Operating conditions

All specifications are at an ambient temperature of 25°C.

Parameter	Symbol	Module	Min	Typ	Max	Units	Condition
Power supply voltage	VCC	NEO-6G NEO-6Q/M NEO-6P/V/T	1.75	1.8	1.95	V	
Supply voltage USB	VDDUSB	All	3.0	3.3	3.6	V	
Backup battery voltage	V_BCKP	All	1.4		3.6	V	
Backup battery current	I_BCKP	All		22		µA	V_BCKP = 1.8 V, VCC = 0V
Input pin voltage range	Vin	All	0		VCC	V	
Digital IO Pin Low level input voltage	Vil	All	0		0.2*VCC	V	
Digital IO Pin High level input voltage	ViH	All	0.7*VCC		VCC	V	
Digital IO Pin Low level output voltage	Vol	All			0.4	V	IoL=4mA
Digital IO Pin High level output voltage	Voh	All	VCC -0.4		V		IoH=4mA
USB_DM, USB_DP	VinU	All			Compatible with USB with 22 Ohms series resistance		
VCC_RF voltage	VCC_RF	All			VCC-0.1	V	
VCC_RF output current	ICC_RF	All			50	mA	
Antenna gain	Gant	All			50	dB	
Receiver Chain Noise Figure	NFtot	All		3.0		dB	
Operating temperature	Tops	All	-40		85	°C	

Table 10: Operating conditions

Operation beyond the specified operating conditions can affect device reliability.

3.3 Indicative power requirements

Table 11 lists examples of the total system supply current for a possible application.

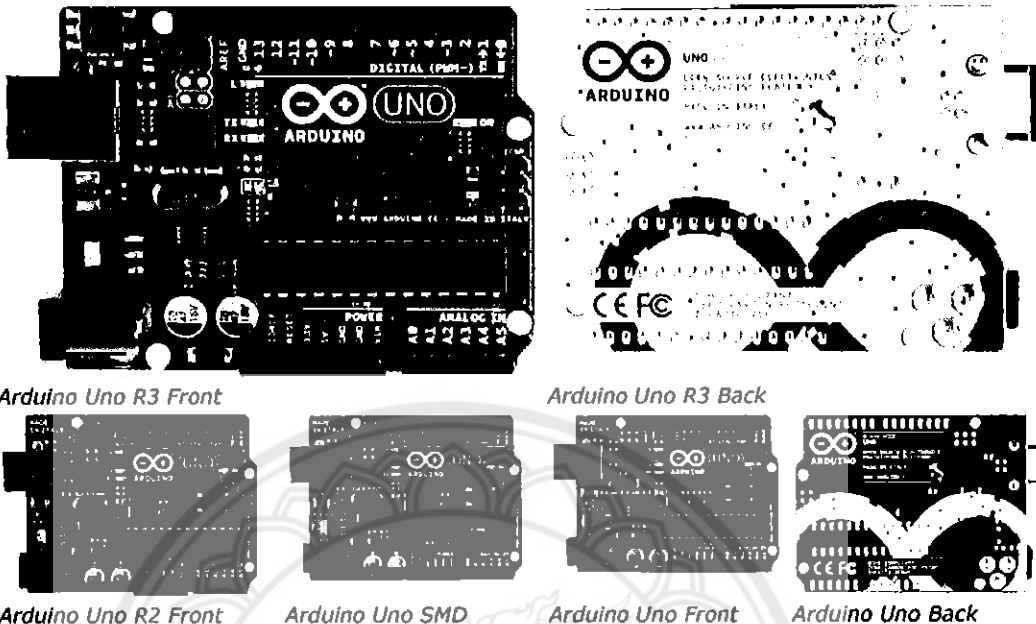
Parameter	Symbol	Module	Min	Typ	Max	Units	Condition
Max. supply current [*]	Iccp	All		67		mA	VCC = 3.6 V ¹ / 1.95 V ¹
	Icc Acquisition	All		47 ¹		mA	
	Icc Tracking (Max Performance mode)	NEO-6G/Q/T		40 ²		mA	
Average supply current [*]	Icc Tracking (Eco mode)	NEO-6M/P/V		39 ³		mA	
	Icc Tracking (NEO-6G/Q/T)	NEO-6G/Q/T		38 ²		mA	VCC = 3.0 V ¹ / 1.8 V ¹
	Icc Tracking (NEO-6M/P/V)	NEO-6M/P/V		37 ²		mA	
	Icc Tracking (Power Save mode / 1 Hz)	NEO-6G/Q		12 ²		mA	
	Icc Tracking (NEO-6M)	NEO-6M		11 ²		mA	

Table 11: Indicative power requirements

Values in Table 11 are provided for customer information only as an example of typical power requirements. Values are characterized on samples, actual power requirements can vary depending on FW version used, external circuitry, number of SVs tracked, signal strength, type of start as well as time, duration and conditions of test.



Arduino Uno



Overview

The Arduino Uno is a microcontroller board based on the ATmega328 ([datasheet](#)). It has 14 digital input/output pins (of which 6 can be used as PWM outputs), 6 analog inputs, a 16 MHz ceramic resonator, a USB connection, a power jack, an ICSP header, and a reset button. It contains everything needed to support the microcontroller; simply connect it to a computer with a USB cable or power it with a AC-to-DC adapter or battery to get started.

The Uno differs from all preceding boards in that it does not use the FT231 USB-to-serial driver chip. Instead, it features the Atmega16U2 (Atmega8U2 up to version R2) programmed as a USB-to-serial converter.

| Revision 2 of the Uno board has a resistor pulling the 8U2 HWB line to ground, making it easier to put into [DFU mode](#).

| Revision 3 of the board has the following new features:

- 1.0 pinout: added SDA and SCL pins that are near to the AREF pin and two other new pins placed near to the RESET pin, the IOREF that allow the shields to adapt to the voltage provided from the board. In future, shields will be compatible both with the board that use the AVR, which operate with 5V and with the Arduino Due that operate with 3.3V. The second one is a not connected pin, that is reserved for future purposes.
- Stronger RESET circuit.
- Atmega 16U2 replace the 8U2.

"Uno" means one in Italian and is named to mark the upcoming release of Arduino 1.0. The Uno and version 1.0 will be the reference versions of Arduino, moving forward. The Uno is the latest in a series of USB Arduino boards, and the reference model for the Arduino platform; for a comparison with previous versions, see the [index of Arduino boards](#).

Summary

Microcontroller	ATmega328
Operating Voltage	5V
Input Voltage (recommended)	7-12V

Input Voltage (limits)	6-20V
Digital I/O Pins	14 (of which 6 provide PWM output)
Analog Input Pins	6
DC Current per I/O Pin	40 mA
DC Current for 3.3V Pin	50 mA
Flash Memory	32 KB (ATmega328) of which 0.5 KB used by bootloader
SRAM	2 KB (ATmega328)
EEPROM	1 KB (ATmega328)
Clock Speed	16 MHz

Schematic & Reference Design

EAGLE files: [arduino-uno-Rev3-reference-design.zip](#) (NOTE: works with Eagle 6.0 and newer)

Schematic: [arduino-uno-Rev3-schematic.pdf](#)

Note: The Arduino reference design can use an Atmega8, 168, or 328, Current models use an ATmega328, but an Atmega8 is shown in the schematic for reference. The pin configuration is identical on all three processors.

Power

The Arduino Uno can be powered via the USB connection or with an external power supply. The power source is selected automatically.

External (non-USB) power can come either from an AC-to-DC adapter (wall-wart) or battery. The adapter can be connected by plugging a 2.1mm center-positive plug into the board's power jack. Leads from a battery can be inserted in the Gnd and Vin pin headers of the POWER connector.

The board can operate on an external supply of 6 to 20 volts. If supplied with less than 7V, however, the 5V pin may supply less than five volts and the board may be unstable. If using more than 12V, the voltage regulator may overheat and damage the board. The recommended range is 7 to 12 volts.

The power pins are as follows:

- **VIN.** The input voltage to the Arduino board when it's using an external power source (as opposed to 5 volts from the USB connection or other regulated power source). You can supply voltage through this pin, or, if supplying voltage via the power jack, access it through this pin.
- **5V.** This pin outputs a regulated 5V from the regulator on the board. The board can be supplied with power either from the DC power jack (7 - 12V), the USB connector (5V), or the VIN pin of the board (7-12V). Supplying voltage via the 5V or 3.3V pins bypasses the regulator, and can damage your board. We don't advise it.
- **3V3.** A 3.3 volt supply generated by the on-board regulator. Maximum current draw is 50 mA.
- **GND.** Ground pins.

Memory

The ATmega328 has 32 KB (with 0.5 KB used for the bootloader). It also has 2 KB of SRAM and 1 KB of EEPROM (which can be read and written with the [EEPROM library](#)).

Input and Output

Each of the 14 digital pins on the Uno can be used as an input or output, using [pinMode\(\)](#), [digitalWrite\(\)](#), and [digitalRead\(\)](#) functions. They operate at 5 volts. Each pin can provide or receive a maximum of 40 mA and has an internal pull-up resistor (disconnected by default) of 20-50 kOhms. In addition, some pins have specialized functions:

- **Serial: 0 (RX) and 1 (TX).** Used to receive (RX) and transmit (TX) TTL serial data. These pins are connected to the corresponding pins of the ATmega8U2 USB-to-TTL Serial chip.
- **External Interrupts: 2 and 3.** These pins can be configured to trigger an interrupt on a low value, a rising or falling edge, or a change in value. See the [attachInterrupt\(\)](#) function for details.
- **PWM: 3, 5, 6, 9, 10, and 11.** Provide 8-bit PWM output with the [analogWrite\(\)](#) function.

- **SPI: 10 (SS), 11 (MOSI), 12 (MISO), 13 (SCK).** These pins support SPI communication using the [SPI library](#).
- **LED: 13.** There is a built-in LED connected to digital pin 13. When the pin is HIGH value, the LED is on, when the pin is LOW, it's off.

The Uno has 6 analog inputs, labeled A0 through A5, each of which provide 10 bits of resolution (i.e. 1024 different values). By default they measure from ground to 5 volts, though it is possible to change the upper end of their range using the AREF pin and the [analogReference\(\)](#) function. Additionally, some pins have specialized functionality:

- **TWI: A4 or SDA pin and A5 or SCL pin.** Support TWI communication using the [Wire library](#).

There are a couple of other pins on the board:

- **AREF.** Reference voltage for the analog inputs. Used with [analogReference\(\)](#).
- **Reset.** Bring this line LOW to reset the microcontroller. Typically used to add a reset button to shields which block the one on the board.

See also the [mapping between Arduino pins and ATmega328 ports](#). The mapping for the Atmega8, 168, and 328 is identical.

Communication

The Arduino Uno has a number of facilities for communicating with a computer, another Arduino, or other microcontrollers. The ATmega328 provides UART TTL (5V) serial communication, which is available on digital pins 0 (RX) and 1 (TX). An ATmega16U2 on the board channels this serial communication over USB and appears as a virtual com port to software on the computer. The '16U2 firmware uses the standard USB COM drivers, and no external driver is needed. However, on Windows, a [.inf file is required](#). The Arduino software includes a serial monitor which allows simple textual data to be sent to and from the Arduino board. The RX and TX LEDs on the board will flash when data is being transmitted via the USB-to-serial chip and USB connection to the computer (but not for serial communication on pins 0 and 1).

A [SoftwareSerial library](#) allows for serial communication on any of the Uno's digital pins.

The ATmega328 also supports I2C (TWI) and SPI communication. The Arduino software includes a [Wire library](#) to simplify use of the I2C bus; see the [documentation](#) for details. For SPI communication, use the [SPI library](#).

Programming

The Arduino Uno can be programmed with the Arduino software ([download](#)). Select "Arduino Uno from the [Tools > Board](#) menu (according to the microcontroller on your board). For details, see the [reference](#) and [tutorials](#).

The ATmega328 on the Arduino Uno comes preburned with a [bootloader](#) that allows you to upload new code to it without the use of an external hardware programmer. It communicates using the original STK500 protocol ([reference](#), [C header files](#)).

You can also bypass the bootloader and program the microcontroller through the ICSP (In-Circuit Serial Programming) header; see [these instructions](#) for details.

The ATmega16U2 (or 8U2 in the rev1 and rev2 boards) firmware source code is available . The ATmega16U2/8U2 is loaded with a DFU bootloader, which can be activated by:

- On Rev1 boards: connecting the solder jumper on the back of the board (near the map of Italy) and then resetting the 8U2.
- On Rev2 or later boards: there is a resistor that pulling the 8U2/16U2 HWB line to ground, making it easier to put into DFU mode.

You can then use [Atmel's FLIP software](#) (Windows) or the [DFU programmer](#) (Mac OS X and Linux) to load a new firmware. Or you can use the ISP header with an external programmer (overwriting the DFU bootloader). See [this user-contributed tutorial](#) for more information.

Automatic (Software) Reset

Rather than requiring a physical press of the reset button before an upload, the Arduino Uno is designed in a way that allows it to be reset by software running on a connected computer. One of the hardware flow control lines (DTR) of the ATmega8U2/16U2 is connected to the reset line of the ATmega328 via a 100 nanofarad capacitor. When this line is asserted (taken low), the reset line drops long enough to reset the chip. The Arduino software uses this capability to allow you to upload code by simply pressing the upload button in the Arduino environment. This means that the bootloader can have a shorter timeout, as the lowering of DTR can be well-coordinated with the start of the upload. This setup has other implications. When the Uno is connected to either a computer running Mac OS X or Linux, it resets each time a connection is made to it from software (via USB). For the following half-second or so, the bootloader is running on the Uno. While it is programmed to ignore malformed data (i.e. anything besides an upload of new code), it will intercept the first few bytes of data sent to the board after a connection is opened. If a sketch running on the board receives one-time configuration or other data when it first starts, make sure that the software with which it communicates waits a second after opening the connection and before sending this data. The Uno contains a trace that can be cut to disable the auto-reset. The pads on either side of the trace can be soldered together to re-enable it. It's labeled "RESET-EN". You may also be able to disable the auto-reset by connecting a 110 ohm resistor from 5V to the reset line; see [this forum thread](#) for details.

USB Overcurrent Protection

The Arduino Uno has a resettable polyfuse that protects your computer's USB ports from shorts and overcurrent. Although most computers provide their own internal protection, the fuse provides an extra layer of protection. If more than 500 mA is applied to the USB port, the fuse will automatically break the connection until the short or overload is removed.

Physical Characteristics

The maximum length and width of the Uno PCB are 2.7 and 2.1 inches respectively, with the USB connector and power jack extending beyond the former dimension. Four screw holes allow the board to be attached to a surface or case. Note that the distance between digital pins 7 and 8 is 160 mil (0.16"), not an even multiple of the 100 mil spacing of the other pins.



ภาควิชานวัตกรรม

รายละเอียดข้อมูลของขาพอร์ตไมโครคอนโทรลเลอร์ ATMega2560

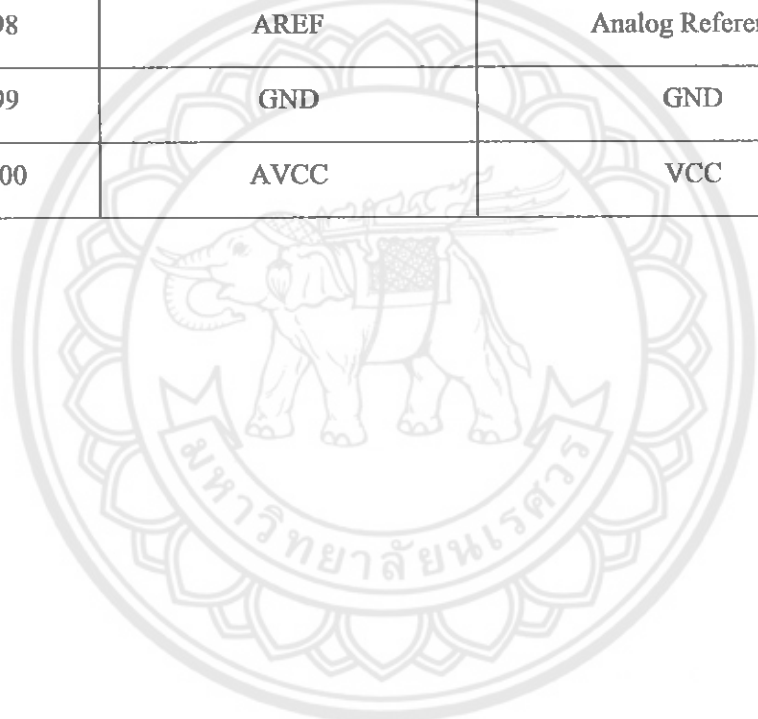
หมายเลขขา	ชื่อขา	รายละเอียด
1	PG5 (OC0B)	Digital pin 4 (PWM)
2	PE0 (RXD0/PCINT8)	Digital pin 0 (RX0)
3	PE1 (TXD0)	Digital pin 1 (TX0)
4	PE2 (XCK0/AIN0)	
5	PE3 (OC3A/AIN1)	Digital pin 5 (PWM)
6	PE4 (OC3B/INT4)	Digital pin 2 (PWM)
7	PE5 (OC3C/INT5)	Digital pin 3 (PWM)
8	PE6 (T3/INT6)	
9	PE7 (CLK0/ICP3/INT7)	
10	VCC	VCC
11	GND	GND
12	PH0 (RXD2)	Digital pin 17 (RX2)
13	PH1 (TXD2)	Digital pin 16 (TX2)
14	PH2 (XCK2)	
15	PH3 (OC4A)	Digital pin 6 (PWM)
16	PH4 (OC4B)	Digital pin 7 (PWM)
17	PH5 (OC4C)	Digital pin 8 (PWM)
18	PH6 (OC2B)	Digital pin 9 (PWM)
19	PB0 (SS/PCINT0)	Digital pin 53 (SS)
20	PB1 (SCK/PCINT1)	Digital pin 52 (SCK)
21	PB2 (MOSI/PCINT2)	Digital pin 51 (MOSI)
22	PB3 (MISO/PCINT3)	Digital pin 50 (MISO)
23	PB4 (OC2A/PCINT4)	Digital pin 10 (PWM)

หมายเลขขา	ชื่อขา	รายละเอียด
24	PB5 (OC1A/PCINT5)	Digital pin 11 (PWM)
25	PB6 (OC1B/PCINT6)	Digital pin 12 (PWM)
26	PB7 (OC0A/OC1C/PCINT7)	Digital pin 13 (PWM)
27	PH7 (T4)	
28	PG3 (TOSC2)	
29	PG4 (TOSC1)	
30	RESET	RESET
31	VCC	VCC
32	GND	GND
33	XTAL2	XTAL2
34	XTAL1	XTAL1
35	PL0 (ICP4)	Digital pin 49
36	PL1 (ICP5)	Digital pin 48
37	PL2 (T5)	Digital pin 47
38	PL3 (OC5A)	Digital pin 46 (PWM)
39	PL4 (OC5B)	Digital pin 45 (PWM)
40	PL5 (OC5C)	Digital pin 44 (PWM)
41	PL6	Digital pin 43
42	PL7	Digital pin 42
43	PD0 (SCL/INT0)	Digital pin 21 (SCL)
44	PD1 (SDA/INT1)	Digital pin 20 (SDA)
45	PD2 (RXDI/INT2)	Digital pin 19 (RX1)

หมายเลข	ชื่อขา	รายละเอียด
46	PD3 (TXD1/INT3)	Digital pin 18 (TX1)
47	PD4 (ICP)	
48	PD5 (XCK1)	
49	PD6 (T1)	
50	PD7 (T0)	Digital pin 38
51	PG0 (WR)	Digital pin 41
52	PG1 (RD)	Digital pin 40
53	PC0 (A8)	Digital pin 37
54	PC1 (A9)	Digital pin 36
55	PC2 (A10)	Digital pin 35
56	PC3 (A11)	Digital pin 34
57	PC4 (A12)	Digital pin 33
58	PC5 (A13)	Digital pin 32
59	PC6 (A14)	Digital pin 31
60	PC7 (A15)	Digital pin 30
61	VCC	VCC
62	GND	GND
63	PJ0 (RXD3/PCINT9)	Digital pin 15 (RX3)
64	PJ1 (TXD3/PCINT10)	Digital pin 14 (TX3)
65	PJ2 (XCK3/PCINT11)	
66	PJ3 (PCINT12)	
67	PJ4 (PCINT13)	
68	PJ5 (PCINT14)	

หมายเลข	ชื่อขา	รายละเอียด
69	PJ6 (PCINT 15)	
70	PG2 (ALE)	Digital pin 39
71	PA7 (AD7)	Digital pin 29
72	PA6 (AD6)	Digital pin 28
73	PA5 (AD5)	Digital pin 27
74	PA4 (AD4)	Digital pin 26
75	PA3 (AD3)	Digital pin 25
76	PA2 (AD2)	Digital pin 24
77	PA1 (AD1)	Digital pin 23
78	PA0 (AD0)	Digital pin 22
79	PJ7	
80	VCC	VCC
81	GND	GND
82	PK7 (ADC15/PCINT23)	Analog pin 15
83	PK6 (ADC14/PCINT22)	Analog pin 14
84	PK5 (ADC13/PCINT21)	Analog pin 13
85	PK4 (ADC12/PCINT20)	Analog pin 12
86	PK3 (ADC11/PCINT19)	Analog pin 11
87	PK2 (ADC10/PCINT18)	Analog pin 10
88	PK1 (ADC9/PCINT17)	Analog pin 9
89	PK0 (ADC8/PCINT16)	Analog pin 8
90	PF7 (ADC7)	Analog pin 7
91	PF6 (ADC6)	Analog pin 6

หมายเลข	ชื่อขา	รายละเอียด
92	PF5 (ADC5/TMS)	Analog pin 5
93	PF4 (ADC4/TMK)	Analog pin 4
94	PF3 (ADC3)	Analog pin 3
95	PF2 (ADC2)	Analog pin 2
96	PF1 (ADC1)	Analog pin 1
97	PF0 (ADC0)	Analog pin 0
98	AREF	Analog Reference
99	GND	GND
100	AVCC	VCC



ประวัติผู้ดำเนินโครงการ



ชื่อ นางสาววงศ์ แก้วมาลา
ภูมิลำเนา 179 หมู่ 2 ต.หาดท่าเสา อ.เมือง จ.ชัยนาท

ประวัติการศึกษา

- จบระดับมัธยมศึกษาจากโรงเรียนชัยนาทพิทยาคม
- ปัจจุบันกำลังศึกษาในระดับปริญญาตรี ชั้นปีที่ 4 สาขาวิชาศิวกรรมไฟฟ้า คณะวิศวกรรมศาสตร์ มหาวิทยาลัยนเรศวร

E-mail: jongkonk56@email.nu.ac.th



ชื่อ นางสาวเจนจิรา พุ่มพวง
ภูมิลำเนา 191/4 ถ.วังจันทน์ ต.ในเมือง อ.เมือง จ.พิษณุโลก

ประวัติการศึกษา

- จบระดับมัธยมศึกษาจากโรงเรียนจันกรร่อง
- ปัจจุบันกำลังศึกษาในระดับปริญญาตรี ชั้นปีที่ 4 สาขาวิชาศิวกรรมไฟฟ้า คณะวิศวกรรมศาสตร์ มหาวิทยาลัยนเรศวร

E-mail: janejirapo56@email.nu.ac.th